

PRILOGA 1C

NASLOVNA STRAN NAČRTA

2-P-77/24

PODATKI O GRADNJI

naziv gradnje	Palača Gravisu Buttorai, Koper
kratek opis gradnje	Predvidena je prenova objekta Palača Gravisi Buttorai v Kopru. Izdelan je načrt gradbenih konstrukcij, ki obravnava ukrepe za ojačitev elementov nosilne konstrukcije. Na podlagi izdelanih pregledov in analiz je pripravljen predlog ukrepov, ki so opisani in prikazani v elaboratu.

VRSTE GRADNJE	<input type="checkbox"/> NOVOGRADNJA - NOVOZGRAJEN OBJEKT
označiti vse ustrezne vrste gradnje	<input type="checkbox"/> NOVOGRADNJA - PRIZIDAVA
	<input checked="" type="checkbox"/> REKONSTRUKCIJA
	<input type="checkbox"/> SPREMENJAVA NAMENBOSTI
	<input type="checkbox"/> ODSTRANITEV CELOTNEGA OBJEKTA
	<input type="checkbox"/> LEGALIZACIJA
	<input type="checkbox"/> MANJŠA REKONSTRUKCIJA

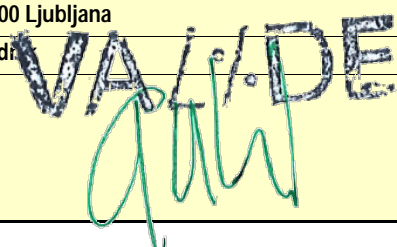
PODATKI O PROJEKTNI DOKUMENTACIJI

vrsta dokumentacije	IDZ (idejna zasnova)
številka projekta	2-P-77/24

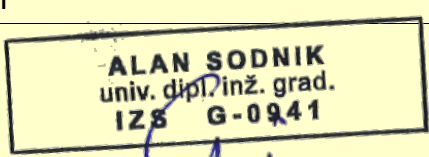
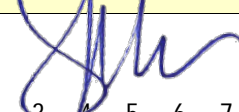
PODATKI O NAČRTU

strokovno področje načrta	Načrt s področja gradbeništva (2)
naziv načrta	Načrt gradbenih konstrukcij
številka načrta	2-P-77/24
datum izdelave	november 2024
datum spremembe	

PODATKI O PROJEKTANTU NAČRTA

projektant načrta (naziv družbe)	VALIDE d.o.o.
naslov	Kladezna ulica 20, 1000 Ljubljana
odgovorna oseba projektanta načrta	Gabrijela Kovačič Sodnik
podpis odgovorne osebe projektanta načrta	

PODATKI O IZDELOVALCU NAČRTA

ime in priimek pooblaščenega arhitekta, pooblaščenega inženirja	Alan Sodnik, u.d.i.g.
identifikacijska številka	IZS G-0941 PI
podpis pooblaščenega arhitekta, pooblaščenega inženirja	 

VALIDE projektiranje in svetovanje d.o.o.,
Kladezna ul. 20, Ljubljana

projektiranje, inženiring in tehnično svetovanje
vrednotenje podjetij, nepremičnin, strojev in opreme
tel./fax: 01-283-20-30/01-283-20-31, GSM: 041-617-136

3.2	KAZALO VSEBINE načrta št. P-77/24
-----	--

3	Načrt gradbenih konstrukcij – pregled, preiskave, analiza konstrukcije:	
	3.1	Naslovna stran
	3.2	Kazalo vsebine načrta
	3.3	Tehnično poročilo
	3.4	<p>Priloge</p> <ul style="list-style-type: none">→ Opis analize potresne odpornosti z rezultati→ Rezultati analize lesenih medetažnih konstrukcij, obstoječe stanje, ojačitev – sovprežne konstrukcije→ Poročilo o pregledu razpok, meritvah vlažnosti in tehnološki opis predlaganih ukrepov→ Ocena stroška izvedbe ukrepov, ki so predmet elaborata→ Grafične priloge<ul style="list-style-type: none">○ L-1 Shema izvedbe injektiranja sten○ L-2 Shema izvedbe ojačitev sten○ L-3 Shema izvedbe horizontalnih vezi○ L-4 Shema ojačitev lesenih stropov

TEHNIČNO POROČILO

1.0 Uvod, splošno

Na podlagi naročila Samoupravne skupnosti italijanske narodnosti Koper smo izdelali

Projektno dokumentacijo za izvedbo ukrepov ojačitve konstrukcije objekta

Palača Gravisi Buttorai na naslovu

Ulica OF 10, Koper.

V okviru naročila je bil opravljen pregled razpoložljive dokumentacije o izvedenih preiskavah objekta, izvršen ogled stavbe s poudarkom na ugotovitvi poškodb elementov nosilne konstrukcije, opravljene so bile meritve vlažnosti zidov, izdelana je bila analiza potresne odpornosti konstrukcije stavbe, ocena nosilnosti medetažnih konstrukcij in ostrešja.

Na osnovi vseh pregledov in analiz smo pripravili poročilo z opisi, ugotovitvami, rezultati analiz in podali predloge za izvedbo ukrepov ojačitev elementov nosilne konstrukcije za zagotovitev ustrezne nosilnosti skladno z veljavnimi predpisi SIST EN. V elaboratu so podani opisi in rezultati analiz, opisi predloganih ukrepov z grafičnimi prikazom teh, podan je tehnološki opis predlaganih ukrepov in podana ocena stroška izvedbe ukrepov, ki so obravnavani v tem elaboratu.

Skladno z dogovorom z naročnikom je dokumentacija po vsebini izdelana za fazo PZI zaradi natančnega vpogleda v obseg in stroške izvedbe ukrepov.

2.0 Opis objekta

Obravnavani objekt se nahaja na naslovu Ulica Osvobodilne fronte 10, Koper. Gre za stavbo št. 1546 na parceli št. 677 k.o. Koper (2605). Po javnodostopnih podatkih (GURS) gre za samostoječo stavbo zgrajeno leta 1664, v letu 1992 je bila obnovljena fasada in streha ter obsega skupaj 4 etaže: pritličje, dve nadstropji in mansardo, pokriva pa jo trikapna streha.

Palača Gravisi Buttorai se nahaja na južni strani Ulice osvobodilne fronte v Kopru. pogledi nanjo pa na slikah 2.2 do 2.7. Glede na dokumentacijo iz l. 1991 je palača sestavljena iz večje osnove iz l. 1664, ki ima v tlorisu obliko črke L, in JV dozidka iz l. 1969, ki je pravokotnega tlorisa, oba skupaj pa sestavlja tloris nekoliko nepravilne štirikotne oblike.

V nadaljevanju prikaz situacije stavbe in nekaj prikazov pogleda na objekt – fasade.



Objekt je zgrajen kot samostojni objekt, v nadaljevanju pa podajamo kratek opis elementov nosilne konstrukcije, ki je bil ugotovljen ob ogledu objekta in izhaja tudi iz že izdelanega poročila (ZAG):

Nosilno konstrukcijo starejše osnove sestavljajo kamniti temelji, kamniti in deloma mešani nosilni zidovi, lesene stropne konstrukcije in leseno ostrešje. Nosilno konstrukcijo novejšega JV dozidka pa sestavljajo betonski temelji, opečni zidovi, masivne a.b. stropne konstrukcije in leseno ostrešje. Konstrukcije v območju stopnišča (rame, podesti in strešna konstrukcija) pa so, glede na posredovanou dokumentacijo in ugotovitve ogleda, a.b. plošče.

Vse navedene informacije o elementih konstrukcije so bili ugotovljeni ob ogledu in iz poročila, ki nam je bilo posredovano s strani naročnika in posredovanega posnetka obstoječega stanja.

3.0 Pregled objekta in preiskave materialno tehničnega stanja objekta - že izdelano poročilo

Skladno z naročilom je pri izdelavi projektne dokumentacije potrebno upoštevati že izdelano poročilo *Pregled, preiskave in analize nosilne konstrukcije palače Gravisi Buttorai v Ulici Osvobodilne fronte 10 v Kopru*, ki ga je aprila 2024 izdelal ZAG (št. poročila 1043/23-610-1). V poročilu podane ugotovitve o opravljenih pregledih in sondiranju ter izdelanih analiz se upoštevajo in uporabijo pri predmetni projektni dokumentaciji ojačitev elementov konstrukcije.

Za potrebe izdelave projektne dokumentacije so bile nekatere analize ponovno izdelane (analiza potresne odpornosti in presoja lesenih medetažnih konstrukcij), v nadaljevanju podajamo povzetke rezultatov in zaključke, priloženi pa so tudi najvažnejši rezultati opravljenih analiz in izračunov.

4.0 Analiza potresne odpornosti konstrukcije in statična presoja medetažnih konstrukcij

4.1 Izhodišča

V analizi potresne odpornosti in oceni nosilnosti ostrešja in medetažne konstrukcije smo upoštevali vse razpoložljive podatke o geometrijskih lastnostih, materialno tehničnih lastnostih elementov konstrukcije stavbe in seveda veljavne predpise SIST EN. Tako smo pri izbiri in določitvi potrebnih ukrepov – ojačitev konstrukcije skladno z rezultati analiz predlagali ukrepe, ki jih je potrebno izvesti posameznih elementih konstrukcije stavbe.

Analiza potresne odpornosti konstrukcije objekta je bila izdelana na dveh računskih modelih:

- v prvem modelu (»obstoječe stanje«) je upoštevano dejansko obstoječe stanje konstrukcije, kot je ugotovljeno ob ogledu in po rezultatih preiskav in sondiranja (poročilo ZAG),
- v drugem modelu (»ojačano stanje«) pa so upoštevani ukrepi – ojačitve, kot je opisano v nadaljevanju.

4.2 Analiza potresne odpornosti konstrukcije

Spološno

Za izračun so upoštevani veljavni predpisi SIST EN. Seizmično analizo objekta smo izvedli z nelinearno statično oziroma potisno analizo. Tekom analize konstrukciji postopno povečujemo horizontalne obremenitve preko vsiljevanja pomikov, s čimer poenostavljeno simuliramo delovanje potresa. Rezultat so krivulje skupne prečne sile objekta v odvisnosti od horizontalnega pomika masnih središč etaže. Dobljene krivulje imenujemo tudi potisne krivulje. Te krivulje nato idealiziramo v bilinearne krivulje, ki podajo bistvene informacije o mejnih nosilnostih in pomikih oziroma duktilnosti konstrukcije. Glede na dosežen padec maksimalne dosežene skupne prečne sile za 20% ali presežene

dovoljene povprečne zasuke posameznih etaž določimo mejni pomik d_m . Pri 70% maksimalne prečne sile se določi efektivna togost, s kriterijem enakosti vnesene energije pushover krivulje in bilinearne idealizacije pa se nato določita elastični pomik d_e in idealizirana nosilnost F_y . Bilinearni odziv konstrukcije se nato s pomočjo N2 metode primerja s potresnimi zahtevami v AD formatu za sistem z eno prostostno stopnjo (v predpisih). Primerja se bodisi mejne dosežene pomike s ciljnimi, bodisi maksimalne pospeške, ki jih konstrukcija lahko prenese s projektnimi. Za različne točke na potisni krivulji se kontrolira stanje poškodb na konstrukciji.

Vertikalni vplivi na konstrukcijo

Za določitev potresnega vpliva je upoštevana naslednja kombinacija vplivov:

$$\sum G_{kj} \quad " + " \quad \sum \psi_{Ei} \cdot Q_{ki},$$

kjer je:

G_{kj} - karakteristična vrednost stalnega vpliva j ,

Q_{ki} - karakteristična vrednost spremenljivega vpliva i ,

ψ_{Ei} - koeficient za kombinacijo za spremenljiv vpliv i , ki upoštevajo verjetnost, da obtežba Q_{ki} med potresom ni prisotna po celi konstrukciji in jih izračunamo z izrazom:

$$\psi_{Ei} = \varphi \cdot \psi_{2i},$$

Horizontalni vplivi na konstrukcijo

Potresni vplivi za potrebe N2 metode so določeni po predpisu EC8-1, in sicer iz elastičnega spektra pospeškov S_e , določenega v odvisnosti od projektnega pospeška tal za 475-letno povratno dobo a_g , z upoštevanjem lokacije objekta ter ob upoštevanju kvalitete tal.

Vrednosti elastičnega spektra S_e v odvisnosti od nihajnega časa ekvivalentnega sistema z eno prostostno stopnjo T so:

$$0 \leq T \leq T_B : \quad S_e(T) = a_g \cdot S \cdot \left[1 + \frac{T}{T_B} \cdot (\eta \cdot 2,5 - 1) \right]$$

$$T_B \leq T \leq T_C : \quad S_e(T) = a_g \cdot S \cdot \eta \cdot \frac{2,5}{q}$$

$$T_C \leq T \leq T_D : \quad S_e(T) = a_g \cdot S \cdot \eta \cdot \frac{2,5}{q} \cdot \left[\frac{T_C}{T} \right]$$

$$T_D \leq T : \quad S_e(T) = a_g \cdot S \cdot \eta \cdot \frac{2,5}{q} \cdot \left[\frac{T_c \cdot T_D}{T^2} \right]$$

kjer so:

T_B spodnja meja nihajnega časa na območju spektra, kjer ima spekralni pospešek konstantno vrednost,

T_c zgornja meja nihajnega časa na območju spektra, kjer ima spekralni pospešek konstantno vrednost,

T_D vrednost nihajnega časa, pri kateri se začne območje konstantne vrednosti spekralnega pomika,

η faktor za korekcijo vpliva dušenja z referenčno vrednostjo $\eta = 1$ pri 5% viskoznem dušenju.

Elastični spekter odziva za pomike $S_{de}(T)$ je izračunan z direktno transformacijo elastičnega spektra odziva za pospeške

$$S_{de}(T) = S_e(T) \cdot \frac{T^2}{4\pi^2}$$

Računska analiza

Seizmično analizo smo izvedli s pomočjo programa 3Muri (verzija 10.0.1.3), ki je specializiran za oceno potresne odpornosti zidanih stavb. Narejen je idealiziran trodimenzionalen računski model objekta z ekvivalentnimi okvirji, ki z različnimi linijskimi končnimi elementi (slopi, preklade, togji odseki) upošteva nosilne stene in odprtine v njih.

Mejna strižna sila je za zidove za strižni mehanizem določena iz Turnšek in Čačovićeve enačbe z uporabo natezne trdnosti zidovja (en.1), medtem ko se upogibna nosilnost določi po en.2.

$$V_u = A_w \frac{f_{Mt}}{b} \sqrt{1 + \frac{\sigma_0}{f_{Mt}}} \quad (1)$$

$$M_u = \frac{(\sigma_0 A_w) I_w}{2} \left(1 - \frac{\sigma_0}{0.85 f_{Mc}} \right) \quad (2)$$

kjer je:

V_u strižna nosilnost pri diagonalnem strižnem mehanizmu,

A_w prečni prerez zidu,

f_t natezna trdnost zidu,

σ_0 vertikalna obremenitev zidu,

b koeficient, ki zajema vpliv razporeditve strižnih napetosti,

M_u mejni moment pri upogibnem mehanizmu zidu,

I dolžina zidu,

f_c tlačna trdnost zidu.

Za določitev elasto-plastične krivulje obnašanja zidov so predpostavljeni mejni zasuki zidov po EC8-3, in sicer 0,004 za strižni mehanizem in 0,008 h_0/l za upogibni mehanizem (h_0 je višina zidov od prereza z maksimalnim momentom do ničelne momentne točke in l dolžina zidov).

Konec računske analize je definiran pri padcu nosilnosti konstrukcije pod 80 % vrednosti maksimalne dosežene nosilnosti. Ekvivalentna elastična togost (za potrebe formiranja idealizirane krivulje potresne odpornosti) se določi pri 70 % maksimalne celotne strižne sile.

Vhodni podatki in pomembnejši rezultati opravljene analize (in primerjave rezultatov obeh modelov) so podani v prilogi v nadaljevanju poročila.

Rezultati

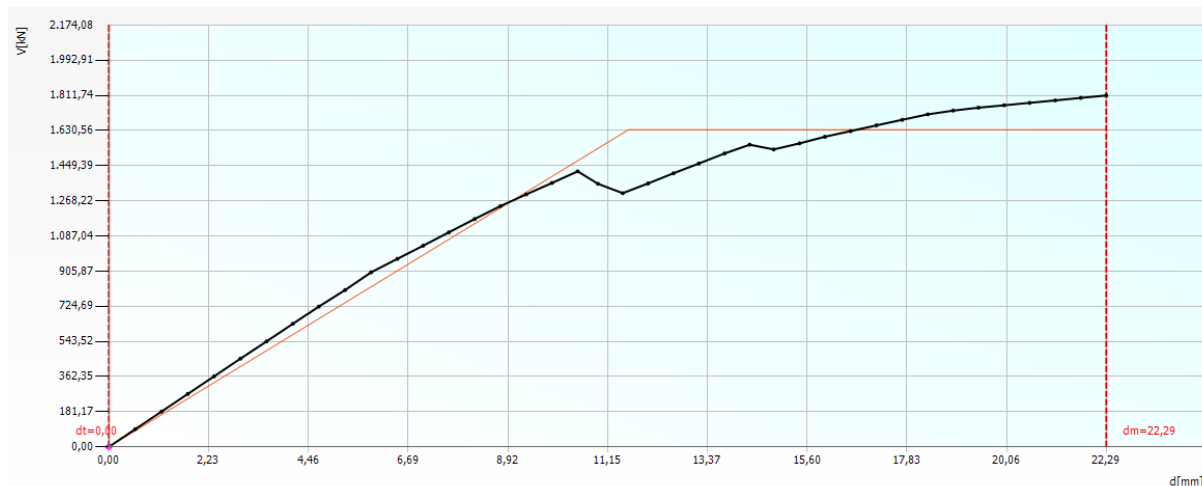
Iz rezultatov analize obeh modelov, ki so podrobneje podani v prilogi v nadaljevanju, lahko povzamemo naslednje ugotovitve:

- nosilna konstrukcija objekta v obstoječem stanju NE dosega s predpisi zahtevane nosilnosti za prevzem potresne obtežbe, potrebni so ukrepi - ojačitve;
- po določenem in izbranem načinu ter obsegu ojačitev (opisano v nadaljevanju) je nosilnost konstrukcije v obeh glavnih smereh ustrezna in dosega predpisane vrednosti; glej spodnjo tabelo, in priložena dijagrama.

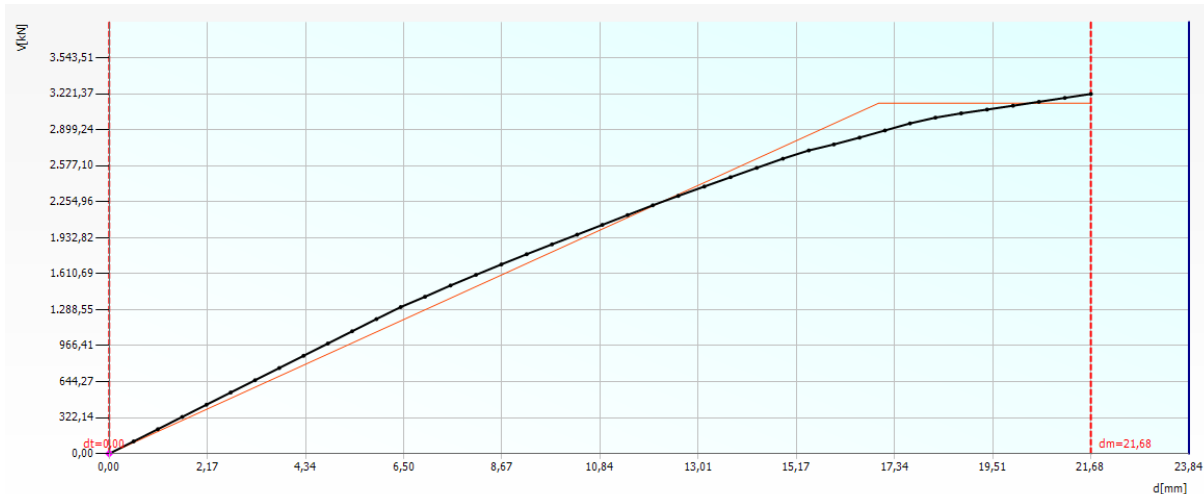
MSN (mejno stanje nosilnosti) – obstoječe stanje

obstoječe - X smer	61%	obstoječe - Y smer	85%
--------------------	-----	--------------------	-----

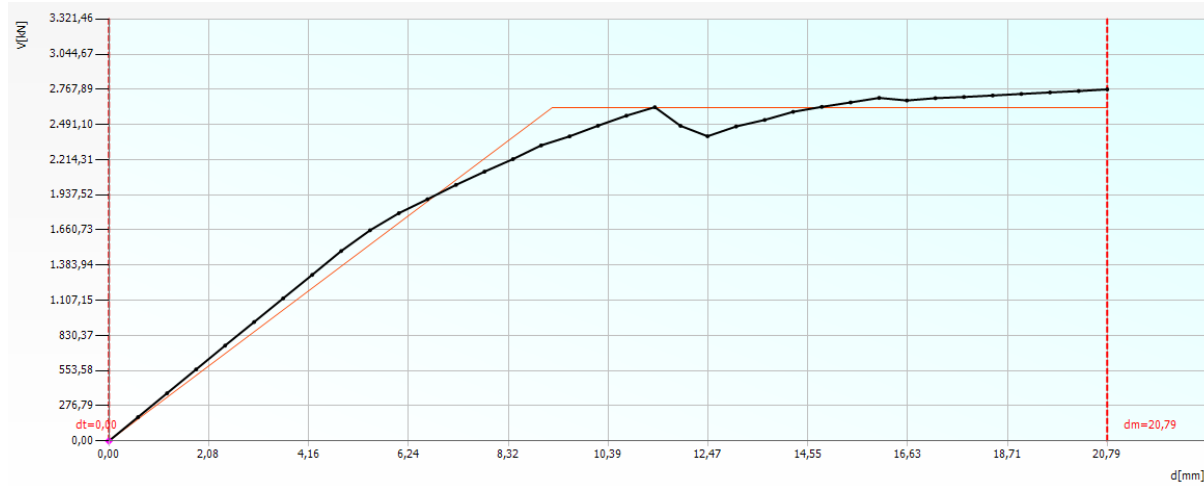
Potisna krivulja X-smer, obstoječe stanje



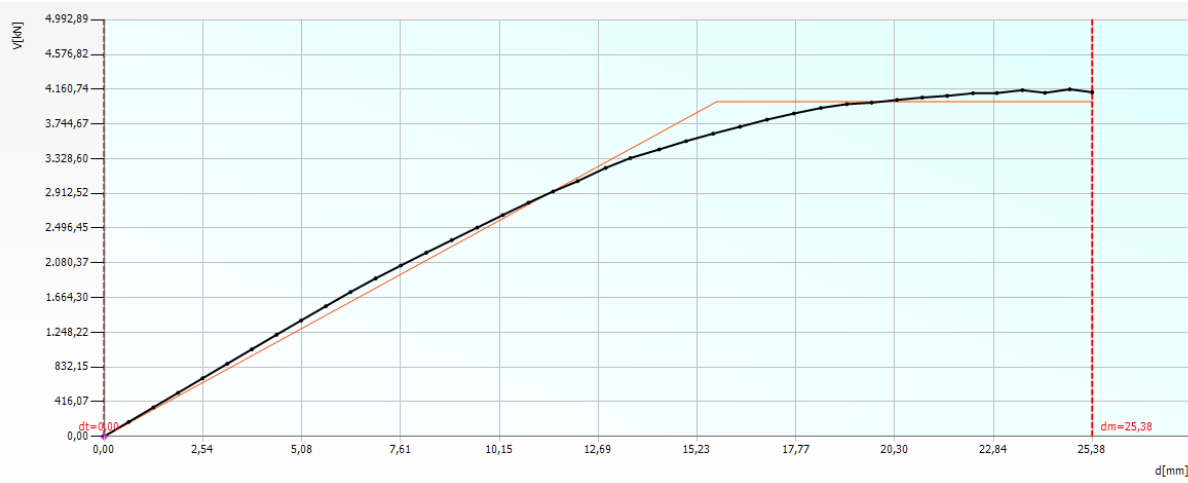
Potisna krivulja Y-smer, obstoječe stanje



Potisna krivulja X-smer, ojačano stanje



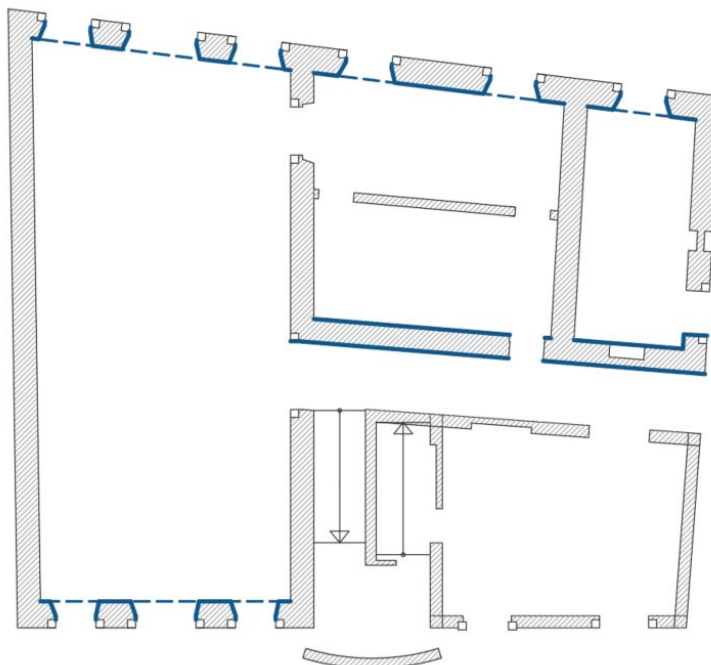
Potisna krivulja Y-smer, ojačano stanje



Na podlagi ugotovitev in opravljene analize sklepamo, da je konstrukcija objekta v dokaj dobrem stanju in bo po predlaganih ukrepih sposobna prevzemati potresne obtežbe skladno z veljavnimi predpisi. Predlagani so naslednji ukrepi za ojačitev konstrukcije, ki vplivajo na pitresno odpornost stavbe kot celote:

- sistematično injektiranje kamnitega zidovja (injektirna masa brez vsebnosti cementa – apneni pucolanska injektirna masa (npr.: Mapei Mape Antique 21),
- izvedba sovprežnih konstrukcij na območju lesenih stropov (ab plošča d=6 cm sovprežno povezana z obstoječimi lesenimi stropniki (betonska plošča d=6 cm, beton C25/30, armaturna mreža Q-189, mozniki npr, SFS VB-48-7,5x165 in sidra iz armaturnega železa Ø14 kvalitete B 500B),
- izvedba horizontalnih zidnih vezi (lamele iz ogljikovih vlaken mapei Carboplate E170 1,4x150 mm, mestoma tkanina iz ogljikovih vlaken MapeWrap C UMI-AX-300 in vrvice – sidra MapeWrap C Fiocco) in
- ojačitev dela nosilnih sten z vgradnja FRCM tankslojnega ometa (1 sloj) po spodnji shemi (mreža Mapegrid G220 in malta Planitop HDM Maxi, sidra MapeWrap C Fiocco)

Shematični prikaz predlaganih ojačitev



Legenda:



ojačitve zidovja z uporabo FRCM ometa, kontinuirno od temeljev do strešja

4.3 Ocena nosilnosti lesenih stropnih konstrukcij in ostrešja

Lesene stropne konstrukcije se nahajajo na območju prvotnega, osnovnega objekta, v nekaterih prostorih so leseni stropovi – stropni s spodnje strani vidni, drugod pa so stropni s spodnje strani obloženi z opažem in ometom na trstiki. Analiza lesenih stropnikov je bila izdelana že v poročilu ZAG za 5 od 9 prostorov kjer se taki stropi nahajajo in kjer so bila izvedena sondiranja (oznake stropov LS-1 do LS-5). Ker so tovrstni stropovi dokaj občutljivi za vibracije in je njihova prisotnost ugotovljena tudi v poročilu ZAG, smo v ponovljeni analizi poleg ocene nosilnosti in deformacij (kontrola kriterijev MSN in MSU) vključili tudi oceno lastne frekvence in oceno *a-faktorja* (kazatelj uporabnosti) posamezne stropne konstrukcije.

Rezultati nosilnosti in deformacij so podobni kot v poročilu ZAG s pratično enakimi zaključki, rezultati ocene lastne frekvence in a-faktorja pa je tudi pokazala *slabo* oziroma *slabšo uporabnost* pri vseh analiziranih, razen pri L-3, kjer je ugotovljena *dobra uporabnost*.

V spodnji tabeli je prikazan povzetek rezultatov ocene lastne frekvence posameznih stropov, tabelarični izračun pa je priložen v prilogi.

		Stropnik					
	Lastna frekvenca f1 > 8 Hz	Razpon	b	h	Stalna obt.	za nosilne kor.	Koristna obt.
LS1	6,68	6,19	0,170	0,205	0,94	0,39	4,00
LS2	5,82	6,12	0,153	0,205	1,22	0,33	3,00
LS3	26,44	2,70	0,120	0,205	1,16	0,25	3,00
LS4	6,26	6,33	0,145	0,210	0,79	0,29	3,00
LS5	5,25	6,65	0,125	0,215	0,84	0,24	3,00

Ocena nosilnosti špirovcev je bila izdelana tudi v poročilu ZAG iz katerega povezemo ugotovitve: leseno ostrešje ustrezza trenutni konfiguraciji v mejnem stanju nosilnosti, pri mejnem stanju uporabnosti pa so dovoljene vrednosti deformacij nekoliko prekoračene. Ob morebitni spremembi obtežbe strehe (zamenjava kritine, dodatna tplotna izolacija strehe, zamenjava oblog z notranje strani,...) v okviru predvidene prenove pa je potrebno ponovno analizirati posamezne elemente ostrešja.

Na podlagi ugotovitev in rezultatov analize lesenih stropnih konstrukcij predlagamo, da se te ojača in izvede sovprežna konstrukcija les-beton z dodajanjem sovprežne ab plošče debeline d=6 cm. S tem se bo precej povečala togost stropne konstrukcije, kar bo pozitivno vplivalo na prevzem vertikalne obtežbe, zelo dober bo vpliv na medsebojno povezavo nosilnih sten na obodu teh stropnih konstrukcij (z dodatnim ukrepom sidranja stropov v stene) in zaradi večje togosti se bo povečala tudi lastna frekvenca stropnih konstrukcij.

Predlagana izvedba sovprežnih konstrukcij les-beton in sidranje stropov v obodne stene obsega naslednje:

- odstranitev oblog in vseh plasti do opaža nad stropniki,
- vgraditev moznikov skladno s statično presojo (glej priloge in grafične prikaze), armaturne mreže Q-189 in vgraditev sider v obodne stene okoli posameznega tipa stropov,
- izvedba ab ploče debeline 6 cm.

Na opisan način ojačane stropne konstrukcije ustrezajo tudi 30 minutni požarni odpornosti. Zgoraj opisano je razvidno tudi iz grafičnih prilog na koncu poročila.

5.0 Pregled razpok, meritve vlažnosti zidov opis predlaganih ukrepov

Poročilo je priloženo v nadaljevanju pozetki ugotovitev pa so naslednji:

- a) da se stanje konstruktivnih delov objekta od pregleda, ki je bil izveden s strani Zavoda za gradbeništvo v aprilu 2024 do novembra 2024 ni bistveno spremenilo, pozicije, širine ter dolžine razpok, ki so bile registrirane in dokumentirane v poročilu ZAG-a se v glavnem ujemajo z rezultati detajlnega pregleda v novembру 2024., obstaja le nekaj razpok, na katerih se je po naši oceni dolžina povečala za max ca 50 cm;
- b) iz meritev vlage v pritličnih zidovih izhaja, da so južni obodni zid v prostoru Salone in vsi zidovi v prostorih kurilnice in kleti močno prekomerno vlažni do višine ca 2,0 m; na teh zidovih so tudi vidne posledice prekomerne vlažnosti v obliki luščenja in odstopanja opleskov; vzrok prekomerne vlage v zidovih je kapilarni dvig vlage; na ostalih zidovih v pritličnih prostorih je nekoliko povisana vlaga prisotna do višine ca 1 m, v baru pa so zidovi normalno vlažni.

Predlagamo, da se sanacija močno vlažnih zidov (južni zid v prostoru Salone in vsi zidovi v kleti in kurilnici), izvede z bariero proti kapilarnemu dvigu vlage s penetriranjem silikonatov v obliki gela in sicer na nivoju tik nad koto tal v prostorih. Pred penetracijo je potrebno kamniti zid v višini ca 0,5 m nad in 0,5 m pod koto tal v prostoru zainjektirati s hidrofobno apneno pučolansko injektirno maso.

Na vseh močno vlažnih zidovih naj se poleg bariere izvede tudi zamenjava obstoječih notranjih ometov s sušilnimi sanacijskimi ometi po celotni višini zidu.

Predlagani materiali za izvedbo predvidenih ukrepov so podani v Poročilu.

6.0 Ocena stroška ukrepov, ki so predmet tega elaborata

Skladno z dogovorom je pripravljena tudi ocena stroškov izvedbe ukrepov, ki so predmet tega elaborata, ocena stroška znaša: =640.000,00 €.

7.0 Zaključek

Za objekt Palača Gravisi Buttorai v Kopru je bil opravljen ogled in izdelane analize elementov konstrukcije ter dodočeni ukrepi za njihovo ojačitev, s čemer bo konstrukcija stavbe ustrezala bistveni zahtevi po GZ – mehanska odpornost in stabilnost ter varstvo pred požarom.

Pri izdelavi elaborata je poleg veljavnih predpisov SIST EN bilo upoštevano tudi poročilo *Pregled, preiskave in analize nosilne konstrukcije palače Gravisi Buttorai v Ulici Osvobodilne fronte 10 v Kopru*, ki ga je aprila 2024 izdelal ZAG (št. poročila 1043/23-610-1).

V elaboratu so določeni, obdelani, opisani in shematsko prikazani ukrepi za ojačitev elementov konstrukcije:

- a) sistematično injektiranje kamnitega zidovja (injektirna masa brez vsebnosti cementa – apneni pucolanska injektirna masa (npr.: Mapei Mape Antique 21) z izvedbo bariere proti kapilarnemu dvigu vlage;
- b) izvedba sovprežnih konstrukcij na območju lesenih stropov (ab plošča d=6 cm sovprežno povezana z obstoječimi lesenimi stropniki (betonska plošča d=6 cm, beton C25/30, armaturna mreža Q-189, mozniki npr, SFS VB-48-7,5x165 in sidra iz armaturnega železa Ø14 kvalitete B 500B),
- c) povezava ojačanih stropnih konstrukcij z obodnimi stenami;
- d) izvedba horizontalnih zidnih vezi (lamele iz ogljikovih vlaken mapei Carboplate E170 1,4x150 mm, mestoma tkanina iz ogljikovih vlaken MapeWrap C UMI-AX-300 in vrvice – sidra MapeWrap C Fiocco) in
- e) ojačitev dela nosilnih sten z vgradnja FRCM tankoslojnega ometa (1 sloj) po spodnji shemi (mreža Mapegrid G220 in malta Planitop HDM Maxi, sidra MapeWrap C Fiocco)

Pred pričetkom prenove objekta je potrebno ponovno preveriti in uskladiti predvidene ukrepe z načrti arhitekture in na podlagi uskladitve obeh načrtov določiti še morebitna območje, kjer je možno obstoječe elemente konstrukcije – nosilne stene dodatno medsebojno povezati, pozidati neizkoriščene niše, opuščene odprtine za vrata in podobno.

V Ljubljani, november 2024

pripravil:

Alan Sodnik, univ.dipl.inž.grad.

IZS G-0941

PRILOGE

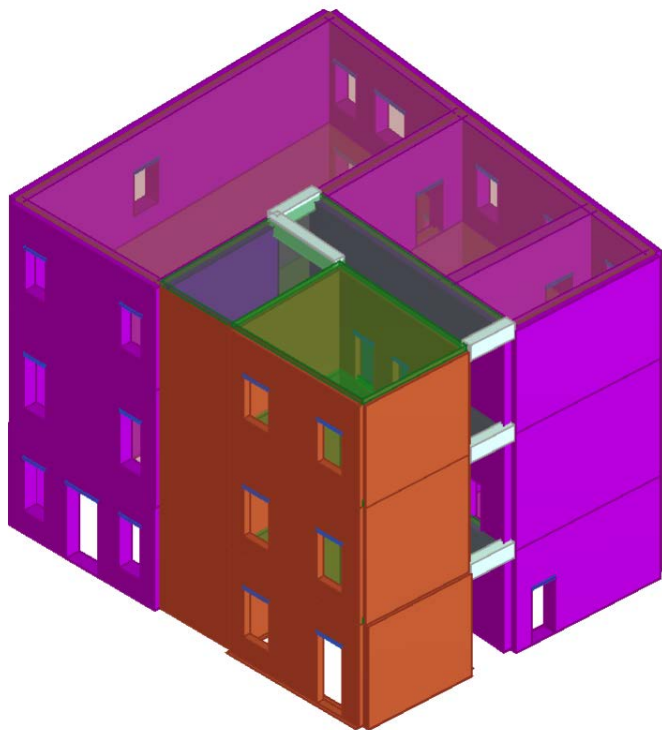
Opis analize potresne odpornosti z rezultati

Objekt: Palača Gravisi, Koper

Seizmično analizo smo izvedli s pomočjo programa 3Muri, ki je specializiran za oceno potresne odpornosti zidanih stavb in deluje po principu nelinearne statične analize. Tekom analize konstrukciji postopno povečujemo horizontalne obremenitve preko vsiljevanja pomikov, s čimer poenostavljeni simuliramo delovanje potresa. Rezultat so krivulje skupne prečne sile objekta v odvisnosti od horizontalnega pomika masnih središč zgornje etaže (t. i. potisne krivulje).

Narejen je idealiziran trodimenzionalen računski model objekta z ekvivalentnimi okvirji, ki z različnimi linijskimi končnimi elementi (slopi, preklade, togji odseki) upošteva odprtine v stenah. V okviru analize se upošteva standard EC8.

Idealiziran računski model smo izdelali na podlagi arhitekturnega posnetka, arhivske projektne dokumentacije, izkušenj iz ekvivalentnih primerov, opravljenih preiskav konstrukcije.



BISTVENI VHODNI PODATKI

Karakteristike zidovja → ZAG !

Obtežbe in tipi stropov → ZAG !

Faktor poznavanja: $CF = 1,20$ (!) – omejeno poznavanje

Koristna obtežba: $3,0$ ($4,0$ – dvorana v nadstropju) kN/m^2 ; $\psi_2 = 0,3$;

Pospešek tal: $a = 0,10 \cdot g$, tip tal D ($S = 1,35$)

Faktor pomembnosti: $\gamma = 1,0$ (II. kategorija)

Globalni koordinatni sistem: X smer v vzdolžni smeri objekta, Y pa v prečni smeri objekta

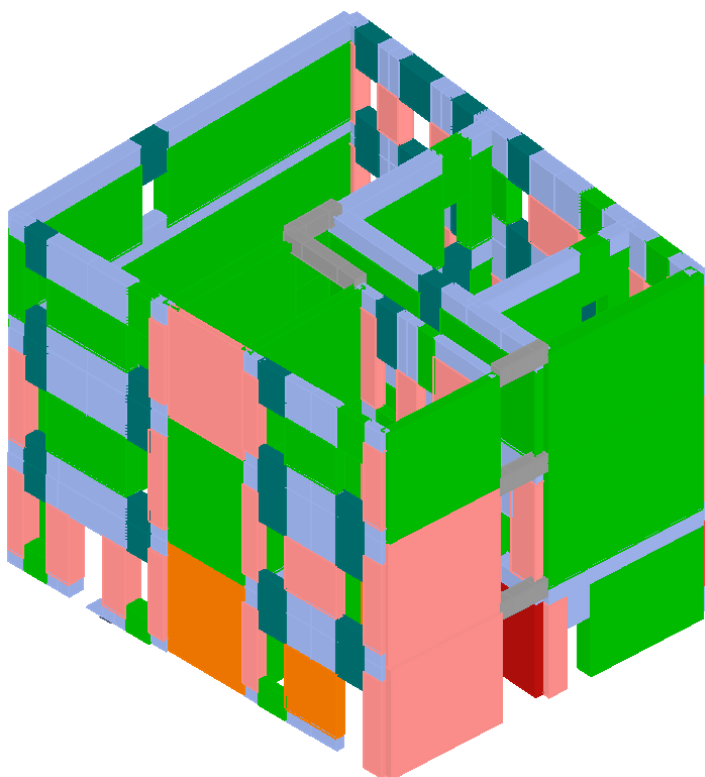
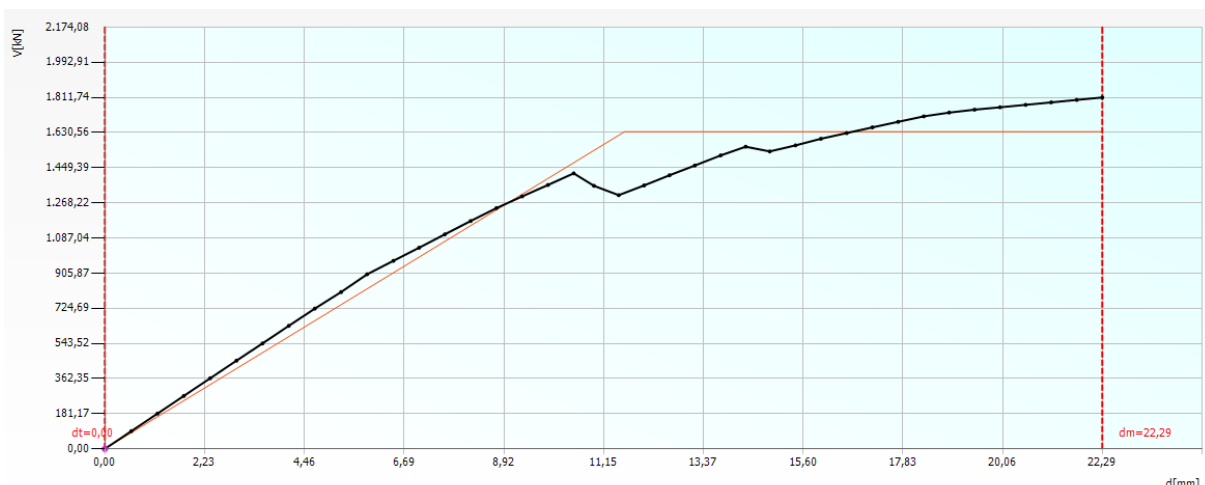
V nadaljevanju povzetek rezultatov (izpolnjevanje kriterijev v % gleda na zahteve EC-8 za MSN)

Obstoječe stanje:

MSN: X: 60,8 %, Y: 85,4 %

No.	Seism dir.	Seismic load	Ecc. [cm]	dt SD [mm]	dm SD [mm]	SD Ver.	Sd DL [mm]	d*y DL [mm]	α SD	α DL
1	+X	Uniform	0,0	26,81	15,37	No	8,74	7,99	0,681	0,914
2	+X	Static forces	0,0	31,29	18,03	No	10,86	9,80	0,668	0,902
3	-X	Uniform	0,0	27,12	14,34	No	8,73	7,68	0,643	0,879
4	-X	Static forces	0,0	31,91	16,53	No	10,97	9,42	0,617	0,859
5	+Y	Uniform	0,0	19,35	16,79	No	8,47	13,72	0,910	1,619
6	+Y	Static forces	0,0	24,87	24,94	Yes	10,29	15,00	1,002	1,459
7	-Y	Uniform	0,0	17,73	18,05	Yes	7,91	13,13	1,009	1,660
8	-Y	Static forces	0,0	22,93	22,27	No	9,57	14,35	0,983	1,499
9	+X	Uniform	74,6	27,16	16,12	No	8,82	7,90	0,693	0,895
10	+X	Uniform	-74,6	26,11	15,08	No	8,59	8,18	0,690	0,952
11	+X	Static forces	74,6	32,04	18,30	No	11,12	9,75	0,660	0,877
12	+X	Static forces	-74,6	30,96	17,76	No	10,85	10,13	0,670	0,933
13	-X	Uniform	74,6	27,81	14,14	No	8,87	7,45	0,622	0,840
14	-X	Uniform	-74,6	26,42	14,08	No	8,58	7,88	0,653	0,918
15	-X	Static forces	74,6	32,61	16,72	No	11,14	9,17	0,608	0,823
16	-X	Static forces	-74,6	31,27	16,76	No	10,80	9,63	0,636	0,892
17	+Y	Uniform	85,7	20,88	16,26	No	8,74	13,32	0,854	1,525
18	+Y	Uniform	-85,7	17,85	16,83	No	8,19	14,02	0,943	1,711
19	+Y	Static forces	85,7	26,30	24,25	No	10,68	14,93	0,949	1,398
20	+Y	Static forces	-85,7	23,41	24,72	Yes	9,90	15,08	1,034	1,523
21	-Y	Uniform	85,7	19,27	18,33	No	8,15	12,70	0,973	1,558
22	-Y	Uniform	-85,7	16,76	17,72	Yes	7,69	13,73	1,050	1,784
23	-Y	Static forces	85,7	24,45	21,87	No	9,84	13,81	0,933	1,404
24	-Y	Static forces	-85,7	21,47	23,56	Yes	9,28	14,71	1,056	1,584

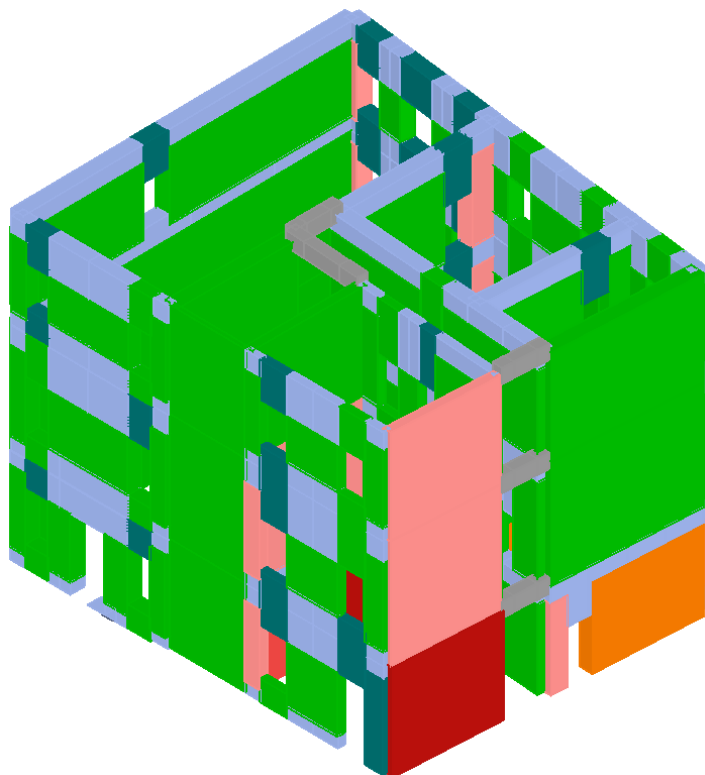
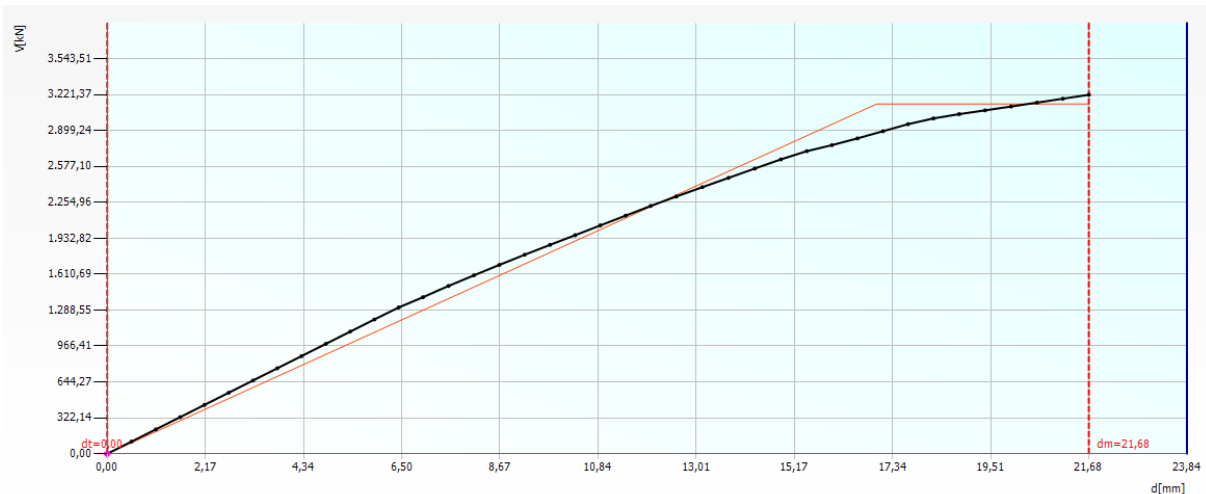
Potisna krivulja za merodajen primer v smeri X:



Legenda (poškodovanost zidovja):

	Undamaged
	Plasticity incipient
	Shear damage
	Incipient shear failure
	Shear failure
	Incipient bending failure
	Bending failure
	Bending damage

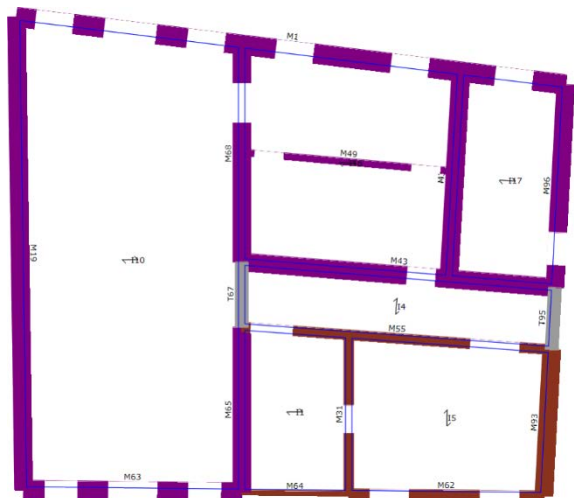
Potisna krivulja za merodajen primer v smeri Y:



Legenda (poškodovanost zidovja):

[Green Box]	Undamaged
[Dark Green Box]	Plasticity incipient
[Yellow Box]	Shear damage
[Orange Box]	Incipient shear failure
[Dark Orange Box]	Shear failure
[Red Box]	Incipient bending failure
[Dark Red Box]	Bending failure
[Light Red Box]	Bending damage

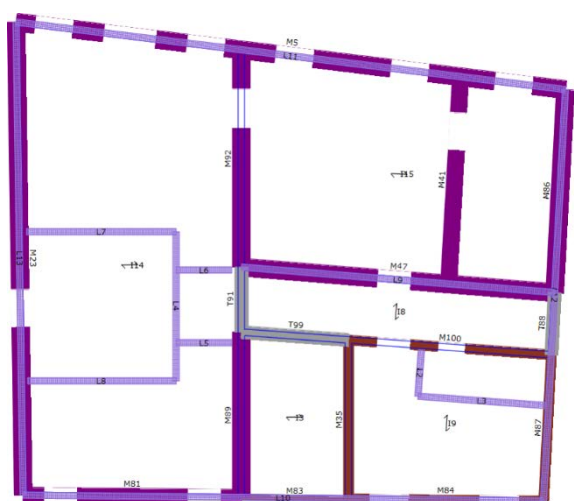
Level plan 1 view



Level plan 2 view



Level plan 3 view



Structure elements

Level 1

Masonry panel

No.	Wall	Material	Elevation [cm]	Height [cm]	Thickness [cm]
1	1	Zidovje staro	410,0	410,0	60,0
93	2	Zidovje novo	410,0	410,0	55,0
96	2	Zidovje staro	410,0	410,0	55,0
62	3	Zidovje novo	410,0	410,0	30,0
63	3	Zidovje staro	410,0	410,0	60,0
64	3	Zidovje novo	410,0	410,0	15,0
19	4	Zidovje staro	410,0	410,0	55,0
65	5	Zidovje staro	410,0	410,0	55,0
68	5	Zidovje staro	410,0	410,0	55,0
31	6	Zidovje novo	410,0	410,0	30,0
37	7	Zidovje staro	410,0	410,0	55,0
43	8	Zidovje staro	410,0	410,0	55,0
49	9	Zidovje staro	410,0	410,0	20,0
55	10	Zidovje novo	410,0	410,0	30,0

Floor

No.	Elevation [cm]	Thickness [cm]	G [kN/m ²]	Ex [kN/m ²]	Ey [kN/m ²]	Mass loading	Type
1	410,0	-	-	-	-	Bidirectional	Rigid floor
4	410,0	-	-	-	-	Bidirectional	Rigid floor
5	410,0	-	-	-	-	Bidirectional	Rigid floor
10	410,0	4,0	10.000,00	24.605.263,67	0,00	Unidirectional	One-way timber floor with single wood plank
16	410,0	4,0	10.000,00	19.642.857,42	0,00	Unidirectional	One-way timber floor with single wood plank
17	410,0	4,0	10.000,00	15.000.000,00	0,00	Unidirectional	One-way timber floor with single wood plank

Level 2

Masonry panel

No.	Wall	Material	Elevation [cm]	Height [cm]	Thickness [cm]
3	1	Zidovje staro	880,0	470,0	55,0
70	2	Zidovje staro	880,0	470,0	55,0
71	2	Zidovje novo	880,0	470,0	30,0
78	3	Zidovje novo	880,0	470,0	30,0
79	3	Zidovje staro	880,0	470,0	55,0
80	3	Zidovje novo	880,0	470,0	15,0
21	4	Zidovje staro	880,0	470,0	55,0
73	5	Zidovje staro	880,0	470,0	55,0
76	5	Zidovje staro	880,0	470,0	55,0
33	6	Zidovje novo	880,0	470,0	30,0
39	7	Zidovje staro	880,0	470,0	55,0
45	8	Zidovje staro	880,0	470,0	55,0

98	10	Zidovje novo	880,0	470,0	30,0
----	----	--------------	-------	-------	------

Floor

No.	Elevation [cm]	Thickness [cm]	G [kN/m ²]	Ex [kN/m ²]	Ey [kN/m ²]	Mass loading	Type
2	880,0	-	-	-	-	Bidirectional	Rigid floor
6	880,0	-	-	-	-	Bidirectional	Rigid floor
7	880,0	-	-	-	-	Bidirectional	Rigid floor
12	880,0	4,0	10.000,00	17.111.111,33	0,00	Unidirectional	One-way timber floor with single wood plank
13	880,0	4,0	10.000,00	17.111.111,33	0,00	Unidirectional	One-way timber floor with single wood plank

Level 3

Masonry panel

No.	Wall	Material	Elevation [cm]	Height [cm]	Thickness [cm]
5	1	Zidovje staro	1.290,0	410,0	55,0
86	2	Zidovje staro	1.290,0	410,0	55,0
87	2	Zidovje novo	1.290,0	410,0	30,0
81	3	Zidovje staro	1.290,0	410,0	50,0
83	3	Zidovje novo	1.290,0	410,0	15,0
84	3	Zidovje novo	1.290,0	410,0	30,0
23	4	Zidovje staro	1.290,0	410,0	55,0
89	5	Zidovje staro	1.290,0	410,0	55,0
92	5	Zidovje staro	1.290,0	410,0	55,0
35	6	Zidovje novo	1.290,0	410,0	30,0
41	7	Zidovje staro	1.290,0	410,0	50,0
47	8	Zidovje staro	1.290,0	410,0	55,0
100	10	Zidovje novo	1.290,0	410,0	30,0

Floor

No.	Elevation [cm]	Thickness [cm]	G [kN/m ²]	Ex [kN/m ²]	Ey [kN/m ²]	Mass loading	Type
3	1.290,0	-	-	-	-	Bidirectional	Rigid floor
8	1.290,0	-	-	-	-	Bidirectional	Rigid floor
9	1.290,0	-	-	-	-	Bidirectional	Rigid floor
14	1.290,0	4,0	10.000,00	14.142.857,42	0,00	Unidirectional	One-way timber floor with single wood plank
15	1.290,0	4,0	10.000,00	14.142.857,42	0,00	Unidirectional	One-way timber floor with single wood plank

Equivalent Frame

Wall : 1

3D Nodes

Node	X [cm]	Y [cm]	Z [cm]	Level
1	71,2	121,0	0,0	0
21	774,0	34,7	0,0	0
37	1.457,3	-49,3	0,0	0
5	1.784,6	-89,4	0,0	0
2	71,2	121,0	410,0	1
22	774,0	34,7	410,0	1
38	1.457,3	-49,3	410,0	1
6	1.784,6	-89,4	410,0	1
3	71,2	121,0	880,0	2
23	774,0	34,7	880,0	2
39	1.457,3	-49,3	880,0	2
7	1.784,6	-89,4	880,0	2
4	71,2	121,0	1.290,0	3
24	774,0	34,7	1.290,0	3
40	1.457,3	-49,3	1.290,0	3
8	1.784,6	-89,4	1.290,0	3

2D Nodes

Node	Local X [cm]	Z [cm]	Level
61	226,7	0,0	0
63	487,7	0,0	0
65	1.055,3	0,0	0
62	226,7	410,0	1
64	487,7	410,0	1
66	1.055,3	410,0	1
67	226,7	880,0	2
68	487,7	880,0	2
69	1.055,3	880,0	2
70	226,7	1.290,0	3
71	487,7	1.290,0	3
72	1.055,3	1.290,0	3

Pier macroelements

No.	Material	Thickness [cm]	Basis [cm]	Height [cm]	X centre of mass [cm]	Z centre of mass [cm]	Top node	Bottom node
30	Zidovje staro	60,0	105,5	250,0	1.673,5	214,0	5	6
24	Zidovje staro	60,0	61,2	252,5	30,6	216,8	1	2
25	Zidovje staro	60,0	101,0	222,5	226,7	221,3	61	62
26	Zidovje staro	60,0	101,0	222,5	487,7	221,3	63	64
28	Zidovje staro	60,0	247,0	90,0	1.055,3	255,0	65	66
29	Zidovje staro	60,0	211,9	90,0	1.399,7	255,0	37	38
27	Zidovje staro	60,0	163,6	92,5	735,0	261,3	21	22
35	Zidovje staro	55,0	247,0	285,0	1.055,3	552,5	66	69
36	Zidovje staro	55,0	211,9	285,0	1.399,7	552,5	38	39

34	Zidovje staro	55,0	163,6	332,5	735,0	576,3	22	23
32	Zidovje staro	55,0	101,0	380,0	226,7	600,0	62	67
33	Zidovje staro	55,0	101,0	380,0	487,7	600,0	64	68
37	Zidovje staro	55,0	105,5	400,2	1.673,5	610,1	6	7
31	Zidovje staro	55,0	61,2	429,8	30,6	624,9	2	3
39	Zidovje staro	55,0	101,0	175,0	226,7	1.057,5	67	70
40	Zidovje staro	55,0	101,0	175,0	487,7	1.057,5	68	71
41	Zidovje staro	55,0	163,6	175,0	735,0	1.057,5	23	24
42	Zidovje staro	55,0	247,0	175,0	1.055,3	1.057,5	69	72
43	Zidovje staro	55,0	211,9	175,0	1.399,7	1.057,5	39	40
38	Zidovje staro	55,0	61,2	292,5	30,6	1.076,8	3	4
44	Zidovje staro	55,0	105,5	292,5	1.673,5	1.076,8	7	8

Spandrel beam macroelements

No.	Material	Thickness [cm]	Basis [cm]	Height [cm]	X centre of mass [cm]	Z centre of mass [cm]	Left node	Right node
6	Zidovje staro	60,0	115,0	210,0	874,3	105,0	21	65
8	Zidovje staro	60,0	115,0	210,0	1.236,3	105,0	65	37
10	Zidovje staro	60,0	115,0	210,0	1.563,2	105,0	37	5
1	Zidovje staro	60,0	115,0	220,0	118,7	110,0	1	61
4	Zidovje staro	60,0	115,0	220,0	595,7	110,0	63	21
7	Zidovje staro	60,0	115,0	110,0	874,3	355,0	22	66
9	Zidovje staro	60,0	115,0	110,0	1.236,3	355,0	66	38
11	Zidovje staro	60,0	115,0	110,0	1.563,2	355,0	38	6
2	Zidovje staro	60,0	115,0	95,0	118,7	362,5	2	62
5	Zidovje staro	60,0	115,0	95,0	595,7	362,5	64	22
3	Zidovje staro	60,0	160,0	60,0	357,2	380,0	62	64
15	Zidovje staro	55,0	115,0	275,0	874,3	832,5	23	69
16	Zidovje staro	55,0	115,0	275,0	1.236,3	832,5	69	39
17	Zidovje staro	55,0	115,0	275,0	1.563,2	832,5	39	7
12	Zidovje staro	55,0	115,0	180,0	118,7	880,0	3	67
13	Zidovje staro	55,0	160,0	180,0	357,2	880,0	67	68
14	Zidovje staro	55,0	115,0	180,0	595,7	880,0	68	23
18	Zidovje staro	55,0	115,0	145,0	118,7	1.217,5	4	70
19	Zidovje staro	55,0	160,0	145,0	357,2	1.217,5	70	71
20	Zidovje staro	55,0	115,0	145,0	595,7	1.217,5	71	24
21	Zidovje staro	55,0	115,0	145,0	874,3	1.217,5	24	72
22	Zidovje staro	55,0	115,0	145,0	1.236,3	1.217,5	72	40
23	Zidovje staro	55,0	115,0	145,0	1.563,2	1.217,5	40	8

Wall : 2

3D Nodes

Node	X [cm]	Y [cm]	Z [cm]	Level
9	1.716,4	-1.371,7	0,0	0
57	1.740,6	-916,2	0,0	0
45	1.750,9	-722,2	0,0	0
5	1.784,6	-89,4	0,0	0
10	1.716,4	-1.371,7	410,0	1
58	1.740,6	-916,2	410,0	1

46	1.750,9	-722,2	410,0	1
6	1.784,6	-89,4	410,0	1
11	1.716,4	-1.371,7	880,0	2
59	1.740,6	-916,2	880,0	2
47	1.750,9	-722,2	880,0	2
7	1.784,6	-89,4	880,0	2
12	1.716,4	-1.371,7	1.290,0	3
60	1.740,6	-916,2	1.290,0	3
48	1.750,9	-722,2	1.290,0	3
8	1.784,6	-89,4	1.290,0	3

2D Nodes

Node	Local X [cm]	Z [cm]	Level
73	228,1	0,0	0
74	228,1	410,0	1
76	967,3	410,0	1
75	228,1	880,0	2
77	967,3	880,0	2
78	228,1	1.290,0	3
79	967,3	1.290,0	3

Pier macroelements

No.	Material	Thickness [cm]	Basis [cm]	Height [cm]	X centre of mass [cm]	Z centre of mass [cm]	Top node	Bottom node
50	Zidovje staro	55,0	71,0	344,4	685,9	172,2	45	46
51	Zidovje staro	55,0	462,7	344,4	1.052,8	172,2	5	76
45	Zidovje novo	55,0	456,2	410,0	228,1	205,0	73	74
46	Zidovje novo	30,0	456,2	470,0	228,1	645,0	74	75
47	Zidovje staro	55,0	633,7	470,0	967,3	645,0	76	77
48	Zidovje novo	30,0	456,2	410,0	228,1	1.085,0	75	78
49	Zidovje staro	55,0	633,7	410,0	967,3	1.085,0	77	79

Wall : 3

3D Nodes

Node	X [cm]	Y [cm]	Z [cm]	Level
13	93,3	-1.353,7	0,0	0
17	774,0	-1.361,3	0,0	0
25	1.108,0	-1.365,0	0,0	0
9	1.716,4	-1.371,7	0,0	0
14	93,3	-1.353,7	410,0	1
18	774,0	-1.361,3	410,0	1
26	1.108,0	-1.365,0	410,0	1
10	1.716,4	-1.371,7	410,0	1
15	93,3	-1.353,7	880,0	2
19	774,0	-1.361,3	880,0	2
27	1.108,0	-1.365,0	880,0	2
11	1.716,4	-1.371,7	880,0	2
16	93,3	-1.353,7	1.290,0	3
20	774,0	-1.361,3	1.290,0	3

28	1.108,0	-1.365,0	1.290,0	3
12	1.716,4	-1.371,7	1.290,0	3

2D Nodes

Node	Local X [cm]	Z [cm]	Level
80	216,1	0,0	0
82	465,1	0,0	0
83	847,7	0,0	0
85	1.313,0	0,0	0
81	216,1	410,0	1
84	847,7	410,0	1
86	1.313,0	410,0	1
87	340,8	880,0	2
88	847,7	880,0	2
89	1.313,0	880,0	2
90	340,8	1.290,0	3
91	847,7	1.290,0	3
92	1.313,0	1.290,0	3

Pier macroelements

No.	Material	Thickness [cm]	Basis [cm]	Height [cm]	X centre of mass [cm]	Z centre of mass [cm]	Top node	Bottom node
79	Zidovje novo	30,0	223,3	242,5	1.313,0	166,3	85	86
75	Zidovje staro	60,0	98,5	260,0	216,1	175,0	80	81
76	Zidovje staro	60,0	99,5	260,0	465,1	175,0	82	81
80	Zidovje novo	30,0	78,6	358,7	1.583,9	179,4	9	10
78	Zidovje novo	30,0	66,6	305,0	1.048,0	200,1	25	26
74	Zidovje staro	60,0	66,8	312,5	33,4	202,4	13	14
77	Zidovje staro	60,0	65,9	312,5	647,8	202,4	17	18
71	Zidovje novo	15,0	334,0	410,0	847,7	205,0	83	84
85	Zidovje novo	30,0	223,3	200,0	1.313,0	595,0	86	89
82	Zidovje staro	55,0	348,0	220,0	340,8	610,0	81	87
84	Zidovje novo	30,0	66,6	335,0	1.048,0	630,1	26	27
86	Zidovje novo	30,0	78,6	335,0	1.583,9	630,1	10	11
81	Zidovje staro	55,0	66,8	345,0	33,4	633,8	14	15
83	Zidovje staro	55,0	65,9	345,0	647,8	633,8	18	19
72	Zidovje novo	15,0	334,0	470,0	847,7	645,0	84	88
91	Zidovje novo	30,0	223,3	175,0	1.313,0	1.052,5	89	92
88	Zidovje staro	50,0	348,0	175,0	340,8	1.057,5	87	90
90	Zidovje novo	30,0	66,6	292,5	1.048,0	1.075,3	27	28
92	Zidovje novo	30,0	78,6	292,5	1.583,9	1.075,3	11	12
87	Zidovje staro	50,0	66,8	292,5	33,4	1.076,8	15	16
89	Zidovje staro	50,0	65,9	292,5	647,8	1.076,8	19	20
73	Zidovje novo	15,0	334,0	410,0	847,7	1.085,0	88	91

Spandrel beam macroelements

No.	Material	Thickness [cm]	Basis [cm]	Height [cm]	X centre of mass [cm]	Z centre of mass [cm]	Left node	Right node
52	Zidovje staro	60,0	100,0	90,0	116,8	45,0	13	80
55	Zidovje staro	60,0	100,0	90,0	564,8	45,0	82	17

58	Zidovje novo	30,0	120,0	90,0	1.141,3	45,0	25	85
53	Zidovje staro	60,0	100,0	105,0	116,8	357,5	14	81
56	Zidovje staro	60,0	100,0	105,0	564,8	357,5	81	18
60	Zidovje novo	30,0	120,0	210,0	1.484,6	390,0	86	10
59	Zidovje novo	30,0	120,0	205,0	1.141,3	392,5	26	86
54	Zidovje staro	55,0	100,0	90,0	116,8	455,0	14	81
57	Zidovje staro	55,0	100,0	90,0	564,8	455,0	81	18
61	Zidovje staro	55,0	100,0	160,0	116,8	800,0	15	87
63	Zidovje staro	55,0	100,0	160,0	564,8	800,0	87	19
65	Zidovje novo	30,0	120,0	270,0	1.141,3	830,0	27	89
66	Zidovje novo	30,0	120,0	270,0	1.484,6	830,0	89	11
62	Zidovje staro	50,0	100,0	90,0	116,8	925,0	15	87
64	Zidovje staro	50,0	100,0	90,0	564,8	925,0	87	19
69	Zidovje novo	30,0	120,0	150,0	1.141,3	1.215,0	28	92
70	Zidovje novo	30,0	120,0	150,0	1.484,6	1.215,0	92	12
67	Zidovje staro	50,0	100,0	145,0	116,8	1.217,5	16	90
68	Zidovje staro	50,0	100,0	145,0	564,8	1.217,5	90	20

Wall : 4

3D Nodes

Node	X [cm]	Y [cm]	Z [cm]	Level
1	71,2	121,0	0,0	0
13	93,3	-1.353,7	0,0	0
2	71,2	121,0	410,0	1
14	93,3	-1.353,7	410,0	1
3	71,2	121,0	880,0	2
15	93,3	-1.353,7	880,0	2
4	71,2	121,0	1.290,0	3
16	93,3	-1.353,7	1.290,0	3

2D Nodes

Node	Local X [cm]	Z [cm]	Level
93	737,4	0,0	0
94	737,4	410,0	1
95	737,4	880,0	2

Pier macroelements

No.	Material	Thickness [cm]	Basis [cm]	Height [cm]	X centre of mass [cm]	Z centre of mass [cm]	Top node	Bottom node
94	Zidovje staro	55,0	1.474,9	410,0	737,4	205,0	93	94
95	Zidovje staro	55,0	1.474,9	470,0	737,4	645,0	94	95
96	Zidovje staro	55,0	833,5	292,5	416,8	1.076,8	95	4
97	Zidovje staro	55,0	526,3	292,5	1.211,7	1.076,8	15	16

Spandrel beam macroelements

No.	Material	Thickness [cm]	Basis [cm]	Height [cm]	X centre of mass [cm]	Z centre of mass [cm]	Left node	Right node
93	Zidovje staro	55,0	115,0	145,0	891,0	1.217,5	4	16

Wall : 5

3D Nodes

Node	X [cm]	Y [cm]	Z [cm]	Level
17	774,0	-1.361,3	0,0	0
53	774,0	-845,6	0,0	0
41	774,0	-642,8	0,0	0
49	774,0	-301,1	0,0	0
21	774,0	34,7	0,0	0
18	774,0	-1.361,3	410,0	1
54	774,0	-845,6	410,0	1
42	774,0	-642,8	410,0	1
50	774,0	-301,1	410,0	1
22	774,0	34,7	410,0	1
19	774,0	-1.361,3	880,0	2
55	774,0	-845,6	880,0	2
43	774,0	-642,8	880,0	2
23	774,0	34,7	880,0	2
20	774,0	-1.361,3	1.290,0	3
56	774,0	-845,6	1.290,0	3
44	774,0	-642,8	1.290,0	3
24	774,0	34,7	1.290,0	3

2D Nodes

Node	Local X [cm]	Z [cm]	Level
96	257,9	0,0	0
97	257,9	410,0	1
98	257,9	880,0	2
99	257,9	1.290,0	3

Pier macroelements

No.	Material	Thickness [cm]	Basis [cm]	Height [cm]	X centre of mass [cm]	Z centre of mass [cm]	Top node	Bottom node
104	Zidovje staro	55,0	435,8	345,3	936,4	172,7	49	50
105	Zidovje staro	55,0	121,7	345,3	1.335,1	172,7	21	22
101	Zidovje staro	55,0	515,7	410,0	257,9	205,0	96	97
106	Zidovje staro	55,0	435,8	389,7	936,4	604,9	50	43
107	Zidovje staro	55,0	121,7	389,7	1.335,1	604,9	22	23
102	Zidovje staro	55,0	515,7	470,0	257,9	645,0	97	98
108	Zidovje staro	55,0	435,8	342,3	936,4	1.051,1	43	44
109	Zidovje staro	55,0	121,7	342,3	1.335,1	1.051,1	23	24
103	Zidovje staro	55,0	515,7	410,0	257,9	1.085,0	98	99

Spandrel beam macroelements

No.	Material	Thickness [cm]	Basis [cm]	Height [cm]	X centre of mass [cm]	Z centre of mass [cm]	Left node	Right node
98	Zidovje staro	55,0	120,0	180,0	1.214,3	320,0	50	22
99	Zidovje staro	55,0	120,0	260,0	1.214,3	750,0	43	23
100	Zidovje staro	55,0	120,0	200,0	1.214,3	1.190,0	44	24

Wall : 6

3D Nodes

Node	X [cm]	Y [cm]	Z [cm]	Level
25	1.108,0	-1.365,0	0,0	0
29	1.108,0	-870,0	0,0	0
26	1.108,0	-1.365,0	410,0	1
30	1.108,0	-870,0	410,0	1
27	1.108,0	-1.365,0	880,0	2
31	1.108,0	-870,0	880,0	2
28	1.108,0	-1.365,0	1.290,0	3
32	1.108,0	-870,0	1.290,0	3

2D Nodes

Node	Local X [cm]	Z [cm]	Level
100	247,5	410,0	1
101	247,5	880,0	2
102	247,5	1.290,0	3

Pier macroelements

No.	Material	Thickness [cm]	Basis [cm]	Height [cm]	X centre of mass [cm]	Z centre of mass [cm]	Top node	Bottom node
112	Zidovje novo	30,0	190,3	343,7	95,1	171,8	25	26
113	Zidovje novo	30,0	219,8	343,7	385,1	171,8	29	30
110	Zidovje novo	30,0	495,0	470,0	247,5	645,0	100	101
111	Zidovje novo	30,0	495,0	410,0	247,5	1.085,0	101	102

Wall : 7

3D Nodes

Node	X [cm]	Y [cm]	Z [cm]	Level
33	1.420,3	-695,3	0,0	0
51	1.439,5	-360,4	0,0	0
37	1.457,3	-49,3	0,0	0
34	1.420,3	-695,3	410,0	1
52	1.439,5	-360,4	410,0	1
38	1.457,3	-49,3	410,0	1
35	1.420,3	-695,3	880,0	2
39	1.457,3	-49,3	880,0	2
36	1.420,3	-695,3	1.290,0	3
40	1.457,3	-49,3	1.290,0	3

Pier macroelements

No.	Material	Thickness [cm]	Basis [cm]	Height [cm]	X centre of mass [cm]	Z centre of mass [cm]	Top node	Bottom node
116	Zidovje staro	55,0	647,1	410,0	323,6	205,0	51	52
117	Zidovje staro	55,0	420,0	389,7	210,0	604,9	52	35
118	Zidovje staro	55,0	112,2	389,7	591,1	604,9	38	39
119	Zidovje staro	50,0	420,0	342,3	210,0	1.051,1	35	36
120	Zidovje staro	50,0	112,2	342,3	591,1	1.051,1	39	40

Spandrel beam macroelements

No.	Material	Thickness [cm]	Basis [cm]	Height [cm]	X centre of mass [cm]	Z centre of mass [cm]	Left node	Right node
114	Zidovje staro	55,0	115,0	260,0	477,5	750,0	35	39
115	Zidovje staro	50,0	115,0	200,0	477,5	1.190,0	36	40

Wall : 8

3D Nodes

Node	X [cm]	Y [cm]	Z [cm]	Level
41	774,0	-642,8	0,0	0
33	1.420,3	-695,3	0,0	0
45	1.750,9	-722,2	0,0	0
42	774,0	-642,8	410,0	1
34	1.420,3	-695,3	410,0	1
46	1.750,9	-722,2	410,0	1
43	774,0	-642,8	880,0	2
35	1.420,3	-695,3	880,0	2
47	1.750,9	-722,2	880,0	2
44	774,0	-642,8	1.290,0	3
36	1.420,3	-695,3	1.290,0	3
48	1.750,9	-722,2	1.290,0	3

Pier macroelements

No.	Material	Thickness [cm]	Basis [cm]	Height [cm]	X centre of mass [cm]	Z centre of mass [cm]	Top node	Bottom node
122	Zidovje staro	55,0	518,1	342,3	259,0	171,1	41	42
123	Zidovje staro	55,0	376,1	342,3	792,2	171,1	33	34
124	Zidovje staro	55,0	774,4	389,4	387,2	604,7	34	35
125	Zidovje staro	55,0	114,8	389,4	922,8	604,7	46	47
126	Zidovje staro	55,0	427,7	341,1	213,9	1.050,6	43	44
127	Zidovje staro	55,0	452,5	341,1	754,0	1.050,6	35	36

Spandrel beam macroelements

No.	Material	Thickness [cm]	Basis [cm]	Height [cm]	X centre of mass [cm]	Z centre of mass [cm]	Left node	Right node
121	Zidovje staro	55,0	100,0	210,0	477,7	1.185,0	44	36

Wall : 9

3D Nodes

Node	X [cm]	Y [cm]	Z [cm]	Level
49	774,0	-301,1	0,0	0
51	1.439,5	-360,4	0,0	0
50	774,0	-301,1	410,0	1
52	1.439,5	-360,4	410,0	1

2D Nodes

Node	Local X [cm]	Z [cm]	Level
103	330,8	0,0	0
104	330,8	410,0	1

Pier macroelements

No.	Material	Thickness [cm]	Basis [cm]	Height [cm]	X centre of mass [cm]	Z centre of mass [cm]	Top node	Bottom node
131	Zidovje staro	20,0	403,4	200,0	330,8	100,0	103	104
130	Zidovje staro	20,0	41,1	341,1	20,5	170,6	49	50
132	Zidovje staro	20,0	47,7	341,1	644,3	170,6	51	52

Spandrel beam macroelements

No.	Material	Thickness [cm]	Basis [cm]	Height [cm]	X centre of mass [cm]	Z centre of mass [cm]	Left node	Right node
128	Zidovje staro	20,0	88,0	210,0	85,1	305,0	50	104
129	Zidovje staro	20,0	88,0	210,0	576,5	305,0	104	52

Wall : 10

3D Nodes

Node	X [cm]	Y [cm]	Z [cm]	Level
53	774,0	-845,6	0,0	0
29	1.108,0	-870,0	0,0	0
57	1.740,6	-916,2	0,0	0
54	774,0	-845,6	410,0	1
30	1.108,0	-870,0	410,0	1
58	1.740,6	-916,2	410,0	1
55	774,0	-845,6	880,0	2
31	1.108,0	-870,0	880,0	2
59	1.740,6	-916,2	880,0	2
56	774,0	-845,6	1.290,0	3
32	1.108,0	-870,0	1.290,0	3
60	1.740,6	-916,2	1.290,0	3

2D Nodes

Node	Local X [cm]	Z [cm]	Level
105	646,3	880,0	2
106	571,4	1.290,0	3

Pier macroelements

No.	Material	Thickness [cm]	Basis [cm]	Height [cm]	X centre of mass [cm]	Z centre of mass [cm]	Top node	Bottom node
139	Zidovje novo	30,0	557,9	275,0	436,8	137,5	29	30
138	Zidovje novo	30,0	29,1	349,4	14,5	174,7	53	54
140	Zidovje novo	30,0	102,4	363,5	918,0	181,8	57	58
142	Zidovje novo	30,0	139,0	240,0	646,3	530,0	30	105
141	Zidovje novo	30,0	90,9	392,3	380,4	606,1	30	31
143	Zidovje novo	30,0	102,4	392,3	918,0	606,1	58	59
145	Zidovje novo	30,0	91,2	200,0	571,4	980,0	105	106

144	Zidovje novo	30,0	90,9	341,1	380,4	1.050,6	31	32
146	Zidovje novo	30,0	272,3	341,1	833,1	1.050,6	59	60

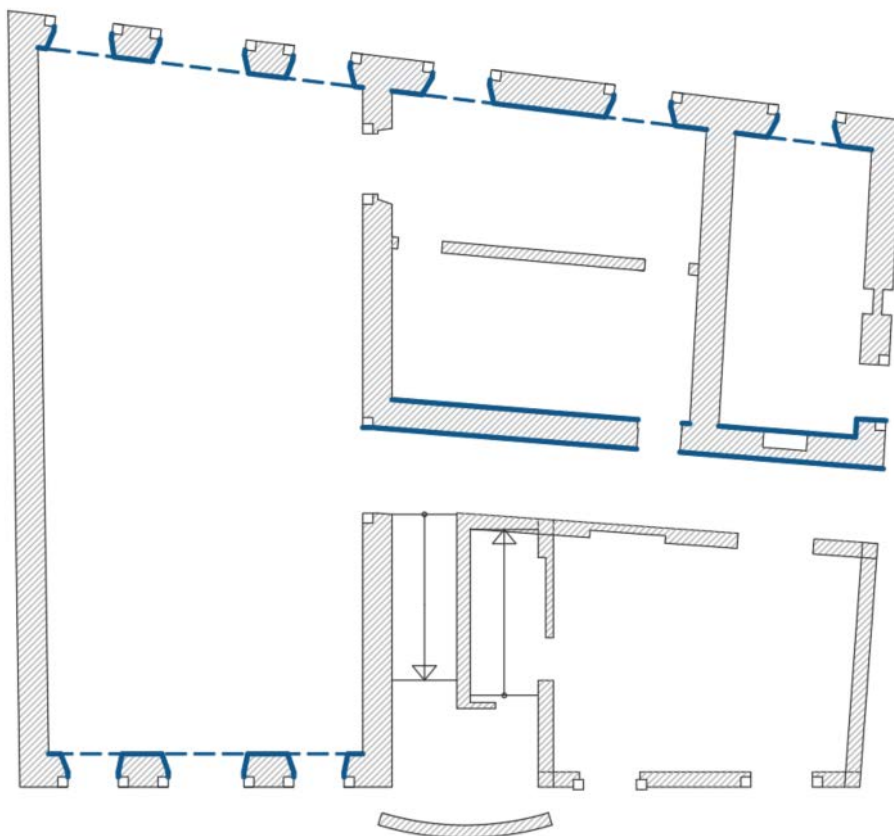
Spandrel beam macroelements

No.	Material	Thickness [cm]	Basis [cm]	Height [cm]	X centre of mass [cm]	Z centre of mass [cm]	Left node	Right node
133	Zidovje novo	30,0	128,8	160,0	93,5	330,0	54	30
134	Zidovje novo	30,0	151,0	110,0	791,3	355,0	30	58
135	Zidovje novo	30,0	122,8	230,0	487,2	765,0	31	105
136	Zidovje novo	30,0	100,0	210,0	475,8	1.185,0	32	106
137	Zidovje novo	30,0	80,0	210,0	657,0	1.185,0	106	60

(*) Roof elements

Utrjeno stanje:

- Sistematicno injektiranje kamnitega zidovja
- Izvedba t.i. sovprežnega estriha deb. 5cm na lesene stropnike (dodatek k lastni/stalni obtežbi je 125kg/m²)
- Zidne vezi (jeklene/karbonske)
- Vgradnja FRCM tankoslojnega ometa (1 sloj) po spodnji shemi



Legenda:

Ojačitve zidovja z notranje strani z uporabo FRCM ometa

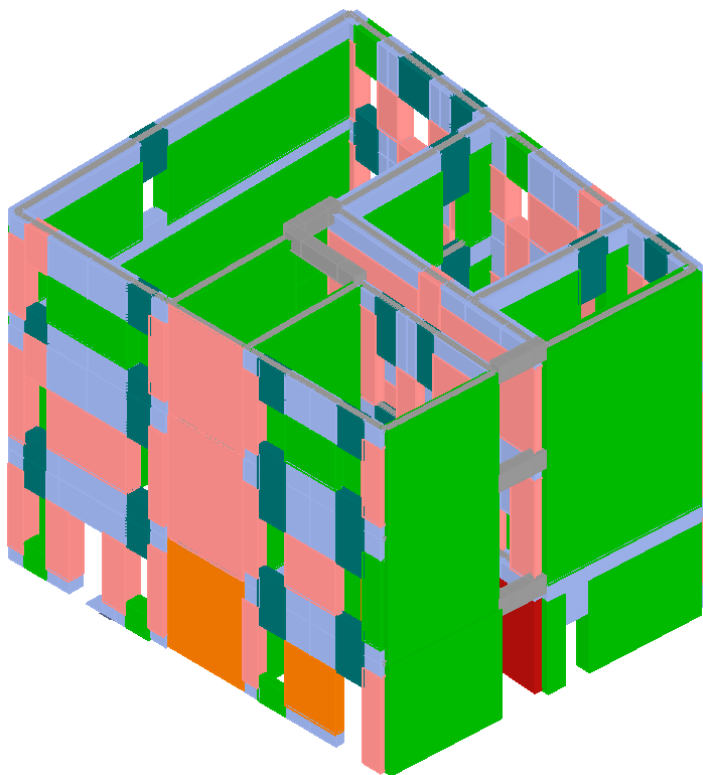
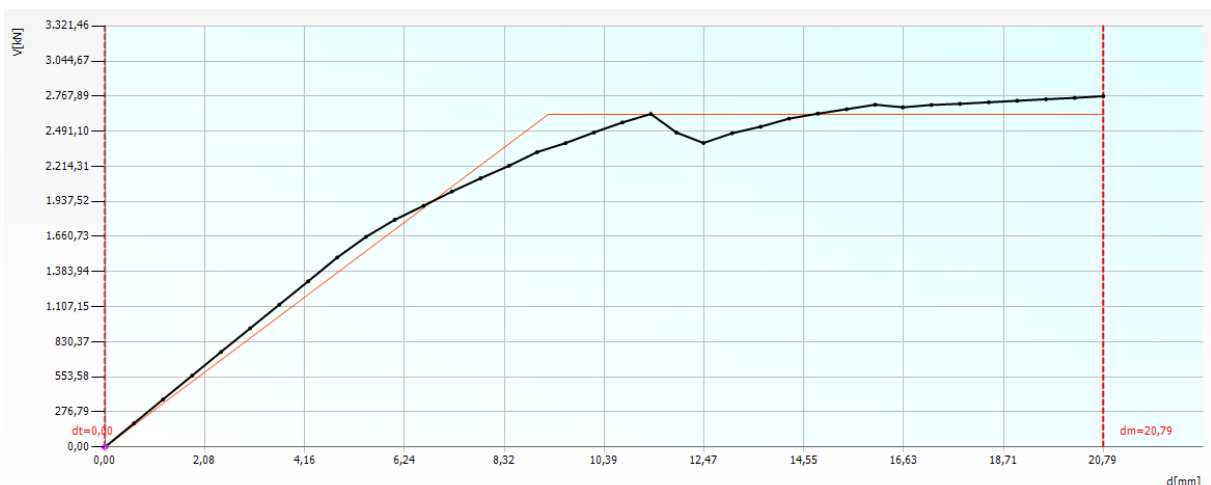
Opomba:

Ojačitve potekajo kontinuirano od temeljev do nivoja ostrešja

MSN: X: 100 %, Y: 100 %

No.	Seism dir.	Seismic load	Ecc. [cm]	dt SD [mm]	dm SD [mm]	SD Ver.	Sd DL [mm]	d*y DL [mm]	α SD	α DL
1	+X	Uniform	0,0	11,67	13,37	Yes	4,25	6,15	1,070	1,445
2	+X	Static forces	0,0	14,96	15,59	Yes	5,32	7,19	1,023	1,351
3	-X	Uniform	0,0	12,31	13,86	Yes	4,36	6,09	1,063	1,399
4	-X	Static forces	0,0	15,62	17,85	Yes	5,50	7,26	1,080	1,321
5	+Y	Uniform	0,0	11,14	15,64	Yes	5,08	11,98	1,390	2,359
6	+Y	Static forces	0,0	13,37	18,29	Yes	6,10	12,40	1,271	2,034
7	-Y	Uniform	0,0	10,90	15,82	Yes	4,97	11,67	1,406	2,349
8	-Y	Static forces	0,0	13,12	22,58	Yes	5,98	12,46	1,447	2,083
9	+X	Uniform	74,6	11,86	13,29	Yes	4,25	6,03	1,059	1,422
10	+X	Uniform	-74,6	11,45	13,01	Yes	4,22	6,15	1,064	1,460
11	+X	Static forces	74,6	15,26	15,94	Yes	5,41	7,24	1,025	1,339
12	+X	Static forces	-74,6	14,66	16,14	Yes	5,23	7,12	1,055	1,361
13	-X	Uniform	74,6	12,53	13,79	Yes	4,36	6,00	1,051	1,376
14	-X	Uniform	-74,6	12,21	13,93	Yes	4,29	5,98	1,070	1,394
15	-X	Static forces	74,6	15,88	18,16	Yes	5,48	7,06	1,082	1,289
16	-X	Static forces	-74,6	15,48	18,42	Yes	5,50	7,35	1,106	1,338
17	+Y	Uniform	85,7	11,41	15,11	Yes	5,20	11,64	1,316	2,238
18	+Y	Uniform	-85,7	10,84	16,03	Yes	4,94	12,10	1,452	2,449
19	+Y	Static forces	85,7	13,70	19,04	Yes	6,24	12,26	1,260	1,963
20	+Y	Static forces	-85,7	13,01	17,70	Yes	5,93	12,19	1,274	2,056
21	-Y	Uniform	85,7	11,03	14,93	Yes	5,03	10,90	1,304	2,169
22	-Y	Uniform	-85,7	10,64	15,33	Yes	4,85	11,88	1,436	2,449
23	-Y	Static forces	85,7	13,36	21,35	Yes	6,09	11,84	1,348	1,943
24	-Y	Static forces	-85,7	12,80	20,69	Yes	5,84	12,53	1,418	2,147

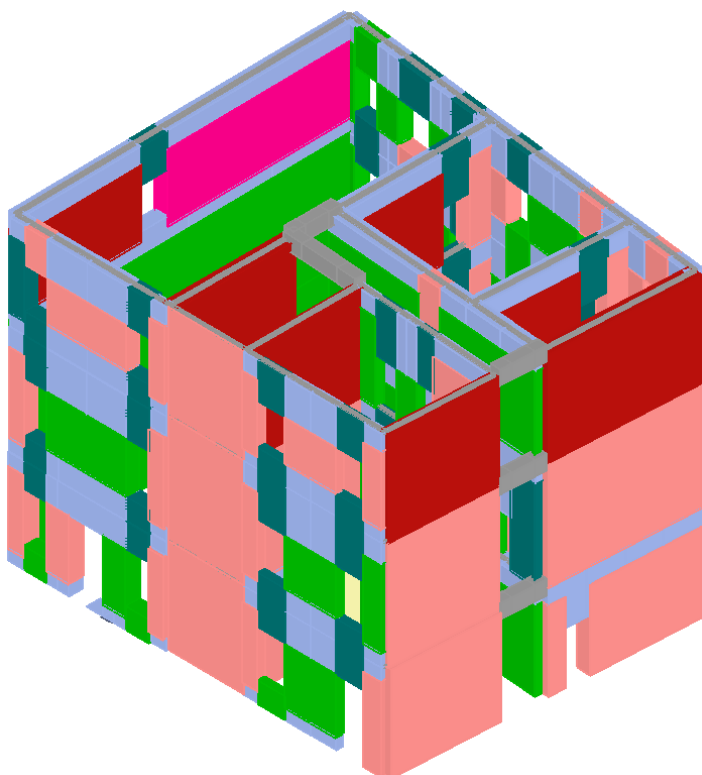
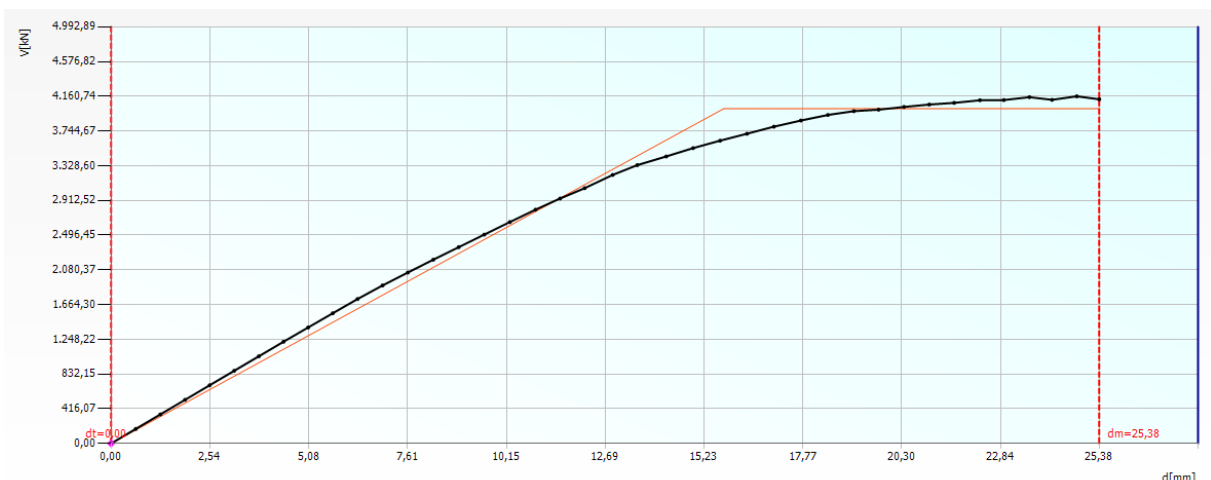
Potisna krivulja za merodajen primer v smeri X:



Legenda (poškodovanost zidovja):

[Green]	Undamaged
[Dark Green]	Plasticity incipient
[Yellow]	Shear damage
[Orange]	Incipient shear failure
[Dark Orange]	Shear failure
[Red]	Incipient bending failure
[Dark Red]	Bending failure
[Light Red]	Bending damage

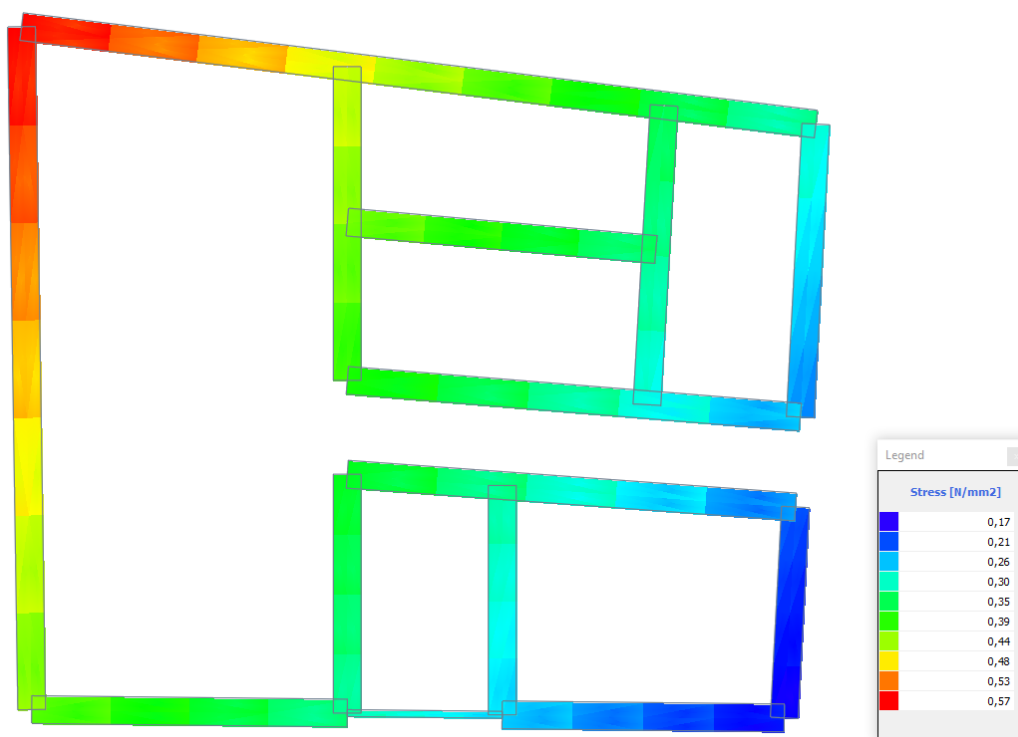
Potisna krivulja za merodajen primer v smeri Y:



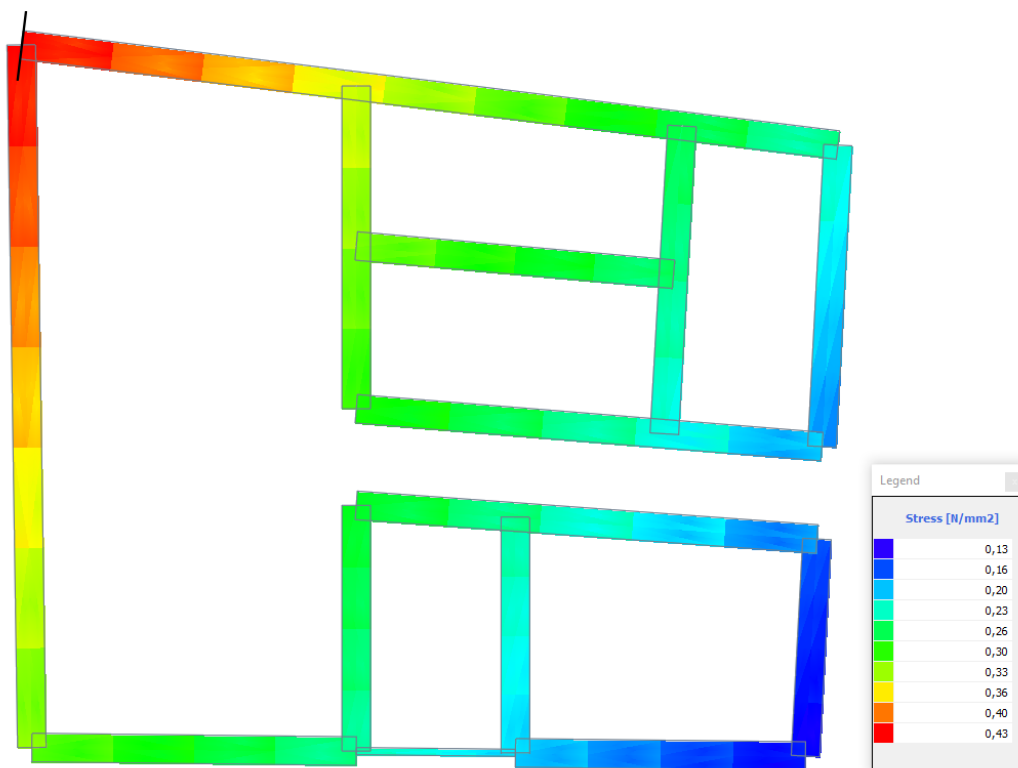
Legenda (poškodovanost zidovja):

Green	Undamaged
Dark Green	Plasticity incipient
Yellow	Shear damage
Orange	Incipient shear failure
Red	Shear failure
Light Red	Incipient bending failure
Dark Red	Bending failure
Lightest Red	Bending damage

Napetosti (MPa) pod pasovnimi temelji, kombinacija MSN



Napetosti (MPa) pod pasovnimi temelji, kombinacija MSU



Rezultati analize lesenih medetažnih konstrukcij, obstoječe stanje in ojačitev – sovprežne konstrukcije

Objekt, element:

Palata Gravisi Buttorai, strop na lokaciji LS1, med P in 1. nad.

Kontrola vibracij leseni stropov po EC5:

Obranavan je lesen strop, ki ga sestavljajo stropniki in nad njimi lesena plošča (mehansko pritrditev deske 25 mm)

Geometrija:	
b (širina stropnika)	0,170 m
h (višina stropnika)	0,205 m
d (debelina lesa, Plošče/obitelja)	0,025 m
L (razpon)	6,19 m
e (razd. med stropniki)	0,305 m
B (širina stropnično pravokotno na stropnike)	14,25 m
n (št. stropnikov)	38
I (A stropnik)	0,000122 m ⁴
I (stropnikov/m)	0,000326 m ⁴ /m
I (plošča oz. desek /m)	1,3E-06 m ⁴ /m
I (' nosilca' plošča)	12254,89 cm ⁴
I (cela plošča) (cm ⁴ /m)	31830,58 cm ⁴ /m

... polje za parametrično spremembo koljčin
 (vsota vtrajnostnih momentov veene plošči in stropnikov - en 'nosilec')
 ... izračun na tekoči meter širine plošče (B)

Materialne karakteristike izbranega razreda lesa (C24):

razred lesa - stropnik	C24 (EN 338)
f _{m,k}	2,4 kN/cm ²
f _{c,0,k}	2,1 kN/cm ²
f _{v,k}	0,4 kN/cm ²
E _{0,main}	1100 kN/cm ²
p _k	350 kg/m ³
(Obitev:)	420 kg/m ³
E	1100 kN/cm ²
p _{mean}	0 kg/m ³

... težo obitevja predhodno zoper

Analiza obtežbe:

g ₁ (dodatak obt.) - obloge, tlak, estrih, itd.)	0,94 kN/m ²
g ₂ (lasta teža pl. - nosilna konstr.)	0,39 kN/m ²
g (linijska stolna obtežba)	0,51 kN/m
p ₀ (konstantna spremenljiva obtežba)	4,00 kN/m ²
p (linijska konstr./spremenljiva obtežba)	1,54 kN/m

Izračun notranjih statičnih kolilčin:

Upogibni momenti:	
M _{V,g,max}	2,45 kNm
M _{V,p,max}	7,38 kNm
Predne sile:	
V _{d,p,max}	1,59 kN
V _{d,p,max}	4,77 kN
V _{d,d,mas}	9,29 kN

$$f_{m,k} = 1,207 \text{ kN/cm}^2$$

$$f_{v,k} = 0,032 \text{ kN/cm}^2$$

Kontrola deformacija:

Trenutno (začetna) deformacija:	2,834 cm	< L/300 =	2,063 cm	NI OK
V _{inst}				$\frac{M_{\text{res},p} \cdot L^2}{9,6 \cdot E \cdot J_{y,\text{ef}}}$
Izračunano se kontakto deformacija ($w_{\text{f},0}$):				
V _{g,inst}	0,707 cm			
Vp,inst	2,127 cm			
iz Pr. P1-6 povzamemo def. faktor:				
k _{def}	0,8			
Razilčno trajanje obri. upoštevamo s faktorjem:				
Ψ _{2,1} (stabil. obri.)	1,0			
Ψ _{2,2} (konstanta obri.)	0,3			
Končna deformacija (upoštevajoč 5-10%):				
W _{fin}	3,910 cm	< L/150 =	4,127 cm	OK

Upr. i (stabil. obri.):

Upr. (konstanta obri.)

Končna deformacija (upoštevajoč 5-10%):

W_{fin}

Pri. 5-7. Dopusne vrednosti upogibov (W_{fin}) za nosilce

prostoležči nosilec	W _{fin,lin}	W _{fin,linlin}	W _{fin,lin}
	L/300 do L/500	L/250 do L/350	L/150 do L/300

Izračun lastne frekvence (ECS):

f₁ = $\frac{\pi}{2 \cdot L} \sqrt{\frac{(E \cdot I)_L}{m}}$

... prejeli po ECS

... stop je obrežen z lastno ob. pri izračunu prve lastne frekvence (ECS)

(E): 359,643 Nm²/m

(E)_b: 14322,92 Nm²/m

(E)_{ef}: 1384322 Nm²/m

Masa stropne konstrukcije s stalno obrežbo:

m = 135,6 kg/m²

Če je izpolnjen osnovni pogoj glede lastne frekvence, lahko preverimo še ustreznost glede vibracij po pogojih (5-98) in (5-99):

Izračun hitrosti odziva na vzbušjanje 1Ns:

v = $\frac{4 \cdot (0,4 + 0,6 \cdot n_{k_0})}{mb^2 + 200}$

Št. prvih nihajnih oblik z lastno frekvenco do 40Hz:

n _{k0}	22,27	$\sqrt{\left(\frac{(E_0)}{f_1}\right)^2 - 1} \cdot \left(\frac{b}{l}\right)^4 \cdot \frac{(E_0)}{(E_0)_b}$
F	1,00 kN	*prepostavka, prirodnik: F=1

a = $\frac{w}{F} = \frac{F \cdot l^3}{24 \cdot (E) L_b} =$

SLABŠA UPORABNOST

Glede na podajnost "a" iz Sl. 5-32 odditamo parameter "b", ter preverimo pogoj (5-99):

b = $\frac{72}{72 \dots \text{odditamo iz grafika}}$

ξ (modalno razmerje dušenja)

0,01	(za stropove brez plavajočega estriha)
0,02	(za primer strop iz lepenih tranzov, mehanistko povezano ploščo in plavajočim estrihom)
0,03	(za primer strop iz leseni tranzov, mehanistko povezano ploščo in plavajočim estrihom)

Pogoja ustreznosti vibracij:

$\frac{w}{F} \leq a \quad [\text{mm}/\text{kN}],$ (5-98)

$v \leq b^{(1-\xi-1)} \quad [m/(Ns^2)],$ (5-99)

1 ... boljša uporabnost
2 ... slabša uporabnost

Sl. 5-32. Grafikom sestavljnosti koeficientov av in b

Izboljšena morata biti oba pogoja glede ustreznosti vibracij.

Objekt, element:

Palata Gravisi Buttorai, strop na lokaciji L52, med P in 1. nad.

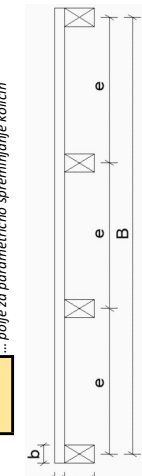
Kontrola vibracij leseni stropov po EC5:

Obranavan je lesen strop, ki ga sestavljajo stropniki in nad njimi lesena plošča (mehansko pritirene deske 25 mm)

Geometrija:	
b (širina stropnika)	0,153 m
h (višina stropnika)	0,205 m
d (debelina lesa, Plošče/obitelja)	0,025 m
L (razpon)	6,12 m
e (razd. med stropniki)	0,425 m
B (širina stropu) - pravokotno na stropnike	6,38 m
n (št. stropnikov)	16
I (1. stropnik)	0,00011 m4
I (stropnikov/m)	0,000276 m4/m
I (plošča oz. desek /m)	1,3E-06 m4/m
I (' nosilca' plošče)	11039,62 cm4
I (cela plošča) (cm4/m)	25975,58 cm4/m

OK

... polje za parametrično spremembo koljčin



(vzeta vzdolnostni momentmom velenje plošč in stropnikov - en 'nosilci')

... izračun na tekoči meter širine plošče (B)

Materialne karakteristike izbranega razreda lesa (C24):

razred lesa - stropnik	C24 (EN 338)
f _{m,k}	2,4 kN/cm ²
f _{c,0,k}	2,1 kN/cm ²
f _{v,k}	0,4 kN/cm ²
E _{0,main}	1100 kN/cm ²
p _k	350 kg/m ³
(Obitev:)	420 kg/m ³
E	1100 kN/cm ²
p _{mean}	0 kg/m ³

... težo obitev/predmetna zgoraj

Analiza obtežbe:

g ₁ (dodatak obt.) - obloge, tlak, estrih, itd.)	1,22 kN/m ²
g ₂ (lasta teža pl. - nosilna konstr.)	0,33 kN/m ²
g (linijska stalna obtežba)	0,66 kN/m
p ₀ (konstantna spremenljiva obtežba)	3,00 kN/m ²
p (linijska konstr./spremenljiva obtežba)	1,28 kN/m

Izračun notranjih statičnih koljčin:

Upogibni momenti:	
M _{fg,max}	3,09 kNm
M _{fp,max}	5,97 kNm
Predne sile:	
V _{fg,max}	2,02 kN
V _{fp,max}	3,90 kN
V _{fd,max}	8,57 kN

$$f_{m,k} = 1,224 \text{ kN/cm}^2$$

$$f_{v,k} = 0,033 \text{ kN/cm}^2$$

Kontrola deformacij:

Trenutno (začetna) deformacija:	$2,728 \text{ cm}$	$< L/300 =$	Ni OK
V _{inst}			$\frac{M_{\text{ys},p} \cdot L^2}{9,6 \cdot E_l \cdot j_{\text{ef}}}$
Izračunano se kontakto deformacija (w_{inj}):	0,930 cm		
V _{p,inst}	1,799 cm		
iz Pr. P1-6 povzamemo def. faktor:			
k _{def}	0,8		
Razilčno trajanje obri. upoštevamo s faktorjem:			
ψ _{2,i} (stalna obr.)	1,0		
ψ _{2,j} (konstanta obr.)	0,3		
Končna deformacija (upoštevajoč 5-10%):			
W _{fin}	$3,903 \text{ cm}$	$< L/150 =$	OK
		\dots priznanih novih pogojev 1/250	

Kontrola vibracij:

Izračun prve lastne frekvence (aprossimativna oblika):	5,8 Hz	$> 8 \text{ Hz}$	Ni OK
f ₁			predpis po ECS
Izračunana togata stoprocentna pos širine energo metra:			$f_1 = \frac{\pi}{2 \cdot L} \sqrt{\frac{E \cdot I}{m}}$
[E] :	304847 Nm ² /m		... stop je obrežen z lastno ob. pri izračunu prve lastne frekvence (ECS)
[E] _b	14322,92 Nm ² /m		
EI _{b,ef}	1294910 Nm ³ /m		... ekvivalentna toplotna plastična smer, za pas Širine energo metra
Masa stopne konstrukcije s stalno obrežbo:			
m	158,1 kg/m ²		

Če je izpolnjen osnovni pogoj glede lastne frekvence, lahko preverimo še ustreznost glede vibracij po pogojih (5-98) in (5-99):

Izračun hitrosti odziva na vzbušjanje 1Ns:	0,0042 m/Ns2	$v = \frac{4 \cdot (0,4 + 0,6 \cdot n_{\text{inj}})}{mbf + 200}$
Št. prvih nihajnih oblik z lastno frekvenco do 40Hz:	10,37	$n_{\text{inj}} = \sqrt{\left(\frac{f_{\text{inj}}}{f_{\text{1}}}\right)^2 - 1} \quad \left(\frac{E}{E_l}\right)_{\text{b}}$

$$F \cdot a = \frac{w}{f} = \frac{F \cdot L^3}{24 \cdot (E_l)_{\text{b}}} = 0,00313 \text{ m/kN}$$

SLABŠA UPORABNOST

w...največji navpični pomik pri koncentrirani statični obremenitvi F
a faktor - kazalec uporabnosti

Glede na podobnost "a" iz Sl. 5-32 odditamo parameter "b", ter preverimo pogoj (5-99):

$$\mathbf{b} = \frac{f_1 \cdot (\xi - 1)}{F}$$

b3 ... Odditamo iz grafika

$$\mathbf{b} = \frac{0,032732 \text{ m/Ns2}}{0,0042 \text{ m/Ns2}} > 0,0042 \text{ m/Ns2}$$

ξ (modalno razmerje dušenja)	0,01	(za stopove trez plavajočega estrika)
	0,02	(za primer stropu iz lepenih tranzov, mehanično povezano ploščo in plavajočim estrikom)
	0,03	(za primer stropu iz lesnih tranzov, mehanično povezano ploščo in plavajočim estrikom)



Pogoj ustreznosti vibracijskih:

$$\frac{v}{F} \leq a \quad [\text{mm}/\text{kN}],$$

$$v \leq b^{(1/\xi-1)} \quad [m/(Ns^2)].$$



Sl. 5-32. Grafikon sestavljenosti koeficientov a in b

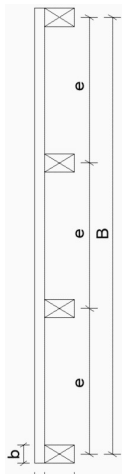
Izboljšena morata biti oba pogojia glede ustreznosti vibracijskih.

Objekt, element:

Palata Gravisi Buttorai, strop na lokaciji L33, med P in 1. nad.

Kontrola vibracij leseni stropov po EC5:

Obranavan je lesen strop, ki ga sestavljajo stropniki in nad njimi lesena plošča (mehansko pritegne deske 25 mm)

Geometrija:

... polje za parametrično spremembo koljčin

Materialne karakteristike izbranega razreda lesa (C24):

razred lesa - stropnik	C24 (EN 338)
$f_{m,k}$	2,4 kN/cm²
$f_{c,0,k}$	2,1 kN/cm²
$f_{v,k}$	0,4 kN/cm²
$E_{0,main}$	1100 kN/cm²
ρ_k	350 kg/m³
(Obitev:)	420 kg/m³
E	1100 kN/cm²
ρ_{mean}	0 kg/m³

... težo obitev/predstavno zanjeto

Analiza obtežbe:

g_1 (dodatak obt. /-obloge, tlak, estrih, itd.)	1,16 kN/m²
g_2 (lasta teža pl. - nosilna konstr.)	0,25 kN/m² (upoštevamo težo stropnikov)
g_3 (linijска stalna obtežba)	0,62 kN/m (običajno vrednost 2,0 kN/m²)
p_0 (konstantna spremenljiva obtežba)	3,00 kN/m²
p_1 (linijска konstr./spremenljiva obtežba)	1,32 kN/m

Izračun notranjih statičnih kolilčin:		
Ispogibni momenti:		
$M_{Vg,max}$	0,56 kNm	$f_{m,k} = 0,321 \text{ kN/cm}^2$
$M_{Vp,max}$	1,20 kNm	
Predne sile:		
$V_{d,p,max}$	0,33 kN	
$V_{d,p,max}$	1,78 kN	$f_{v,k} = 0,019 \text{ kN/cm}^2$
$V_{d,d,max}$	3,80 kN	

Kontrola deformacij:

Trenutna (začetna) deformacija:	$0,141 \text{ cm}$	$< L/300 =$	OK
V _{inst}	0,045 cm		$\frac{M_{y,s,p} \cdot L^2}{9,6 \cdot E I_{y,d}}$
V _{g,inst}	0,096 cm		
iz Pr. P1-6 povzamemo def. faktor:			
koeff	0,8		
Razilčno trajanje obr. upoštevamo s faktorjem:			
Ψ ₁ (stalna obr.)	1,0		
Ψ ₂ (konstanta obr.)	0,3		
Končna deformacija (upoštevajoč 5-10%):			
W _{lin}	$0,200 \text{ cm}$	$< L/150 =$	\dots priračnik novajo pogoj L/250 OK
	$0,900 \text{ cm}$		$W_{fin} = W_{k,inst} \cdot (1 + \Psi_{2,p} \cdot k_{eff}) + W_{p,inst} \cdot (1 + \Psi_{2,p} \cdot k_{eff})$

Kontrola vibracij:

Izračun prve lastne frekvence (aprosimativna oblika):	$26,4 \text{ Hz}$	$> 8 \text{ Hz}$	OK
f ₁			$f_1 = \frac{\pi}{2 \cdot L} \sqrt{\frac{E \cdot I}{m}}$
Upogibana točkota stopro na pas širine energo metra:			... prepis po ECS
[E] (Nm)	2157180 Nm/2/m		... stop je obrežen z lastno obr. pri izračunu prve lastne frekvence (ECS)
[E] (N)	14322,92 Nm/2/m		
EI _{y,ef}	949159,2 Nm ³ /m		... ekvivalentna točkota stopšče v vzdušni smeri, za pas širine energo metra
Masa stopne konstrukcije s stalno obrežbo:			
m	143,3 kg/m ²		

Če je izpolnjen osnovni pogoj glede lastne frekvence, lahko preverimo še ustreznost glede vibracij po pogojih (5-98) in (5-99):

Izračun hitrosti odziva na vzbušjanje 1Ns:	0,0085 m/Ns2	$v = \frac{4 \cdot (0,4 + 0,6 \cdot n_{k_0})}{mbf + 200}$
Št. privih nihajnih oblik z lastno frekvenco do 40Hz:	8,52	$n_{k_0} = \sqrt{\left(\frac{(b)}{f_1}\right)^2 - 1} \quad \left(\frac{E I}{m}\right)_k$

F₁₀ (modalno razmerje dušenja)

F (modalno razmerje dušenja)

$$a = \frac{w}{f} = \frac{F \cdot L^3}{24 \cdot (E) L} = 0,00038 \text{ m/kN}$$

$$b = \frac{w}{f} = \frac{F \cdot L^3}{24 \cdot (E) L} = 0,00038 \text{ mm/kN}$$

Dobra uporabnost

Glede na podajnost "a" iz Sl. 5-32 odditamo parameter "b", ter preverimo pogoj (5-99):

$$b = \frac{150}{f} \dots \text{odditamo iz grafika}$$

b =	$0,354801 \text{ m/Ns2}$	$>$	$0,0085 \text{ m/Ns2}$	OK
ξ (modalno razmerje dušenja)	0,01	(za stopove brez plavajočega estriha)		
F (modalno razmerje dušenja)	0,02	(za primer stopni iz lepenih tramov, mehanistično povezano ploščo in plavajočim estrihom)		
	0,03	(za primer stopni iz lesnih tramov, mehanistično povezano ploščo in plavajočim estrihom)		



Pogoja ustreznosti vibracij:

$$\frac{w}{F} \leq a \quad [\text{mm}/\text{kN}], \quad (5-98)$$

$$v \leq b^{(1-\xi)} \quad [m/(Ns^2)], \quad (5-99)$$

Sl. 5-32. Grafikon sodobnosti koeficientov a in b

Izpolnjena morata biti oba pogoja glede ustreznosti vibracij.

Objekt, element:

Palata Gravisi Buttorai, strop na lokaciji L54, med 1. in 2. nad.

Kontrola vibracij leseni stropov po EC5:

Obranavan je lesen strop, ki ga sestavljajo stropniki in nad njimi lesena plošča (mehansko pritegne deske 25 mm)

Geometrija:	
b (širina stropnika)	0,145 m
h (višina stropnika)	0,210 m
d (debelina les. Plošče/obitelja)	0,025 m
L (razpon)	6,33 m
e (razd. med stropniki)	0,455 m
B (širina strop.) - pravokotno na stropnike	14,11 m
n (št. stropnikov)	32
I (A stropnik)	0,000112 m ⁴
I (stropnikov/m)	0,000254 m ⁴ /m
I (plošča oz. desk./m)	1,3E-06 m ⁴ /m
I (' nosilca' plošča)	11249,62 cm ⁴
I (cela plošča) (cm ⁴ /m)	24724,44 cm ⁴ /m

OK

d

h

e

B

(vzeta vzdajnostni momentmom velenje plošči in stropnikov - en 'nosilci')

... izračun na tekoči meter širine plošče (B)

Materialne karakteristike izbranega razreda lesa (C24):

razred lesa - stropnik	C24 (EN 338)
f _{m,k}	2,4 kN/cm ²
f _{c,0,k}	2,1 kN/cm ²
f _{v,k}	0,4 kN/cm ²
E _{0,main}	1100 kN/cm ²
p _k	350 kg/m ³
(Obitev:)	420 kg/m ³
E	1100 kN/cm ²
p _{mean}	0 kg/m ³

...težo obitev/predvodno zgorja

Anализa obtežbe:

g ₁ (dodata na obit.) - obloge, tlak, estrih, itd.)	0,79 kN/m ²
g ₂ (lasta teža pl. - nosilna konstr.)	0,29 kN/m ²
g (linjiska stalna obtežba)	0,49 kN/m
p ₀ (konstantna/spremenljiva obtežba)	3,00 kN/m ²
p (linjiska konstr./spremenljiva obtežba)	1,37 kN/m

Izračun notranjih statičnih kolilin:

Upogibni momenti:		
M _{fg,max}	2,46 kNm	f _{m,k} = 1,274 kN/cm ²
M _{fp,max}	6,84 kNm	
Predne sile:		
V _{fg,max}	1,56 kN	
V _{fp,max}	4,22 kN	f _{v,k} = 0,034 kN/cm ²
V _{fd,max}	8,58 kN	

Kontrola deformacij:

Trenutna (začetna) deformacija:	$3,039 \text{ cm}$	$< L/300 =$	Ni OK	$\frac{M_{\text{ys},p} \cdot L^2}{9,6 \cdot E_l \cdot j_{\text{ef}}}$
Izračunamo se končna deformacija (w_{fin}):				
$y_{\text{fin,inst}}$	0,804 cm			
Vp,inst	2,234 cm			
iz Pr. P1-6 pravzamemo def. faktor:				
koeff	0,8			
Razilčno trajanje obri. upoštevamo s faktorjem:				
ψ_1 i (stalna obr.)	1,0			
ψ_2 (končna obr.)	0,3			
Končna deformacija (upoštevajoč 5-10%):				
w_{fin}	$4,219 \text{ cm}$	$< L/150 =$	OK	$w_{\text{fin}} = w_{\text{ek,ut}} \cdot (1 + \psi_2 \cdot k_{\text{ef}}) + w_{p,\text{out}} \cdot (1 + \psi_2 \cdot k_{\text{ef}})$

Kontrola vibracij:

Izračun prve lastne frekvence (aprossimativna oblika):	6,3 Hz	$> 8 \text{ Hz}$	Ni OK	$f_1 = \frac{\pi}{2 \cdot L} \sqrt{\frac{(E \cdot I)}{m}}$
f1				-prepis po ECS
Izračunava točnost stopro na pas širine energo metra:				... stop je obrežen z lastno ob. pri izračunu prve lastne frekvence (ECS)
(E)l:	2806938 Nm2/m			
(E)l/b:	14322,92 Nm2/m			
EI _{l,ef}	1277166 Nm3/m			
Masa stopne konstrukcije s stalno obrežbo:				
m	110,1 kg/m ²			

Če je izpolnjen osnovni pogoj glede lastne frekvence, lahko preverimo še ustreznost glede vibracij po pogojih (5-98) in (5-99):

Izračun hitrosti odziva na vzbušjanje 1Ns:	0,0052 m/Ns2	$v = \frac{4 \cdot (0,4 + 0,6 \cdot n_{\text{ek}})}{mbf + 200}$	
Št. privih nihajnih oblik z lastno frekvenco do 40Hz:	20,95	$n_{\text{ek}} = \sqrt{\left(\frac{(E)l}{F}\right)^2 - 1} \quad \left(\frac{b}{l}\right)^4 \cdot \frac{(E)l}{F}$	*prepostavka, priravnik: F=1

$$a = \frac{w}{f} = \frac{F \cdot l^3}{24 \cdot (E)l} =$$

$$0,00376 \text{ m/kN} \quad ' \rightarrow' \quad 3,76 \text{ mm/kN}$$

SLABŠA UPORABNOST

Glede na podajnost "a" iz S1. 5-32 odditamo parameter "b", ter preverimo pogoj (5-99):

$$b = \frac{55}{55 - \text{Odtitamo iz grafika}}$$

$b(f, \xi=1) =$	$0,038587 \text{ m/Ns2}$	$>$	$0,0052 \text{ m/Ns2}$	OK
ξ (modalno razmerje dušenja)	0,01	(za stopove trez plavajočega estrika)		
F	0,02	(za primer strop iz lepenih tranzov, mehanško povezano ploščo in plavajočim estrikom)		
	0,03	(za primer strop iz leseni tranzov, mehanško povezano ploščo in plavajočim estrikom)		



Pogojna ustreznost vibracij:

$$\frac{w}{F} \leq a \quad [\text{mm}/\text{kN}],$$

$$v \leq b^{(1/\xi-1)} \quad [m/(Ns^2)].$$



S1. 5-32. Grafikon sestavljen iz dveh krivulj, ki kažejo pogojno ustreznost vibracij.

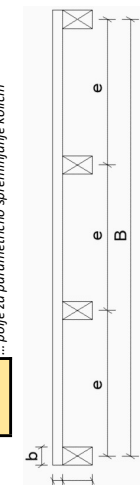
Izboljšena morata biti oba pogojia glede ustreznosti vibracij.

Objekt, element:

Palata Gravisi Buttorai, strop na lokaciji L55, med 2. nad in mansardo

Kontrola vibracij leseni stropov po EC5:

Obnavavan je lesen strop, ki ga sestavlja stropniki in nad njimi lesena plošča (mehansko pritegne deske 25 mm)



OK

Geometrija:

b (širina stropnika)	0,125 m
h (višina stropnika)	0,215 m
d (debelina lesa, Plošča/obitja)	0,025 m
L (razpon)	6,65 m
e (razd. med stropniki)	0,495 m
B (širina stropot) - pravokotno na stropnike	13,86 m
n (št. stropnikov)	29
I (A stropnik)	0,000104 m4
I (stropnikov/m)	0,000217 m4/m
I (ploščo oz. desk./m)	1,3E-06 m4/m
I (' nosilca' plošče)	10416,93 cm4
I (cela plošča) (cm4/m)	21044,3 cm4/m

(vzeta vzdajnostni moment vane plošči in stropnikov - en 'nosilci')

... izračun na tekoči meter širine plošče (B)

Materialne karakteristike izbranega razreda lesa (C24):

razred lesa - stropnik	C24 (EN 338)
f _{m,k}	2,4 kN/cm ²
f _{c,0,k}	2,1 kN/cm ²
f _{v,k}	0,4 kN/cm ²
E _{0,main}	1100 kN/cm ²
d _k	350 kg/m ³
p _{mean}	420 kg/m ³
(Obitež:) E	1100 kN/cm ²
p _{mean}	0 kg/m ³

... težo obitežja predhodno zoper

Anализa obtežiba:

g ₁ (dodata na obit.) - obloge, tlak, estrih, itd.)	0,840 kN/m ²
g ₂ (lasta teža pl. - nosilna konstr.)	0,24 kN/m ²
g (linijaška stalna obtežba)	0,53 kN/m
p ₀ (konstantna spremenljiva obtežba)	3,00 kN/m ²
p (linijaška konstr/a spremenljiva obtežba)	1,49 kN/m

Izračun notranjih statičnih kolilčin:

Upogibni momenti:		
M _{V,g,max}	2,94 kNm	f _{m,k} = 1,691 kN/cm ²
M _{V,p,max}	8,21 kNm	
Predne sile:		
V _{d,p,max}	1,77 kN	
V _{d,p,max}	4,94 kN	f _{v,k} = 0,044 kN/cm ²
V _{d,d,mas}	9,80 kN	

Kontrola deformacij:

Trenutna razširitev deformacija:	4,330 cm	< L/300 =	2,217 cm	NI OK
V _{inst}				$\frac{M_{y,s,p} \cdot L^2}{9,6 \cdot E_l \cdot j_{ef}}$
Izračunamo se končno deformacijo (w _{fin}):	1,143 cm			
V _{fin}	3,187 cm			
iz Pr. P1-6 povzamemo def. faktor:				
k _{def}	0,8			
Razilčno trajanje obri. upoštevamo s faktorjem:				
ψ ₁ (stalna obri.)	1,0			
ψ ₂ (končna obri.)	0,3			
Končna deformacija (upoštevajoč 5-10%):				
w _{fin}	6,010 cm	< L/150 =	4,433 cm	NI OK

Kontrola vibracij:

Izračun prve lastne frekvence (aprossimativna oblika):

f ₁	5,3 Hz	> 8 Hz	NI OK
Upogibana točkota stopro na pas širine energo metra:			
[E] (Nm):	2397035 Nm/2/m	...elektralnata pogost plodske v vzdužni smeri, za pas Širine energa metra	
[E] (J):	14322,92 Nm/2/m	...elektralnata pogost plodske v prečni smeri, za pas Širine energa metra	
E ₁ /μ _{ef}	1186532 Nm3/m		

Masa stopne konstrukcije s stalno obrežbo:

$$m = 1697 \text{ kg/m}^2$$

Če je izpolnjen osnovni pogoj glede lastne frekvence, lahko preverimo še ustreznost glede vibracij po pogojih (5-98) in (5-99):

Izračun hitrosti odziva na vzbušjanje 1Ns:

$$v = \frac{4 \cdot (0,4 + 0,6 \cdot n_{k_0})}{mbf + 200}$$

Št. prvih nihajnih oblik z lastno frekvenco do 40Hz:

$$\frac{n_{k_0}}{F} = \frac{\left(\frac{(b)}{f_1}\right)^3 - 1}{\left(\frac{(b)}{f_1}\right)^2} \cdot \frac{\left(\frac{(E)}{E_1}\right)_k}{\left(\frac{(E)}{E_1}\right)_k} \quad * \text{prepostavka, priročnik: } F=1$$

SLABA UPORABNOST

$$a = \frac{w}{f} = \frac{F \cdot L^3}{24 \cdot (E) \cdot l_c} = 0,00511 \text{ m/kN}$$

$$v = 5,11 \text{ mm/kN}$$

POGOJI USTREZNOSTI VIBRACIJ

50 ... Odčitamo iz grafikona

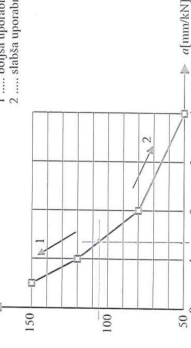
b =	0,037038 m/Ns2	>	0,0050 m/Ns2	OK
-----	----------------	---	--------------	-----------

ξ (modalno razmerje dušenja) 0,01 (za stopove brez plavajočega estriha)

0,02 (za primer strop iz lepenih tranzov, mehanisko povezano pličasto in plavajočim estrihom)

0,03 (za primer strop iz leseni tranzov, mehanisko povezano pličasto in plavajočim estrihom)

1 ... boljša uporabnost
2 ... slabša uporabnost

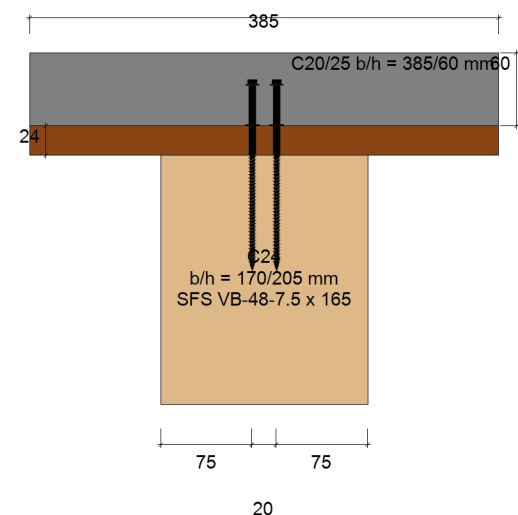


Sl. 5-32. Grafikon sestavljenih koeficientov a in b

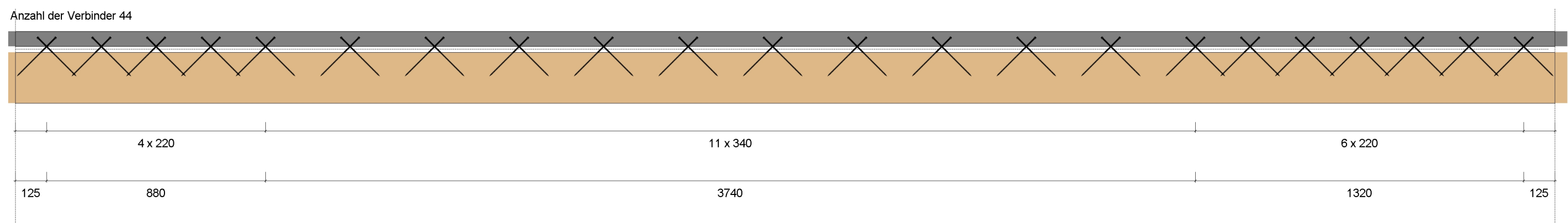
Izboljšena morata biti oba pogojia glede ustreznosti vibraciij.

Projekt: Projekt:HBV 5.0**Pos: 1**

Statisches System - Schnitt



Optimierte Verbinderverteilung



Bemessung eines Holz-Beton-Verbundträgers nach Eurocode 5

Systemangaben zum Holzträger

Breite [mm]	Höhe [mm]	Stützweite [m]	l_y [cm ⁴]	W_y [cm ³]	A [cm ²]	Festigkeitsklasse
170	205	6,2	12204,8	1190,7	348,5	C24 nach Eurocode 5 DE
Nutzungsklasse: 2 Der Träger ist während des Betonierens nicht unterstützt						

Systemangaben zur Betonplatte

Breite*) [mm]	Dicke [mm]	l_y [cm ⁴]	W_y [cm ³]	A [cm ²]	Festigkeitsklasse	Schalung [mm]
385	60	693,0	231,0	231,0	C20/25	24,0

*) mitwirkende Plattenbreite nach DIN 1045 / EN 1991 / Sia 262

Charakt. Festigkeitswerte des Holzträgers
nach Eurocode 5 DE

Emean t=0 [N/mm ²]	Emean t=oo [N/mm ²]	$f_{m,k}$ [N/mm ²]	$f_{t0,k}$ [N/mm ²]	$f_{t,90,k}$ [N/mm ²]	$f_{c,0,k}$ [N/mm ²]	$f_{c,90,k}$ [N/mm ²]	$f_{v,k}$ [N/mm ²]
11000	3667	24,0	14,5	0,40	21,0	2,5	4,0

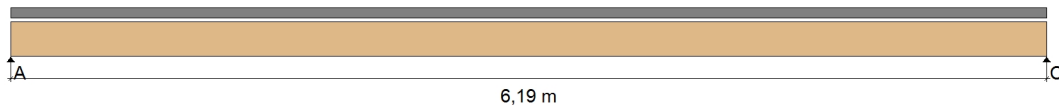
Modifikation

Nutzungsklasse	k_{mod} ständig	k_{mod} lang	k_{mod} mittel	k_{mod} kurz	k_{mod} sehr kurz	γ_M	k_{cr}
1	0,60	0,70	0,80	0,90	1,10	1,30	0,500
2	0,60	0,70	0,80	0,90	1,10	1,30	0,500
3	0,50	0,55	0,65	0,70	0,90	1,30	0,500

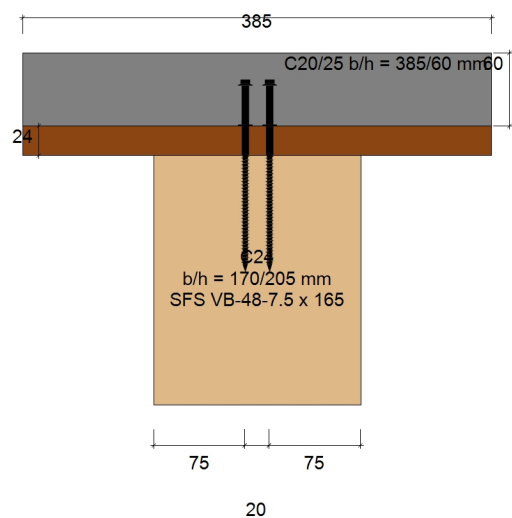
Projekt:HBV 5.0

1

Statisches System - Ansicht

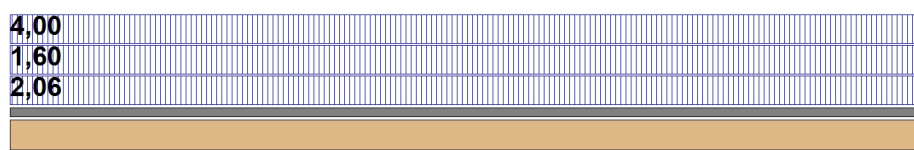


Statisches System - Schnitt



Charakt. Einwirkungen auf das System

e = 0,39m



Projekt:HBV 5.0

1

Charakt. Einwirkungen auf das System

LF	Lasttyp	Einwirkungsdauer	Betrag [kN, kN/m ²]	Länge [m]	Position [m]	Modifikation	ψ0	ψ1	ψ2	Herkunft
1	Gleichlast	ständig	2,06			0,60	1	1	1	Eigenlast
2	Gleichlast	ständig	1,60			0,60	1	1	1	
3	Gleichlast	mittel	4,00			0,80	0,7	0,5	0,3	

Endschwindmaß = -0,50
 Der erste Lastfall wird als Montagelastfall behandelt!

Bemessungswerte der Schnittgrößen zum Zeitpunkt t=0

Maßgebende Lastkombination::

1,35*(LF1+LF2)+1,5*LF3 (Nachweis der Biegespannungen)

1,35*(LF1+LF2)+1,5*LF3 (Nachweis der Schubspannungen)

x [m]	Gurtkraft [kN]	Momente im Beton [kNm]	Momente im Holzträger [kNm]	Querkräfte im Holz [kN]	Schubfluss [kN/m]
0,00	0,00	0,00	0,00	13,04	36,88
0,31	11,31	0,14	1,92	11,73	35,88
0,62	22,05	0,25	3,56	10,43	33,29
0,93	31,80	0,35	4,96	9,13	29,56
1,24	40,25	0,43	6,18	7,82	24,99
1,55	47,45	0,50	7,21	6,52	21,45
1,86	53,49	0,55	8,02	5,21	17,53
2,17	58,27	0,59	8,65	3,91	13,35
2,48	61,73	0,62	9,09	2,61	8,99
2,79	63,82	0,64	9,35	1,30	4,52
3,10	64,53	0,64	9,44	0,00	0,01
3,40	63,83	0,64	9,35	-1,30	-4,50
3,71	61,75	0,62	9,09	-2,61	-8,96
4,02	58,29	0,59	8,64	-3,91	-13,32
4,33	53,52	0,55	8,02	-5,21	-17,49
4,64	47,50	0,50	7,20	-6,52	-21,40
4,95	40,32	0,43	6,17	-7,82	-25,00
5,26	31,84	0,35	4,96	-9,13	-29,63
5,57	22,07	0,25	3,55	-10,43	-33,34
5,88	11,32	0,14	1,92	-11,73	-35,92
6,19	0,00	0,00	0,00	-13,04	-36,92

Projekt:HBV 5.0

1

Bemessungswerte der Schnittgrößen zum Zeitpunkt t=00

Maßgebende Lastkombination::

 $1,35*(LF1+LF2)+1,5*LF3$ (Nachweis der Biegespannungen)
 $1,35*(LF1+LF2)+1,5*LF3$ (Nachweis der Schubspannungen)

x [m]	Gurtkraft [kN]	Momente im Beton [kNm]	Momente im Holzträger [kNm]	Querkräfte im Holz [kN]	Schubfluss [kN/m]
0,00	0,00	0,00	0,00	13,04	23,02
0,31	7,41	0,19	2,49	11,73	24,63
0,62	15,05	0,34	4,57	10,43	24,41
0,93	22,37	0,46	6,33	9,13	22,67
1,24	28,96	0,56	7,82	7,82	19,82
1,55	34,72	0,64	9,06	6,52	17,32
1,86	39,63	0,70	10,04	5,21	14,35
2,17	43,57	0,75	10,79	3,91	11,04
2,48	46,45	0,78	11,31	2,61	7,49
2,79	48,19	0,80	11,63	1,30	3,79
3,10	48,78	0,81	11,73	0,00	0,01
3,40	48,20	0,80	11,63	-1,30	-3,76
3,71	46,46	0,78	11,31	-2,61	-7,47
4,02	43,60	0,75	10,79	-3,91	-11,01
4,33	39,67	0,70	10,04	-5,21	-14,32
4,64	34,77	0,64	9,05	-6,52	-17,28
4,95	29,02	0,56	7,81	-7,82	-19,83
5,26	22,41	0,46	6,33	-9,13	-22,73
5,57	15,07	0,33	4,57	-10,43	-24,45
5,88	7,42	0,19	2,49	-11,73	-24,67
6,19	0,00	0,00	0,00	-13,04	-23,06

Bemessungswerte der Holzfestigkeit (EN 1995-1-1:2004)

Maßgebende Lastkombination: $1,35*(LF1+LF2)+1,5*LF3$ / $1,35*(LF1+LF2)+1,5*LF3$

Fkl.	kmod	γM	$f_{m,d}$ [N/mm ²]	$f_{t,0,d}$ [N/mm ²]	$f_{c,0,d}$ [N/mm ²]	$f_{v,d}$ [N/mm ²]
C24	0,80/0,80	1,3	14,77	8,92	12,92	2,46

Auflagerkräfte (charakteristisch)

LF	Ak [kN]	B1k [kN]	B2k [kN]	Ck [kN]
1	2,45	0,00	0,00	2,45
2	1,91	0,00	0,00	1,91
3	4,77	0,00	0,00	4,77

Projekt: HBV 5.0

1

Nachweise im Grenzzustand der Tragfähigkeit
 zum Zeitpunkt t=0

x [m]	$\sigma_{m,d}$ [N/mm ²]	$\sigma_{c,d}$ [N/mm ²]	$\sigma_{t,d}$ [N/mm ²]	Nachweis der Randspannung oben	Nachweis der Randspannung unten	OK?
0,00	0,00	0,00	0,00	0,00	0,00	✓
3,10	7,92	-1,85	1,85	0,33	0,74	✓
6,19	0,00	0,00	0,00	0,00	0,00	✓

Nachweise im Grenzzustand der Tragfähigkeit
 zum Zeitpunkt t=oo

x [m]	$\sigma_{m,d}$ [N/mm ²]	$\sigma_{c,d}$ [N/mm ²]	$\sigma_{t,d}$ [N/mm ²]	Nachweis der Randspannung oben	Nachweis der Randspannung unten	OK?
0,00	0,00	0,00	0,00	0,00	0,00	✓
3,10	9,85	-1,40	1,40	0,51	0,82	✓
6,19	0,00	0,00	0,00	0,00	0,00	✓

Nachweise im Grenzzustand der Tragfähigkeit
 Schubspannungen zum Zeitpunkt t=0 und t=oo

x [m]	$V_{d,0}$ [kN]	$\tau_{v,d,0}$ [N/mm ²]	Nachweis t = 0	$V_{d,oo}$ [kN]	$\tau_{v,d,oo}$ [N/mm ²]	Nachweis t = oo	OK?
0,00	13,04	1,12	0,45	13,04	1,12	0,45	✓
6,19	-13,04	-1,12	0,45	-13,04	-1,12	0,45	✓

$$b_{(ef)} = kcr * b = 0,500 * 170,0 = 85,00 \text{ mm}$$

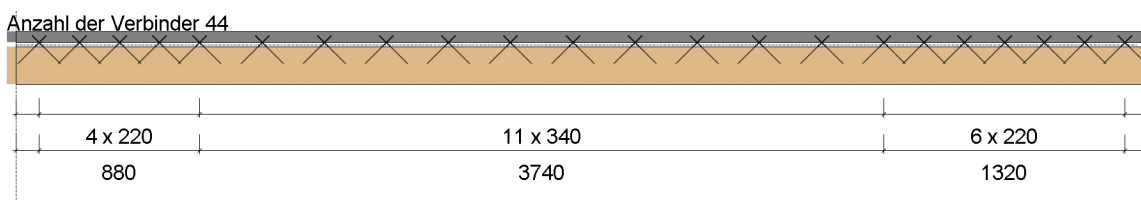
Projekt:HBV 5.0

1

Ausnutzung der Schraubenenumrissfläche

x [m]	Schraubenenumrisslänge u [mm]	$\tau_{v,d,0}$ [N/mm ²]	$\tau_{v,d,00}$ [N/mm ²]	$f_{v,d}$ [N/mm ²]	OK?
0,00	205,31	0,36	0,22	2,46	✓
0,31	205,31	0,35	0,24	2,46	✓
0,62	205,31	0,32	0,24	2,46	✓
0,93	205,31	0,29	0,22	2,46	✓
1,24	205,31	0,24	0,19	2,46	✓
1,55	205,31	0,21	0,17	2,46	✓
1,86	205,31	0,17	0,14	2,46	✓
2,17	205,31	0,13	0,11	2,46	✓
2,48	205,31	0,09	0,07	2,46	✓
2,79	205,31	0,04	0,04	2,46	✓
3,10	205,31	0,00	0,00	2,46	✓
3,40	205,31	-0,04	-0,04	2,46	✓
3,71	205,31	-0,09	-0,07	2,46	✓
4,02	205,31	-0,13	-0,11	2,46	✓
4,33	205,31	-0,17	-0,14	2,46	✓
4,64	205,31	-0,21	-0,17	2,46	✓
4,95	205,31	-0,24	-0,19	2,46	✓
5,26	205,31	-0,29	-0,22	2,46	✓
5,57	205,31	-0,32	-0,24	2,46	✓
5,88	205,31	-0,35	-0,24	2,46	✓
6,19	205,31	-0,36	-0,22	2,46	✓

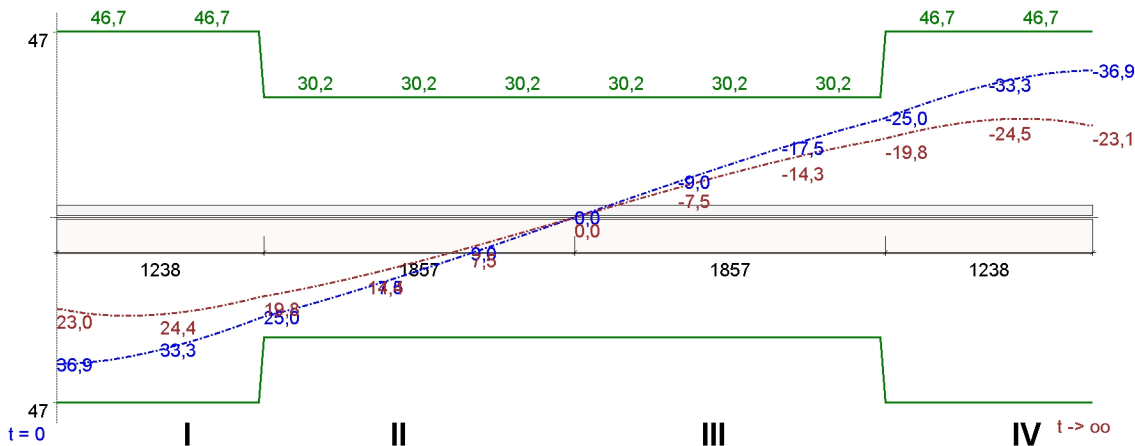
Optimierte Verbinderverteilung



Projekt: HBV 5.0

1

Schubdeckungslinie für die maßgebende Lastkombination



Nachweis der SFS Verbundschrauben im Grenzzustand der Tragfähigkeit

Verbindertyp: SFS VB-48-7.5 x 165

x [m]	Reihen	Abstand [mm]	T,R,d [N/mm]	T,d,0 [N/mm]	T,d,0 / T,R,d	T,d,oo [N/mm]	T,d,oo / T,R,d	OK?
0,00	1	220	46,7	36,9	0,79	23,0	0,49	✓
0,31	1	220	46,7	35,9	0,77	24,6	0,53	✓
0,62	1	220	46,7	33,3	0,71	24,4	0,52	✓
0,93	1	220	46,7	29,6	0,63	22,7	0,49	✓
1,24	1	340	30,2	25,0	0,83	19,8	0,66	✓
1,55	1	340	30,2	21,5	0,71	17,3	0,57	✓
1,86	1	340	30,2	17,5	0,58	14,4	0,48	✓
2,17	1	340	30,2	13,3	0,44	11,0	0,36	✓
2,48	1	340	30,2	9,0	0,30	7,5	0,25	✓
2,79	1	340	30,2	4,5	0,15	3,8	0,13	✓
3,10	1	340	30,2	0,0	0,00	0,0	0,00	✓
3,40	1	340	30,2	-4,5	0,15	-3,8	0,13	✓
3,71	1	340	30,2	-9,0	0,30	-7,5	0,25	✓
4,02	1	340	30,2	-13,3	0,44	-11,0	0,36	✓
4,33	1	340	30,2	-17,5	0,58	-14,3	0,47	✓
4,64	1	340	30,2	-21,4	0,71	-17,3	0,57	✓
4,95	1	220	46,7	-25,0	0,54	-19,8	0,42	✓
5,26	1	220	46,7	-29,6	0,63	-22,7	0,49	✓
5,57	1	220	46,7	-33,3	0,71	-24,5	0,52	✓
5,88	1	220	46,7	-35,9	0,77	-24,7	0,53	✓
6,19	1	220	46,7	-36,9	0,79	-23,1	0,49	✓

Projekt:HBV 5.0

1

Durchbiegungsanteile im Grenzzustand der Gebrauchstauglichkeit

x [m]	w,g,inst [mm]	w,g,fin [mm]	w,q,inst,perm [mm]	w,q,fin,perm [mm]	w,q,inst,rare [mm]	w,q,fin,rare [mm]
0,00	0,00	0,00	0,00	0,00	0,00	0,00
0,31	2,16	5,64	0,27	0,99	0,91	3,28
0,62	4,26	11,08	0,54	1,94	1,80	6,46
0,93	6,25	16,19	0,79	2,84	2,63	9,45
1,24	8,06	20,84	1,02	3,66	3,39	12,18
1,55	9,67	24,92	1,22	4,38	4,05	14,59
1,86	11,03	28,37	1,39	4,99	4,62	16,63
2,17	12,12	31,11	1,52	5,47	5,07	18,25
2,48	12,91	33,10	1,62	5,83	5,40	19,43
2,79	13,40	34,30	1,68	6,04	5,60	20,14
3,10	13,56	34,71	1,70	6,11	5,66	20,38
3,40	13,40	34,30	1,68	6,04	5,59	20,14
3,71	12,91	33,10	1,62	5,83	5,40	19,42
4,02	12,12	31,11	1,52	5,47	5,07	18,24
4,33	11,03	28,36	1,39	4,99	4,62	16,62
4,64	9,67	24,92	1,22	4,38	4,05	14,59
4,95	8,06	20,83	1,02	3,65	3,38	12,18
5,26	6,25	16,19	0,79	2,83	2,63	9,45
5,57	4,26	11,08	0,54	1,94	1,79	6,46
5,88	2,16	5,64	0,27	0,98	0,91	3,28
6,19	0,00	0,00	0,00	0,00	0,00	0,00

Projekt:HBV 5.0

1

Nachweis über die Einhaltung der Grenzwerte

x [m]	w,inst,rare	max. w,inst,rare (ℓ/300)	w,fin,perm	max. w,fin,perm (ℓ/250)	OK?
0,00	0,00	20,63	0,00	24,76	✓
0,31	3,07	20,63	6,63	24,76	✓
0,62	6,06	20,63	13,02	24,76	✓
0,93	8,88	20,63	19,03	24,76	✓
1,24	11,45	20,63	24,50	24,76	✓
1,55	13,72	20,63	29,30	24,76	!!!
1,86	15,65	20,63	33,36	24,76	!!!
2,17	17,19	20,63	36,58	24,76	!!!
2,48	18,31	20,63	38,93	24,76	!!!
2,79	19,00	20,63	40,34	24,76	!!!
3,10	19,22	20,63	40,82	24,76	!!!
3,40	18,99	20,63	40,34	24,76	!!!
3,71	18,31	20,63	38,93	24,76	!!!
4,02	17,19	20,63	36,58	24,76	!!!
4,33	15,65	20,63	33,35	24,76	!!!
4,64	13,72	20,63	29,30	24,76	!!!
4,95	11,44	20,63	24,48	24,76	✓
5,26	8,88	20,63	19,02	24,76	✓
5,57	6,05	20,63	13,02	24,76	✓
5,88	3,07	20,63	6,62	24,76	✓
6,19	0,00	20,63	0,00	24,76	✓

Nachweise zum Schwingungsverhalten nach EN 1995-1-1:2004

Nachweis	Quelle	Ist-Wert	Grenzwert	Einheit	OK?
Durchbiegung	Erläuterungen DIN 1052:2004		6,0	mm	✓

Voraussetzungen:
 Quasi-Ständige Deckenmasse: 373 kg/m²
 Deckenfeldbreite: 1 m
 Dämpfungsmaß: 0,010

Brandschutznachweis nach EN 1995-1-2:10-2006

geforderte Feuerwiderstandsdauer	Abbrandrate	fm,d,fi [N/mm ²]	fc,0,d,fi [N/mm ²]	fc,90,d,fi [N/mm ²]	ft,0,d,fi [N/mm ²]	ft,90,d,fi [N/mm ²]	fv,d,fi [N/mm ²]	E,d,fi [N/mm ²]
30	0,80	26,71	21,65	2,58	16,92	0,47	4,67	8557,8

Projekt:HBV 5.0

1

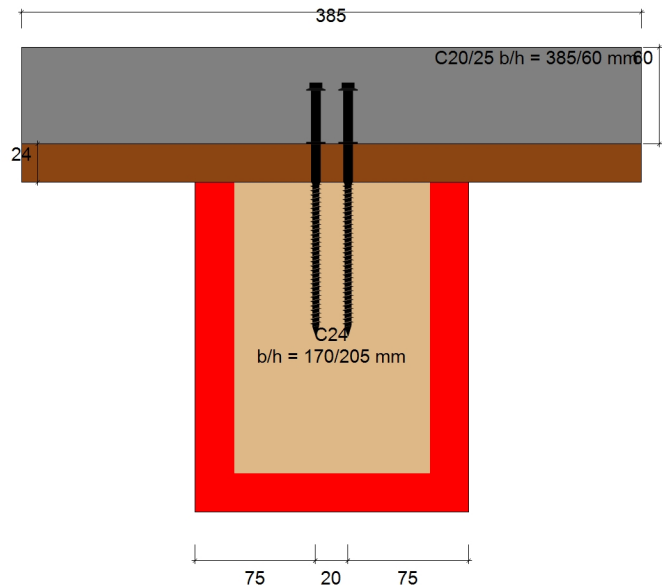
Spannungsnachweise im Brandfall

x [m]	$\sigma_{m,d,fi,o}$ [N/mm ²]	$\sigma_{m,d,fi,u}$ [N/mm ²]	$\sigma_{x,d,fi}$ [N/mm ²]	$\sigma_{v,d,fi}$ [N/mm ²]	Nachweis der Randspannung oben	Nachweis der Randspannung unten	Nachweis der Schubspannungen zum Zeitpunkt t=0 und t=>oo	OK?
0,00	0,00	0,00	0,00	0,58	0,00	0,00	0,12	✓
0,31	-1,57	1,57	0,40	0,52	0,04	0,08	0,11	✓
0,62	-2,91	2,91	0,78	0,46	0,06	0,16	0,10	✓
0,93	-4,07	4,07	1,12	0,40	0,09	0,22	0,09	✓
1,24	-5,07	5,07	1,42	0,35	0,11	0,27	0,07	✓
1,55	-5,92	5,92	1,67	0,29	0,12	0,32	0,06	✓
1,86	-6,60	6,60	1,88	0,23	0,14	0,36	0,05	✓
2,17	-7,12	7,12	2,05	0,17	0,15	0,39	0,04	✓
2,48	-7,49	7,49	2,16	0,12	0,15	0,41	0,02	✓
2,79	-7,71	7,71	2,24	0,06	0,16	0,42	0,01	✓
3,10	-7,78	7,78	2,26	0,00	0,16	0,42	0,00	✓
3,40	-7,71	7,71	2,24	-0,06	0,16	0,42	0,01	✓
3,71	-7,49	7,49	2,16	-0,12	0,15	0,41	0,02	✓
4,02	-7,12	7,12	2,05	-0,17	0,15	0,39	0,04	✓
4,33	-6,60	6,60	1,88	-0,23	0,14	0,36	0,05	✓
4,64	-5,92	5,92	1,67	-0,29	0,12	0,32	0,06	✓
4,95	-5,07	5,07	1,42	-0,35	0,11	0,27	0,07	✓
5,26	-4,06	4,06	1,13	-0,40	0,09	0,22	0,09	✓
5,57	-2,91	2,91	0,78	-0,46	0,06	0,16	0,10	✓
5,88	-1,57	1,57	0,40	-0,52	0,04	0,08	0,11	✓
6,19	0,00	0,00	0,00	-0,58	0,00	0,00	0,12	✓

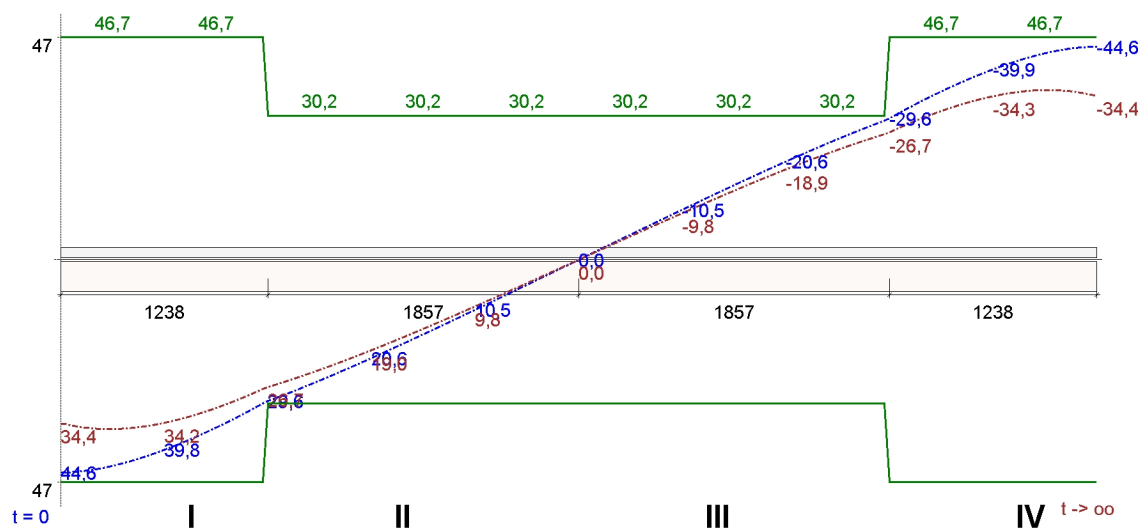
Projekt:HBV 5.0

1

Querschnitt im Brandfall



Schubdeckungslinie Brandfall



Projekt:HBV 5.0

1

Stahlbetonnachweis (Feldbereich = untere Lage!) im Grenzzustand der Tragfähigkeit

x [m]	N Ed [kN]	M Ed [kNm]	zs [mm]	d [mm]	μ Eds	ω	req. As [cm²/m]
0,00	0,00	0,00	7,0	37	0,000	0,010	1,88
0,31	-11,31	0,14	7,0	37	0,037	0,041	1,88
0,62	-22,05	0,25	7,0	37	0,068	0,073	1,88
0,93	-31,80	0,35	7,0	37	0,096	0,106	1,88
1,24	-40,25	0,43	7,0	37	0,119	0,129	1,88
1,55	-47,45	0,50	7,0	37	0,139	0,152	1,88
1,86	-53,49	0,55	7,0	37	0,155	0,176	1,88
2,17	-58,27	0,59	7,0	37	0,167	0,188	1,88
2,48	-61,73	0,62	7,0	37	0,176	0,201	1,88
2,79	-63,82	0,64	7,0	37	0,181	0,213	1,88
3,10	-64,53	0,64	7,0	37	0,183	0,213	1,88
3,40	-63,83	0,64	7,0	37	0,181	0,213	1,88
3,71	-61,75	0,62	7,0	37	0,176	0,201	1,88
4,02	-58,29	0,59	7,0	37	0,167	0,188	1,88
4,33	-53,52	0,55	7,0	37	0,155	0,176	1,88
4,64	-47,50	0,50	7,0	37	0,139	0,152	1,88
4,95	-40,32	0,43	7,0	37	0,119	0,129	1,88
5,26	-31,84	0,35	7,0	37	0,096	0,106	1,88
5,57	-22,07	0,25	7,0	37	0,068	0,073	1,88
5,88	-11,32	0,14	7,0	37	0,037	0,041	1,88
6,19	0,00	0,00	7,0	37	0,000	0,010	1,88

Betonplatte: C20/25 Charakteristische Zugfestigkeit des Bewehrungsstahls: 500 N/mm²

Gewählte Bewehrung

\varnothing As,x [mm]	e As,x [mm]	\varnothing As,y [mm]	e As,y [mm]	As,x [cm²/m]	req. As,x [cm²/m]	As,y [cm²/m]	req. As,y [cm²/m] (=1/4 As,x)	OK?
6,0	150,0	6,0	150,0	1,88	1,88	1,88	0,47	✓

As,x = Bewehrung Tragrichtung

As,y = Bewehrung Querrichtung

 \varnothing = Durchmesser, e = Abstand

req. = erforderlich

Hinweis

Es ist ggf. ein gesonderter Durchstanznachweis sowie ein gesonderter Nachweis in Plattenquerrichtung zu führen!

Projekt:HBV 5.0

1

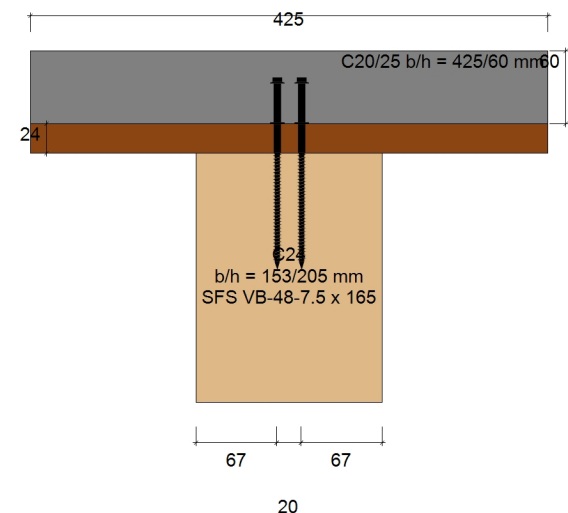
Schallschutzprognose

(1) Fußbodenaufbau	(2) Deckentyp	Bewertetes Trittschalldämmmaß Ln,w [dB]
		0

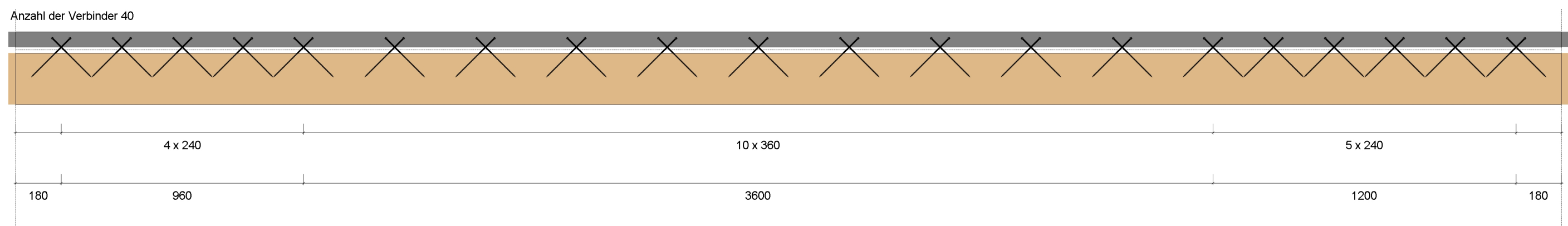
Schallschutzprognose ohne Berücksichtigung flankierender Wände!

Projekt: Projekt:HBV 5.0**Pos: LS 2**

Statisches System - Schnitt

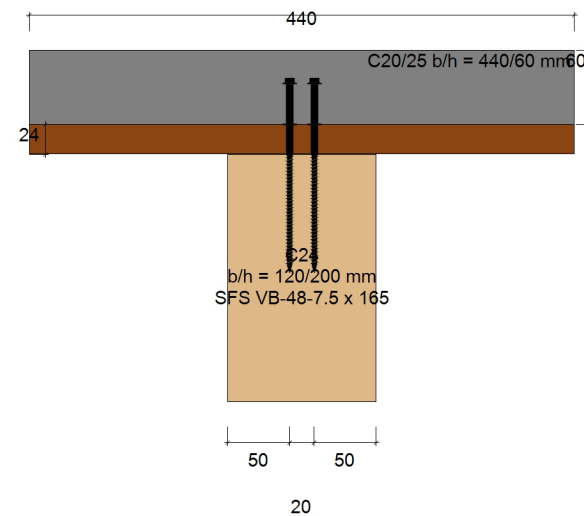


Optimierte Verbinderverteilung

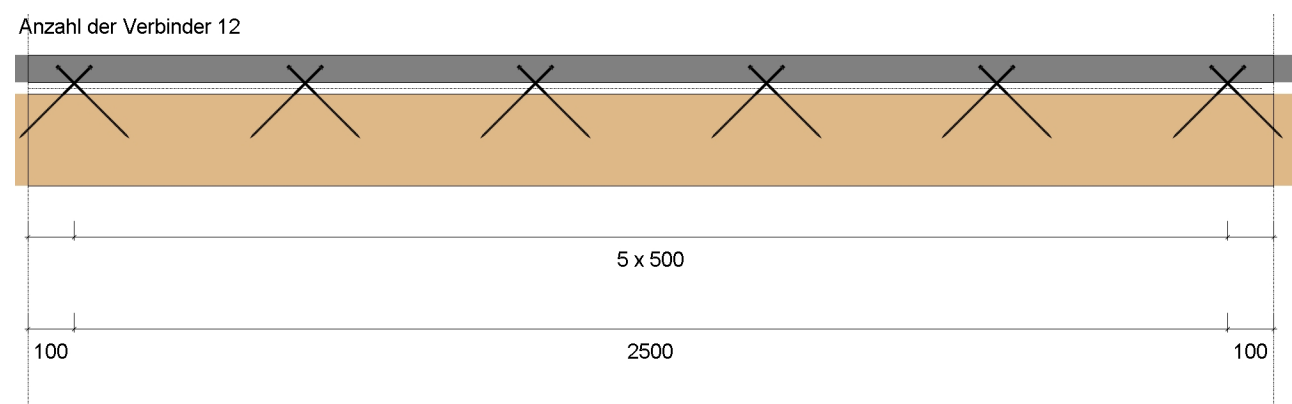


Projekt: Projekt:HBV 5.0**Pos: LS 3**

Statisches System - Schnitt

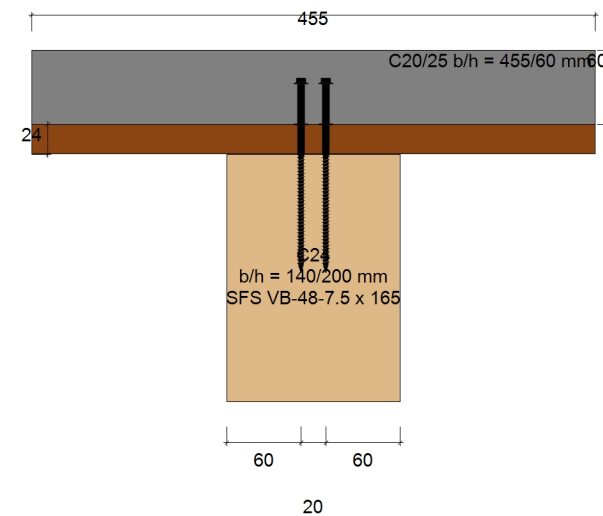


Optimierte Verbinderverteilung

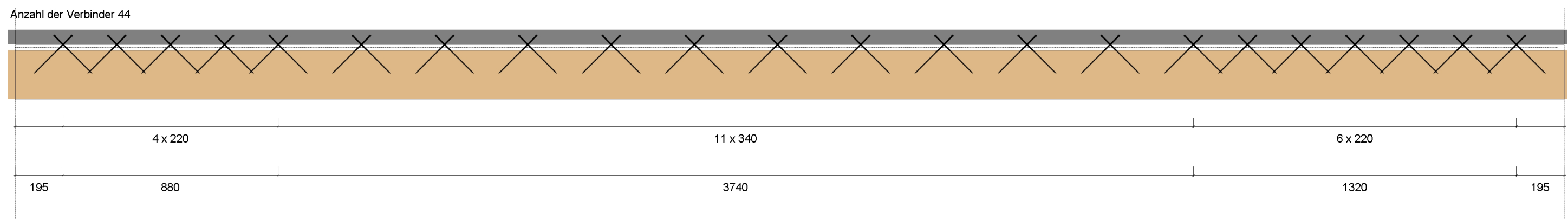


Projekt: Projekt:HBV 5.0**Pos: LS 4**

Statisches System - Schnitt

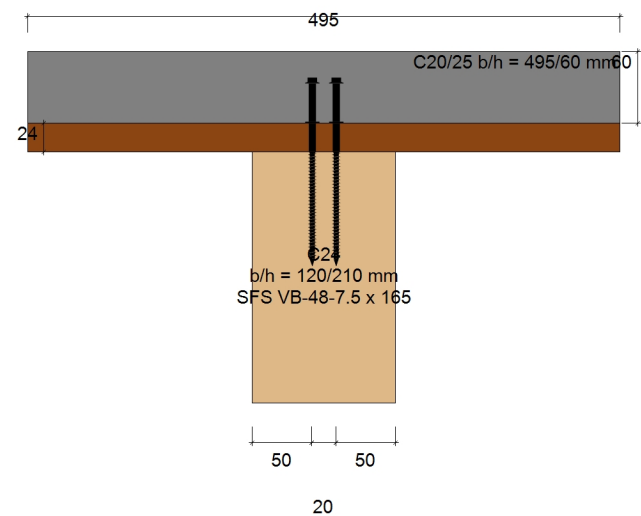


Optimierte Verbinderverteilung

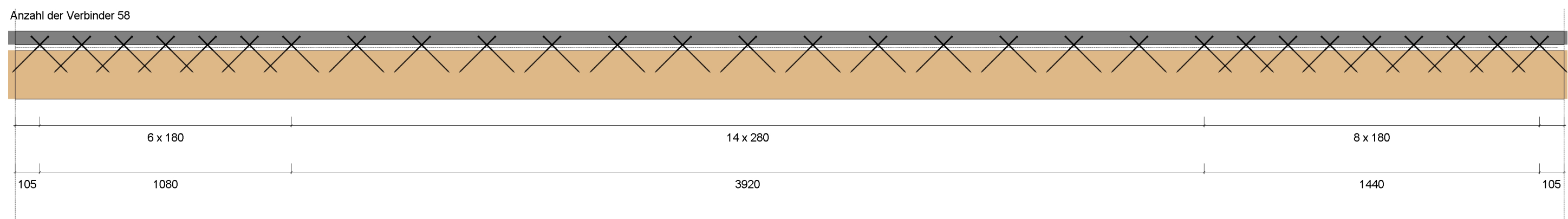


Projekt: Projekt:HBV 5.0**Pos: LS 5**

Statisches System - Schnitt



Optimierte Verbinderverteilung



Poročilo o pregledu razpok, meritvah vlažnosti in tehnološki opis predlaganih ukrepov

**ZAVOD za SANACIJE in REKONSTRUKCIJE OBJEKTOV
LJUBLJANA**

POROČILO
o pregledu razpok in meritvah vlažnosti zidov na objektu
»Palača Gravisi Buttorai v Kopru«
z opisom predlaganih sanacijskih postopkov

Naročnik: **VALIDE, d.o.o., LJUBLJANA**

Direktor:
Iztok Leskovar, univ.dipl.inž.gradb.

ZAVOD za SANACIJE in REKONSTRUKCIJE OBJEKTOV LJUBLJANA

1.0 UVOD

Aprila 2024 je Zavod za gradbeništvo, Ljubljana izvedel preiskave in analize nosilnih konstrukcij palače Gravisi Buttorai na ulici OF 10 v Kopru. Rezultati preiskav in analiz so podani v »*POROČILU 1043/23-610-1- Pregled, preiskave in analize nosilne konstrukcije palače Gravisi Buttorai v Ulici Osvobodilne fronte 10 v Kopru*« z dne 23.04.2024.

Da bi pred izdelavo projekta sanacije in ojačitve nosilnih konstrukcij objekta preverili trenutno stanje konstrukcij, smo po naročilu projektanta Valide, d.o.o., Ljubljana izvedli detajnejši vizualni pregled zahodnega dela objekta, na katerem so prisotne najizrazitejše poškodbe (razpoke). Istočasno smo izmerili vlago v pritličnih zidovih, saj te meritve še niso bile izvedene. Rezultati pregleda in meritve so predmet tega poročila, v katerem v nadaljevanju podajamo tudi predlog in opis postopkov za sanacijo kapilarne vlage ter izboljšanje mehanskih lastnosti zidov z injektiranjem.

2.0 PREISKAVE

2.1 Detajlni vizualni pregled razpok

V poročilu ZAG-a so v točki 3.2 detajlno opisane poškodbe na masivnih delih nosilne konstrukcije. Razpoke, ki so bile registrirane med pregledom v aprilu leta 2024, so prikazane na slikah 3.4 do 3.44 v uvodu citiranega poročila.

Stanje razpokanih zidov, stropov in talnih konstrukcij smo ponovno detajno pregledali v mesecu novembra 2024.

Med pregledom smo na vseh fasadnih površinah, obodnih in notranjih zidovih, stropovih in tleh v vseh nadstropjih stanje primerjali s stanjem med pregledom iz aprila 2024, ki ga je izvedel ZAG.

Na osnovi pregleda in primerjave ugotavljamo, da se v času od aprila do novembra 2024 stanje ni bistveno spremenilo. Med pregledom nismo registrirali novih razpok, dolžine in širine razpok so praktično enake, kot so prikazane v poročilu ZAG-a. Le na nekaj pozicijah se je dolžina razpok povečala, največ do ca 0,5 m.

2.1 Meritve vlažnosti pritličnih zidov

Med pregledom smo na zidovih v pritličju izvedli tudi **meritve stopnje njihove navlaženosti**. Meritve smo opravili z elektroporovnim vlagomerom Gann UNI 1.

Rezultati meritve (v DGT enotah) so bili naslednji:

**ZAVOD za SANACIJE in REKONSTRUKCIJE OBJEKTOV
LJUBLJANA**

A) PROSTOR »SALONE«

južni zid:	višina od tal (m)	vlažnost (DGT enote)
	0 - 0,5	89 do 126
	0,5 - 1,0	78 do 111
	1,0 - 2,0	64 do 92
	nad 2,0	54 do 66
zahodni zid:	višina od tal (m)	vlažnost (DGT enote)
	0 - 0,5	62 do 92
	0,5 - 1,0	56 do 70
	1,0 - 2,0	54 do 63
	nad 2,0	52 do 62
severni zid:	višina od tal (m)	vlažnost (DGT enote)
	0 - 0,5	68 do 88
	0,5 - 1,0	58 do 74
	1,0 - 2,0	54 do 71
	nad 2,0	54 do 65
vzhodni zid:	višina od tal (m)	vlažnost (DGT enote)
	0 - 0,5	74 do 95
	0,5 - 1,0	58 do 72
	1,0 - 2,0	53 do 65
	nad 2,0	53 do 64

B) HODNIK

vzdolžni zid a: (ob stopnicah)	višina od tal (m)	vlažnost (DGT enote)
	0 - 0,5	65 do 87
	0,5 - 1,0	58 do 82
	1,0 - 2,0	52 do 67
	nad 2,0	50 do 62
vzdolžni zid b:	višina od tal (m)	vlažnost (DGT enote)
	0 - 0,5	75 do 104
	0,5 - 1,0	72 do 94
	1,0 - 2,0	59 do 73
	nad 2,0	52 do 66

C) BAR

zunanja zidova:	višina od tal (m)	vlažnost (DGT enote)
	0 - 0,5	54 do 67
	0,5 - 1,0	52 do 68
	1,0 - 2,0	55 do 66
	nad 2,0	48 do 64

**ZAVOD za SANACIJE in REKONSTRUKCIJE OBJEKTOV
LJUBLJANA**

notranji zid:	višina od tal (m)	vlažnost (DGT enote)
	0 - 0,5	58 do 75
	0,5 - 1,0	56 do 63
	1,0 - 2,0	49 do 57
	nad 2,0	48 do 55

D) KLET in KURILNICA

zunanji zidovi:	višina od tal (m)	vlažnost (DGT enote)
	0 - 0,5	86 do 122
	0,5 - 1,0	82 do 111
	1,0 - 2,0	70 do 84
	nad 2,0	58 do 69

notranja zidova	višina od tal (m)	vlažnost (DGT enote)
	0 - 0,5	83 do 115
	0,5 - 1,0	77 do 93
	1,0 - 2,0	64 do 72
	nad 2,0	56 do 66

E) GARDEROBA

zunanji zid:	višina od tal (m)	vlažnost (DGT enote)
	0 - 0,5	72 do 92
	0,5 - 1,0	71 do 86
	1,0 - 2,0	61 do 75
	nad 2,0	58 do 66

notranji vzdolžni zid:	višina od tal (m)	vlažnost (DGT enote)
	0 - 0,5	71 do 96
	0,5 - 1,0	66 do 77
	1,0 - 2,0	54 do 68
	nad 2,0	52 do 64

DGT enote pomenijo:

- 40 – 65 DGT enot = suho,
- 65 – 80 DGT enot = normalno vlažno
- 80 – 96 DGT enot = vlažno
- 96 – 114 DGT enot = povišano vlažno
- 114 do 135 DGT enot = močno vlažno
- nad 135 DGT enot = blizu nasičenosti

ZAVOD za SANACIJE in REKONSTRUKCIJE OBJEKTOV LJUBLJANA

3.0 OCENA STANJA in PREDLOG SANACIJE

Po pregledu poškodb na palači Gravisi Butorai najprej ugotavljamo, da se stanje konstruktivnih delov objekta od pregleda, ki je bil izveden s strani Zavoda za gradbeništvo v aprilu 2024 do novembra 2024 ni bistveno spremenilo. Pozicije, širine ter dolžine razpok, ki so bile registrirane in dokumentirane v poročilu ZAG-a z dne 23.04.2024 se v glavnem ujemajo z rezultati detajlnega pregleda v novembru 2024., obstaja le nekaj razpok, na katerih se je po naši oceni dolžina povečala do max ca 50 cm.

Iz meritev vlage v pritličnih zidovih izhaja, da so južni obodni zid v prostoru Salone in vsi zidovi v prostorih kuričnice in kleti močno prekomerno vlažni do višine ca 2,0 m. Na teh zidovih so tudi vidne posledice prekomerne vlažnosti v obliki luščenja in odstopanja opleskov. Vzrok prekomerne vlage v zidovih je kapilarni dvig vlage.

Na ostalih zidovih v pritličnih prostorih je nekoliko povišana vlaga prisotna do višine ca 1 m, v baru pa so zidovi normalno vlažni.

Predlagamo, da se sanacija močno vlažnih zidov (južni zid v prostoru Salone in vsi zidovi v kleti in kuričnici), izvede z bariero proti kapilarnemu dvigu vlage s penetriranjem silikonatov v obliki gela in sicer na nivoju tik nad koto tal v prostorih. Pred penetracijo je potrebno kamnit zid v višini ca 0,5 m nad in 0,5 m pod koto tal v prostoru zainjektirati s hidrofobno apnenou pucolansko injektirno maso.

Na vseh močno vlažnih zidovih naj se poleg bariere izvede tudi zamenjava obstoječih notranjih ometov s sušilnimi sanacijskimi ometi po celotni višini zidu.

Na vseh ostalih zidovih, razen na zidovih v baru, kjer so zidovi normalno vlažni in na njih sanacija zaradi vlage ni potrebna naj se sanacijski sušilni ometi izvedejo do višine ca 2 m.

Sicer pa je zaradi izboljšanja mehanskih lastnosti kamnitih zidov v okviru zahtev za doseganje ustrezne potresne odpornosti konstrukcije predvideno sistematično injektiranje zidov. Istočasno se zainjektirajo tudi razpoke v njih.

Na opečnih zidovih se injektirajo samo razpoke.

Za injektiranje je glede na to, da gre za objekt, ki je varovan kot del kulturne dediščine potrebno uporabiti apnenou-pucolansko injektirno maso.

Vrste materialov za izvedbo predlagane sanacije

Injektiranje kamnitih temeljev in zidov ter razpok na opečnih zidovih

- apnenou pucolanska injektirna masa (npr.: Mapei Mape Antique 21)

Injektiranje kamnitih zidov pred izvedbo bariere proti kapilarnemu dvigu

- injektiranje kamnitih zidov v višini ca 0,5 m nad in 0,5 m pod koto tal na zidovih, na katerih je predvidena izvedba bariere proti kapilarnemu dvigu:
apnenou pucolanska injektirna masa (npr.: Mapei Mape Antique 21) +
dodatek za hidrofobiranje npr.: Hidrofob TKK Srpenica)

**ZAVOD za SANACIJE in REKONSTRUKCIJE OBJEKTOV
LJUBLJANA**

Penetriranje silikonatov

Bariera proti kapilarnemu dvigu vlage:
silansikloksani v gelu (Sika Murinjectedcream ali enakovredno).

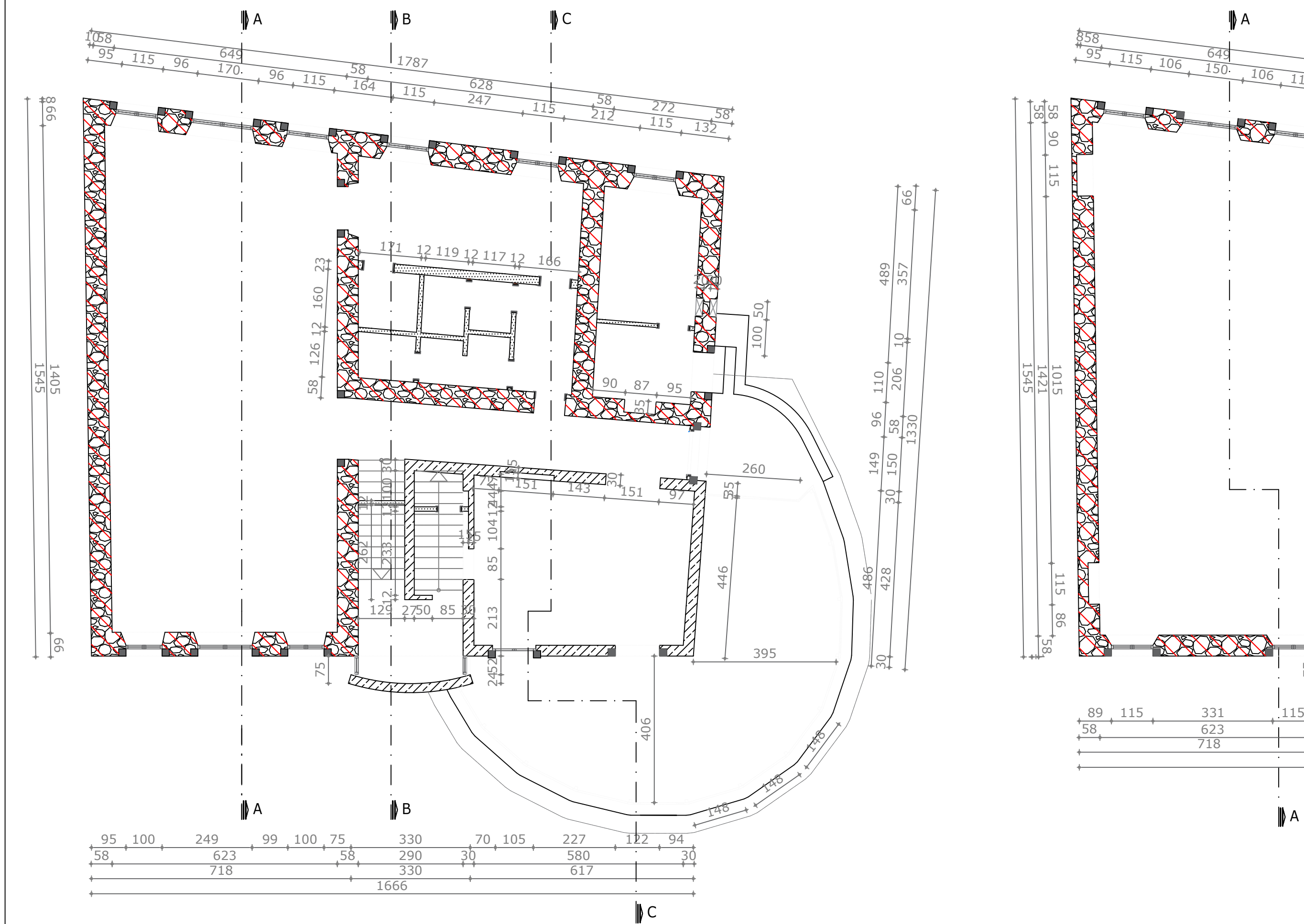
Sanacijski-sušilni ometi

- obrizg Roefix Calce Clima ali enakovredno,
- Roefix Calce Clima grobi omet ali enakovredno,
- Roefix Calce Clima fini omet ali enakovredno,
- Roefix apnena zaključna barva ali enakovredno.

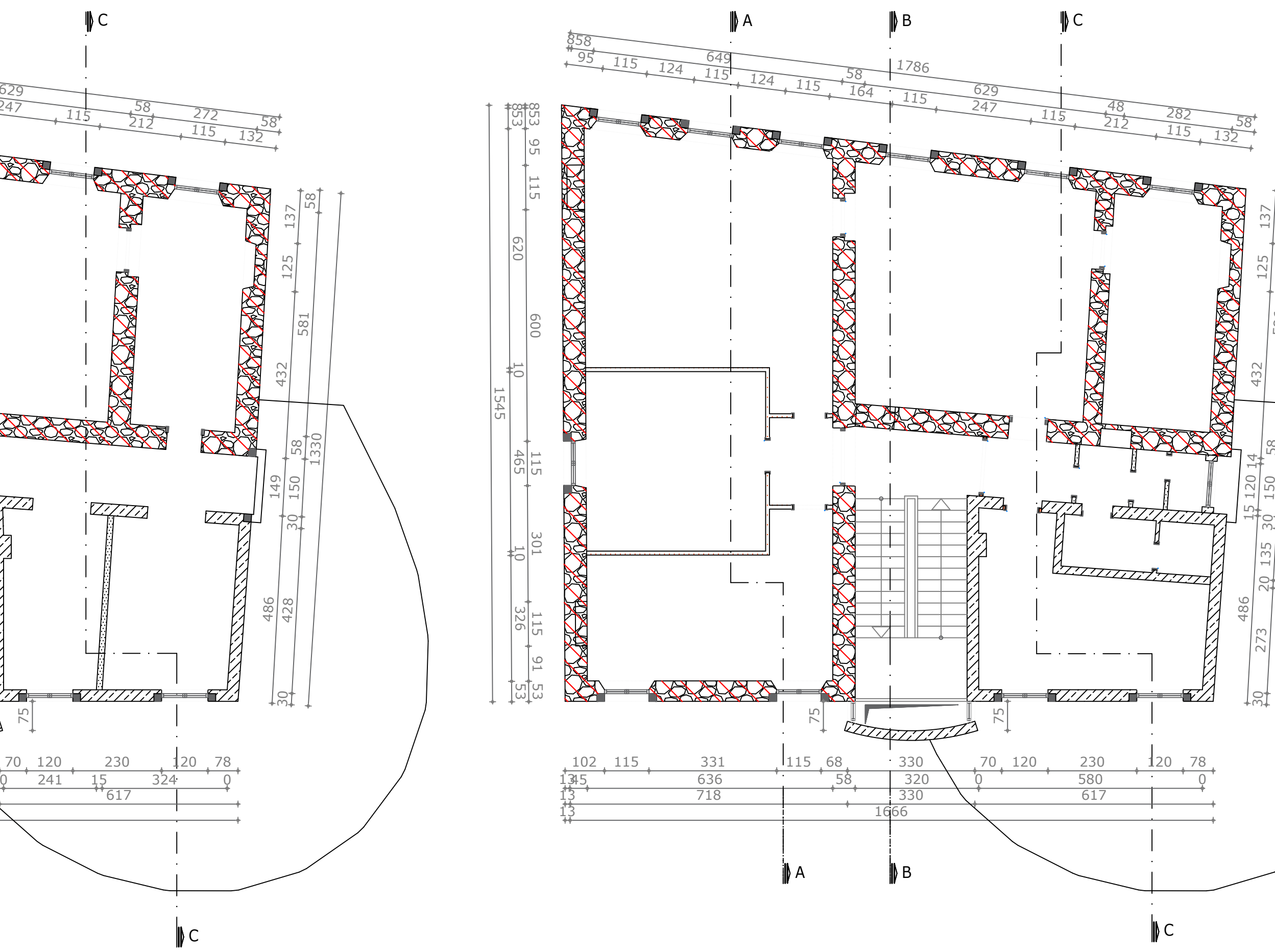
Shema ojačitev za zagotovitev ustrezne potresne odpornosti konstrukcije

merilo 1:50

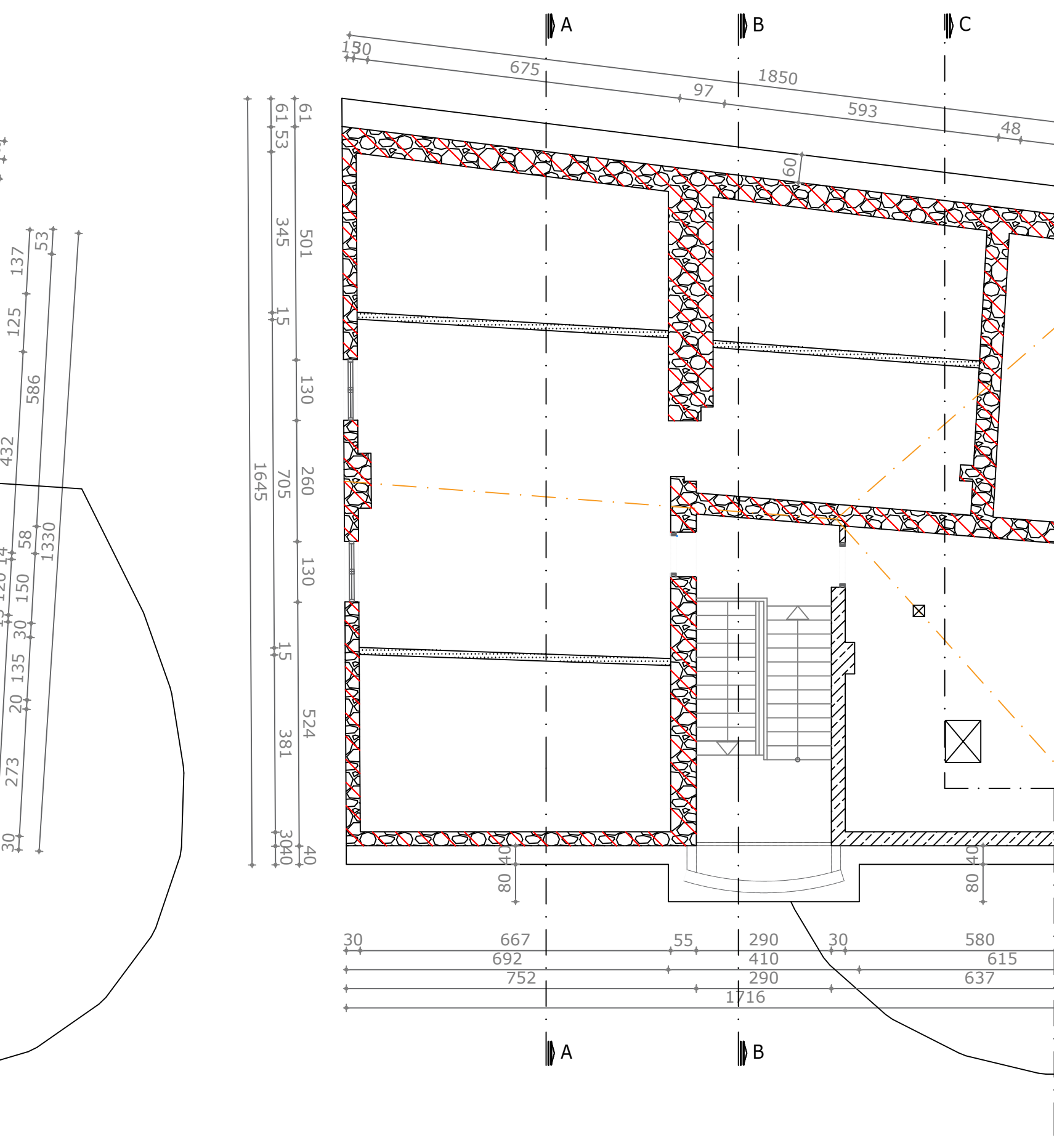
TLORIS PRITLIČJA



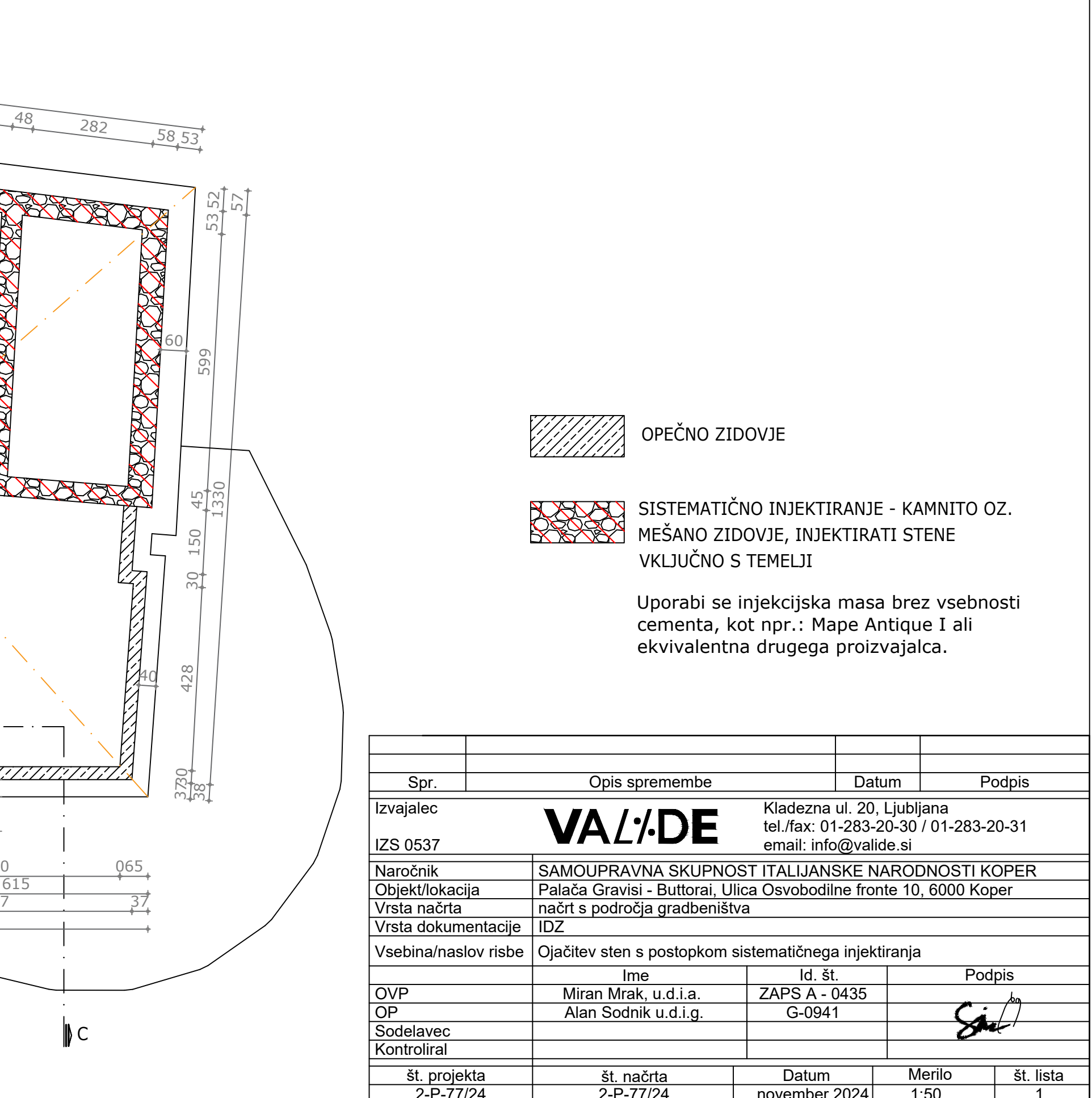
TLORIS 1. NADSTROPJA

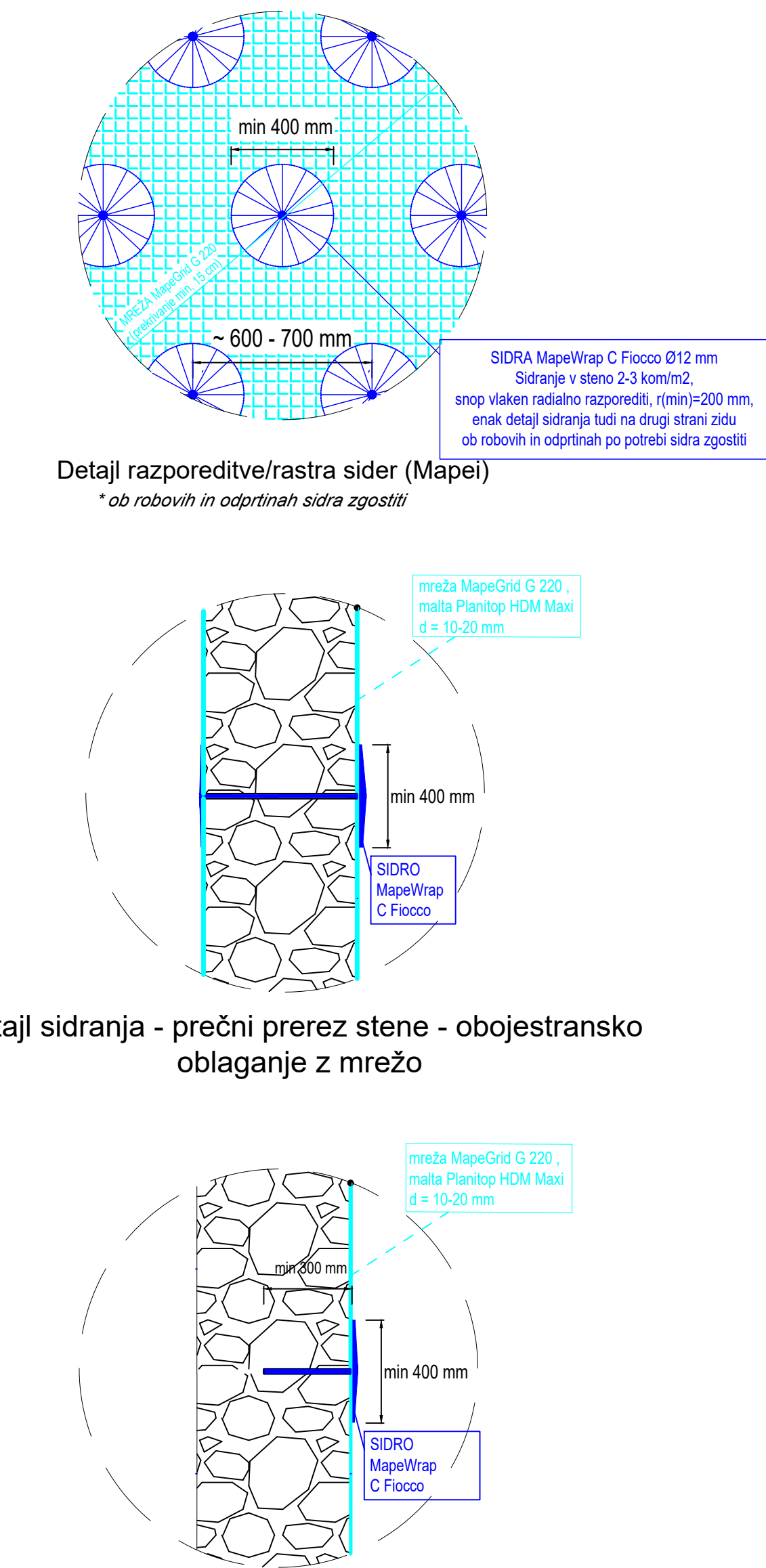
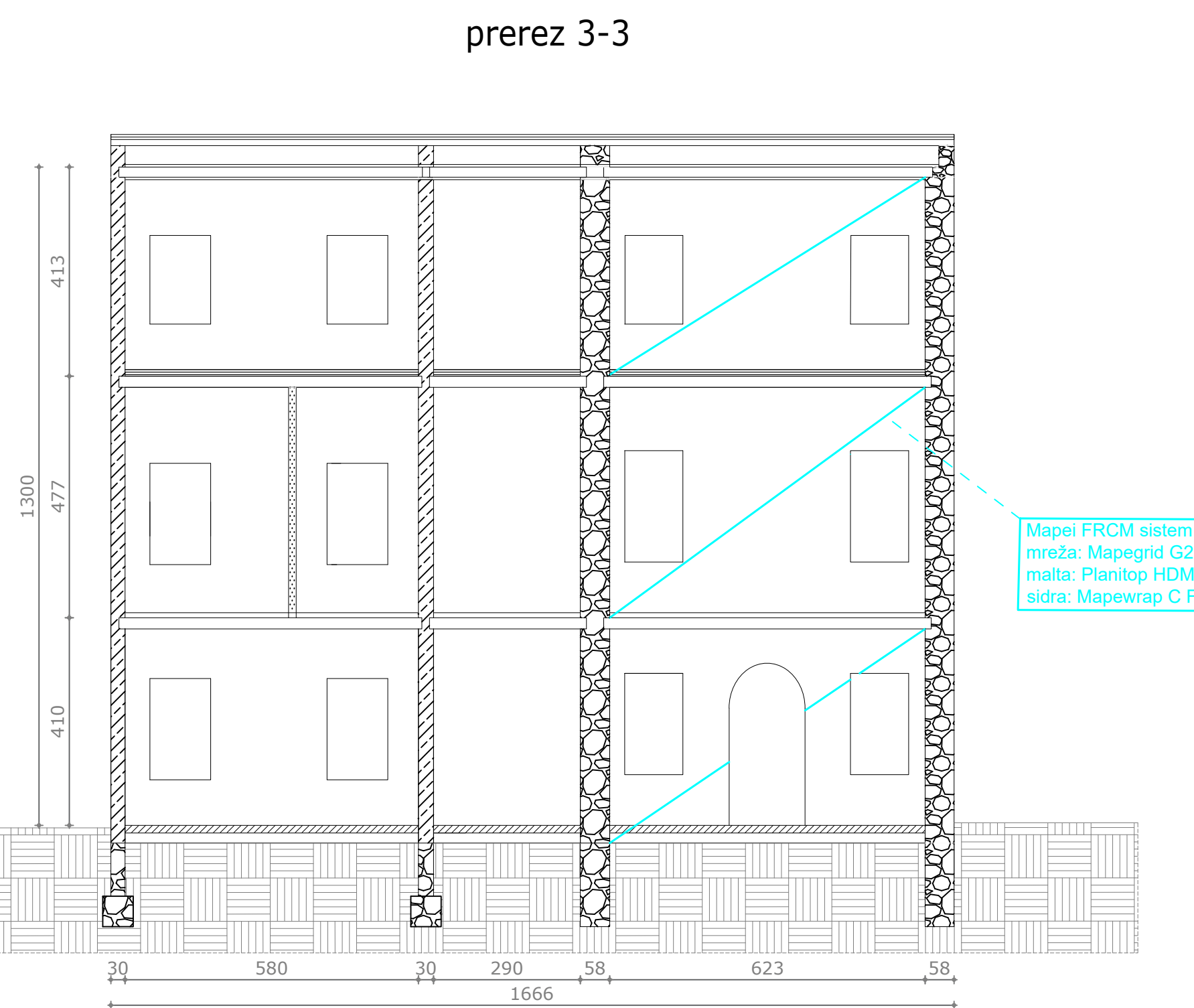
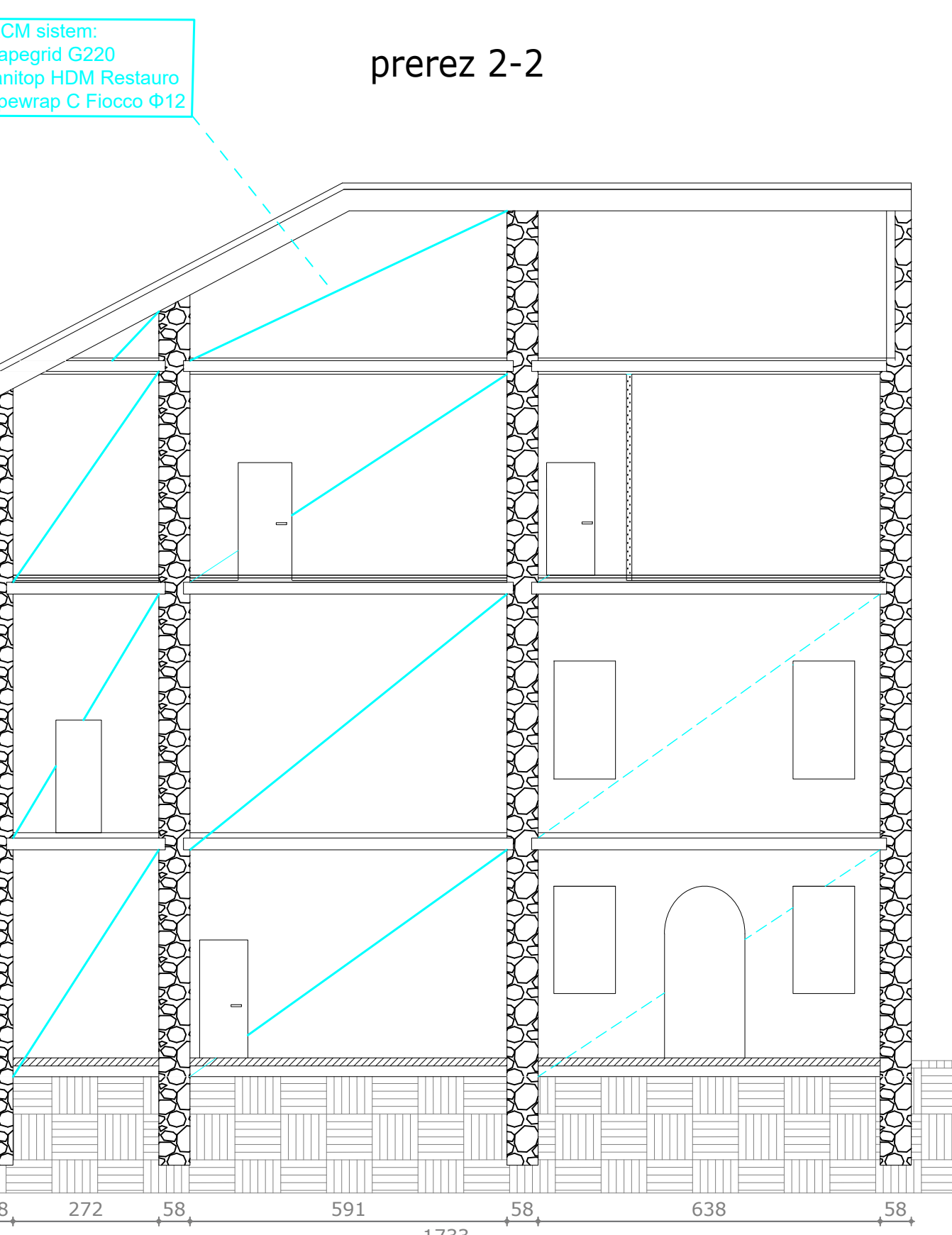
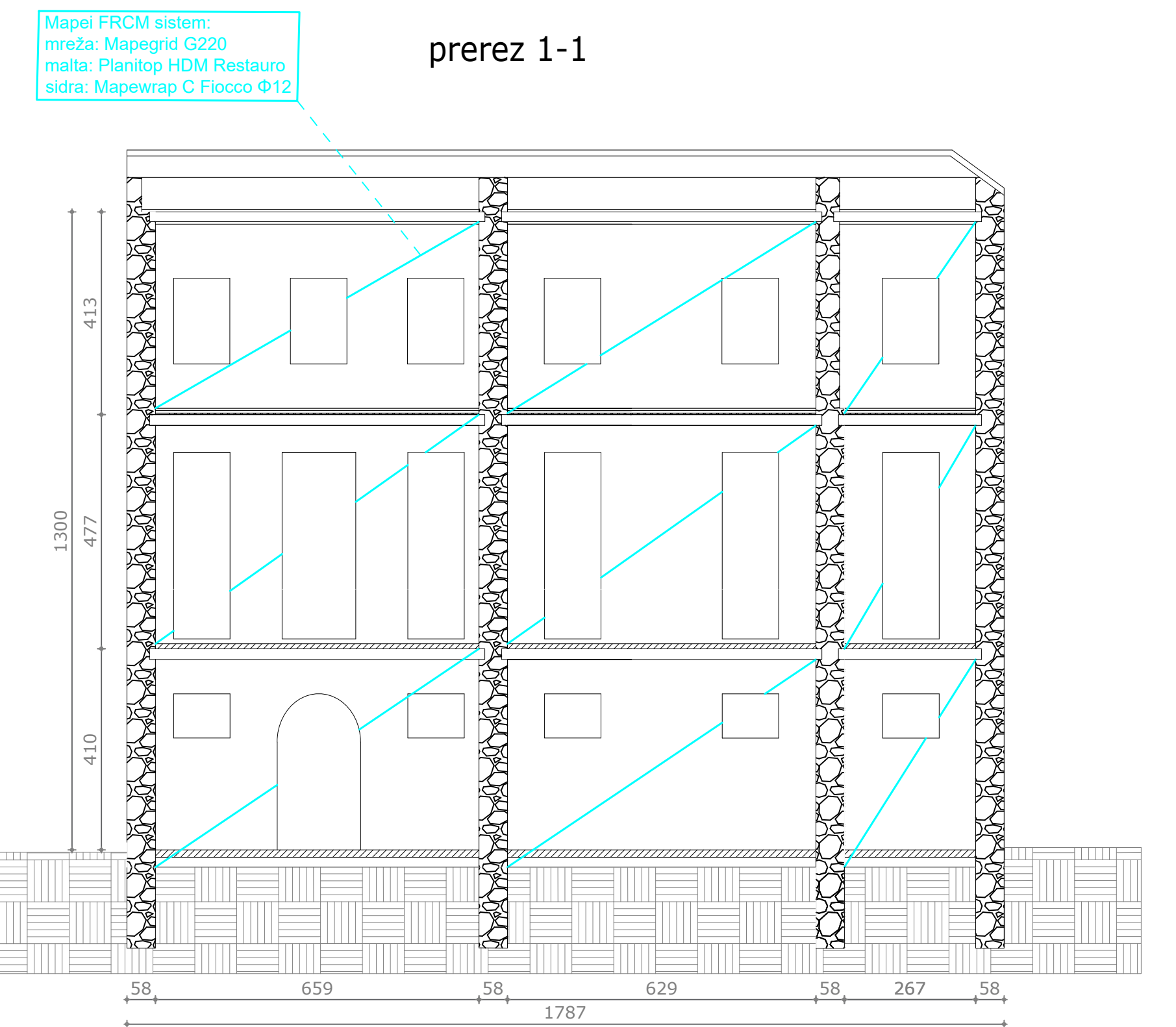


TLORIS 2. NADSTROPJA

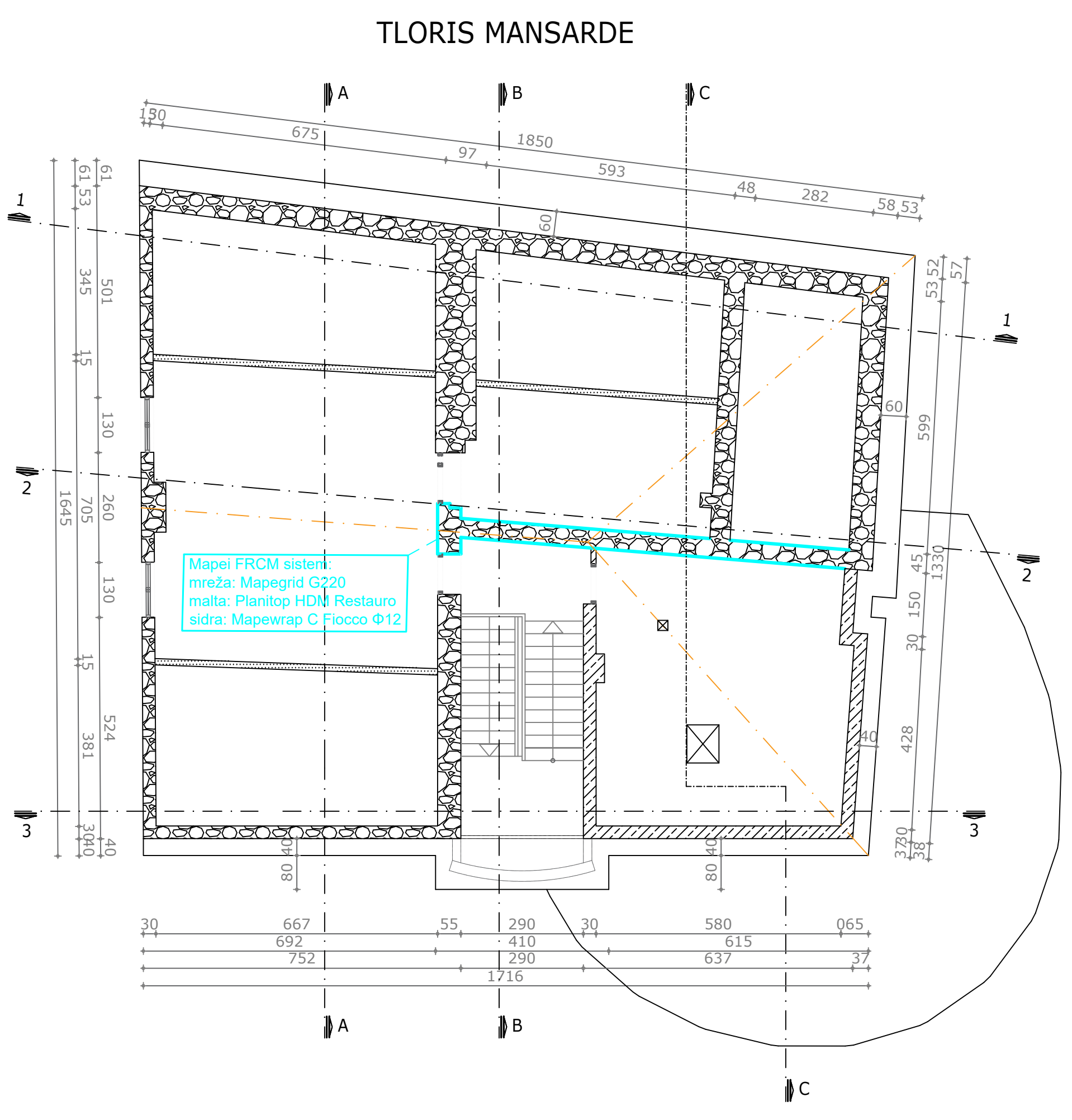
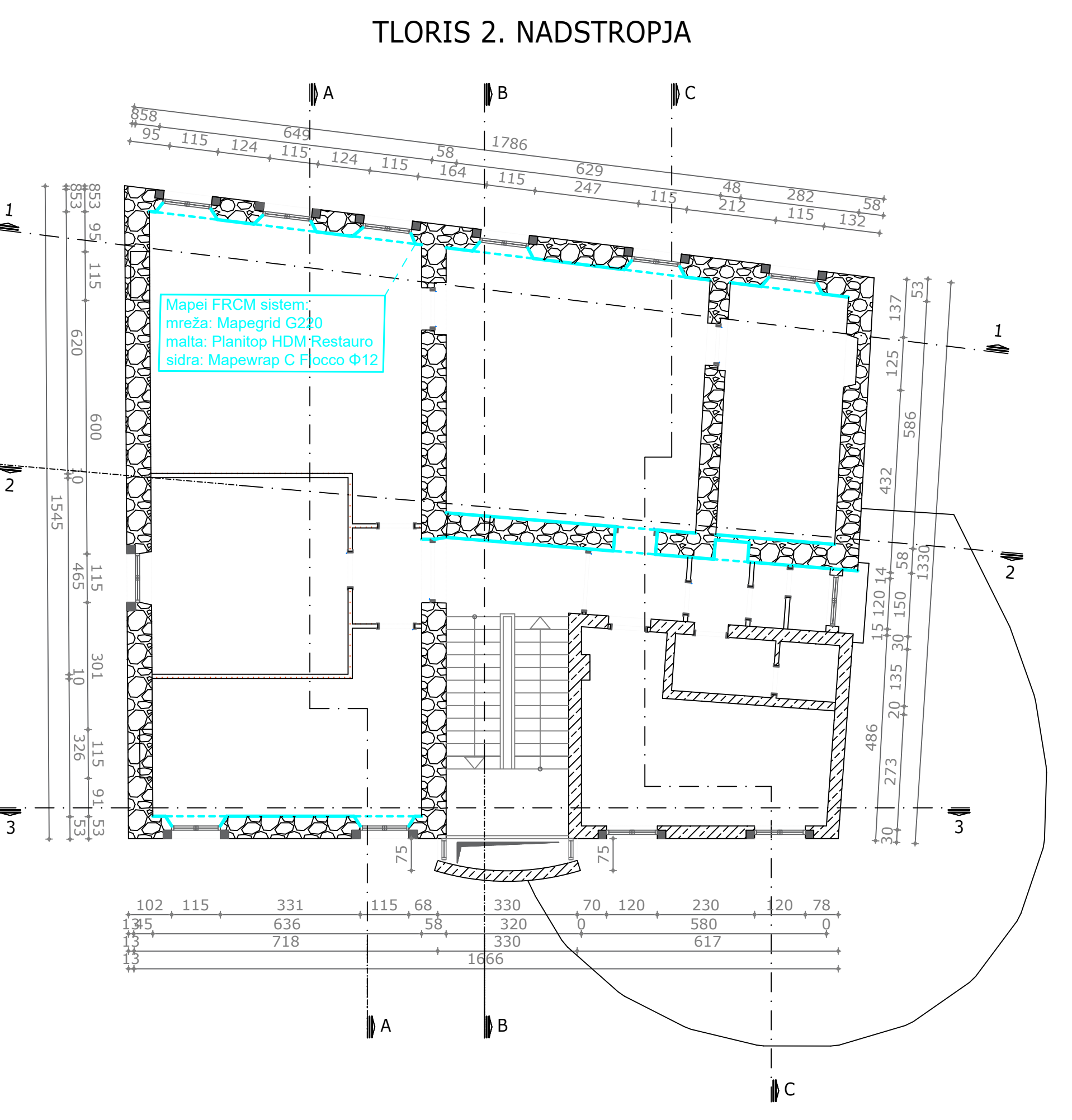
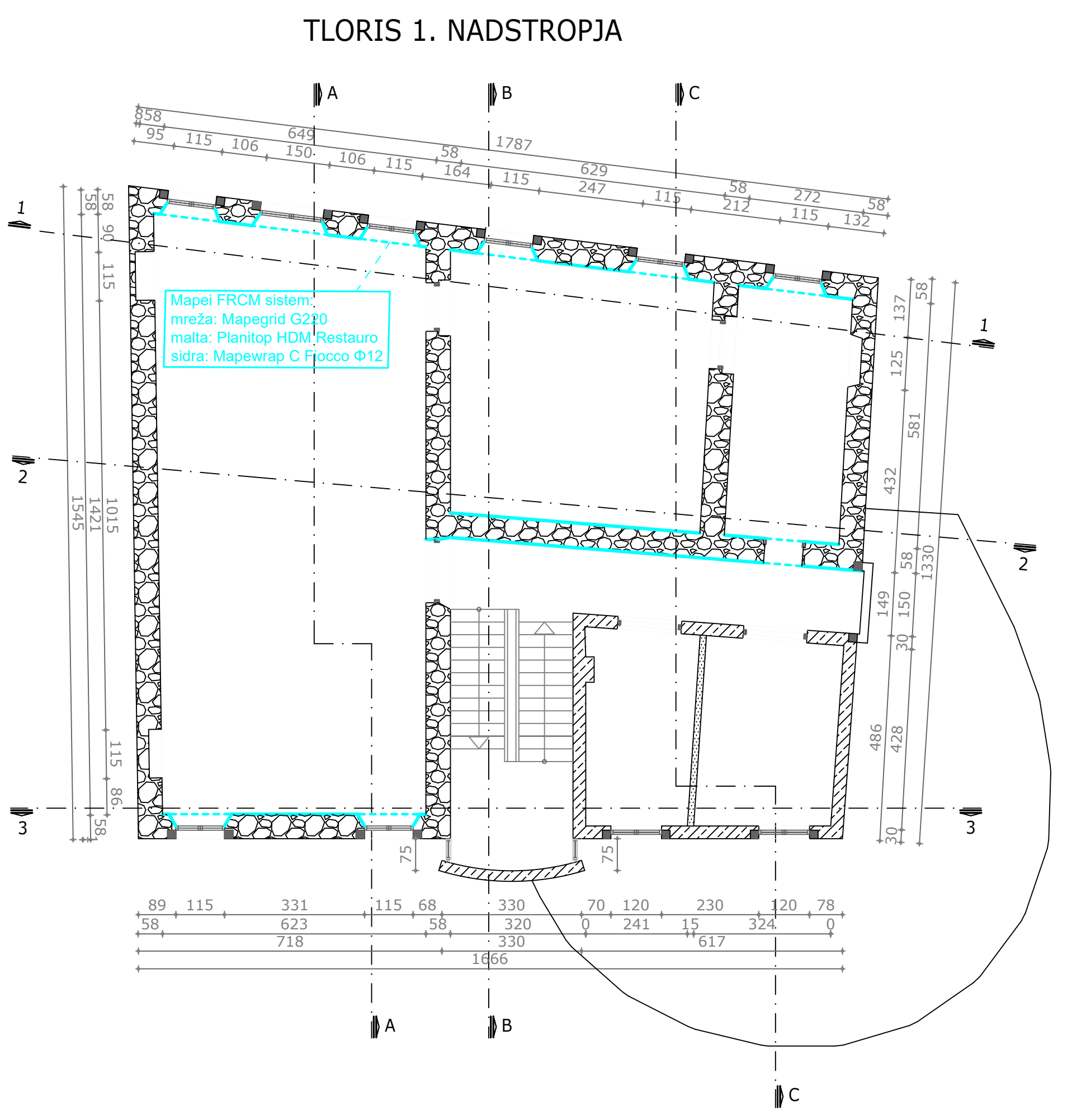
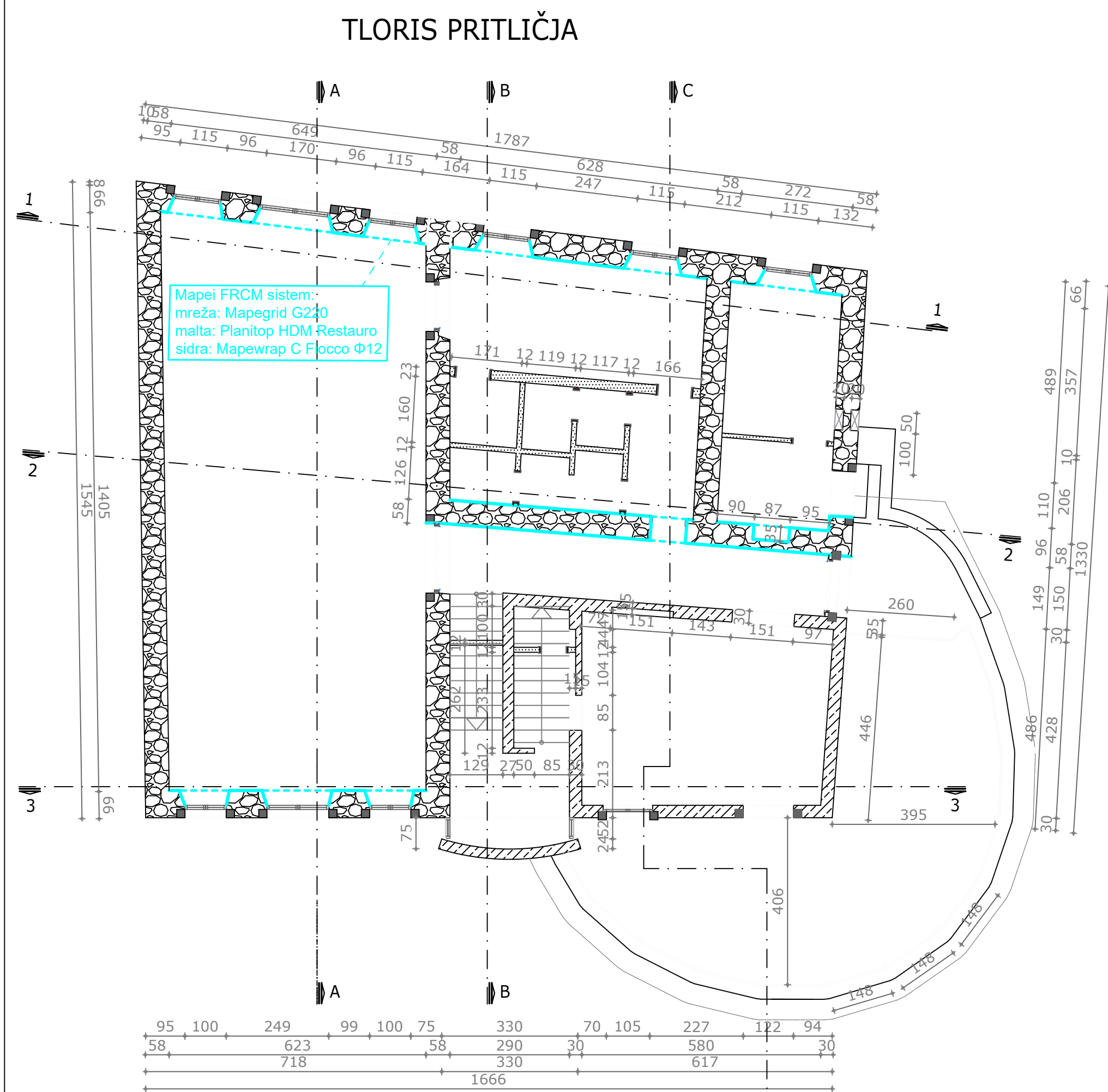


TLORIS MANSARDE





Detajl sidranja - prečni prerez stene - enostransko oblaganje z mrežo



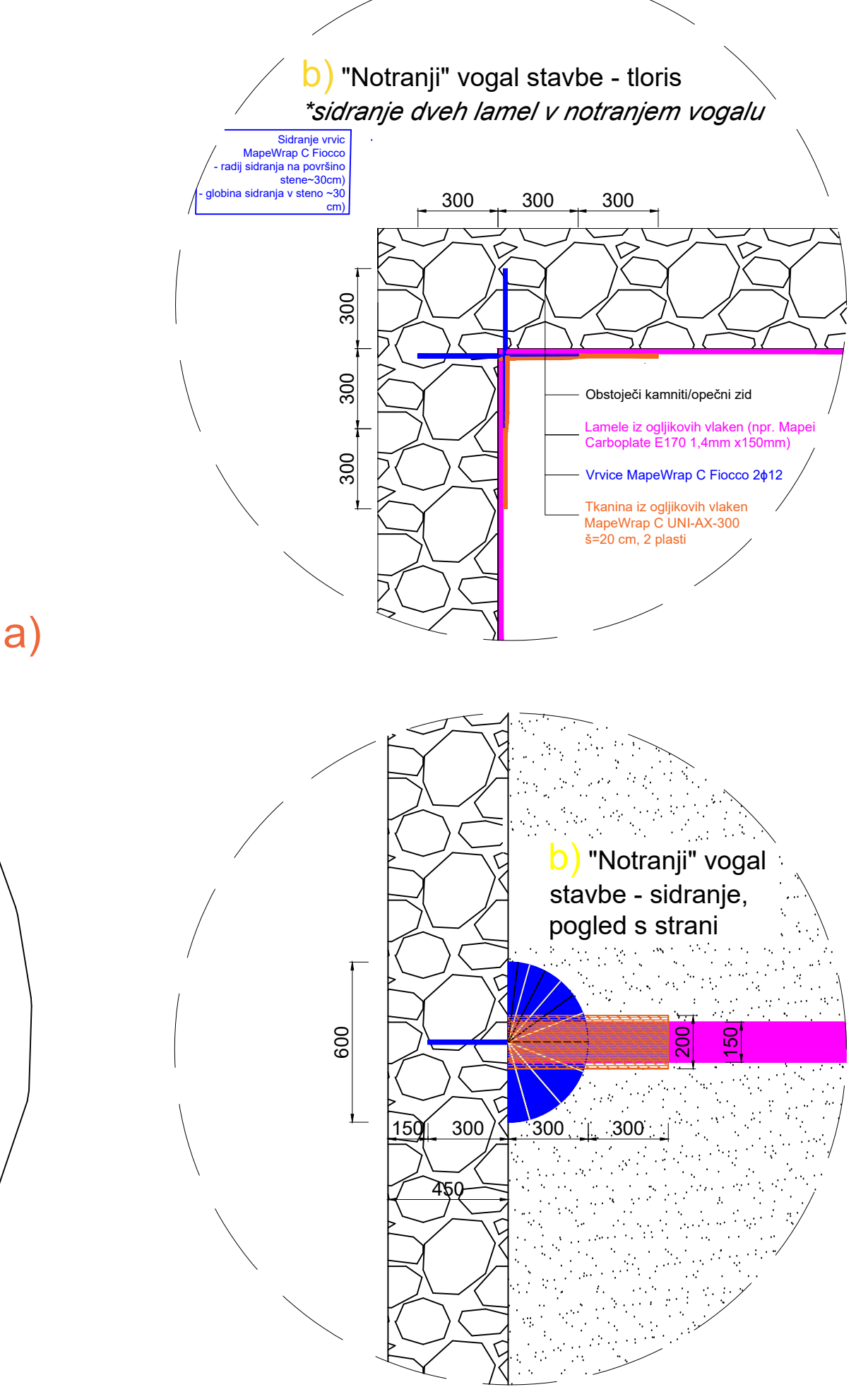
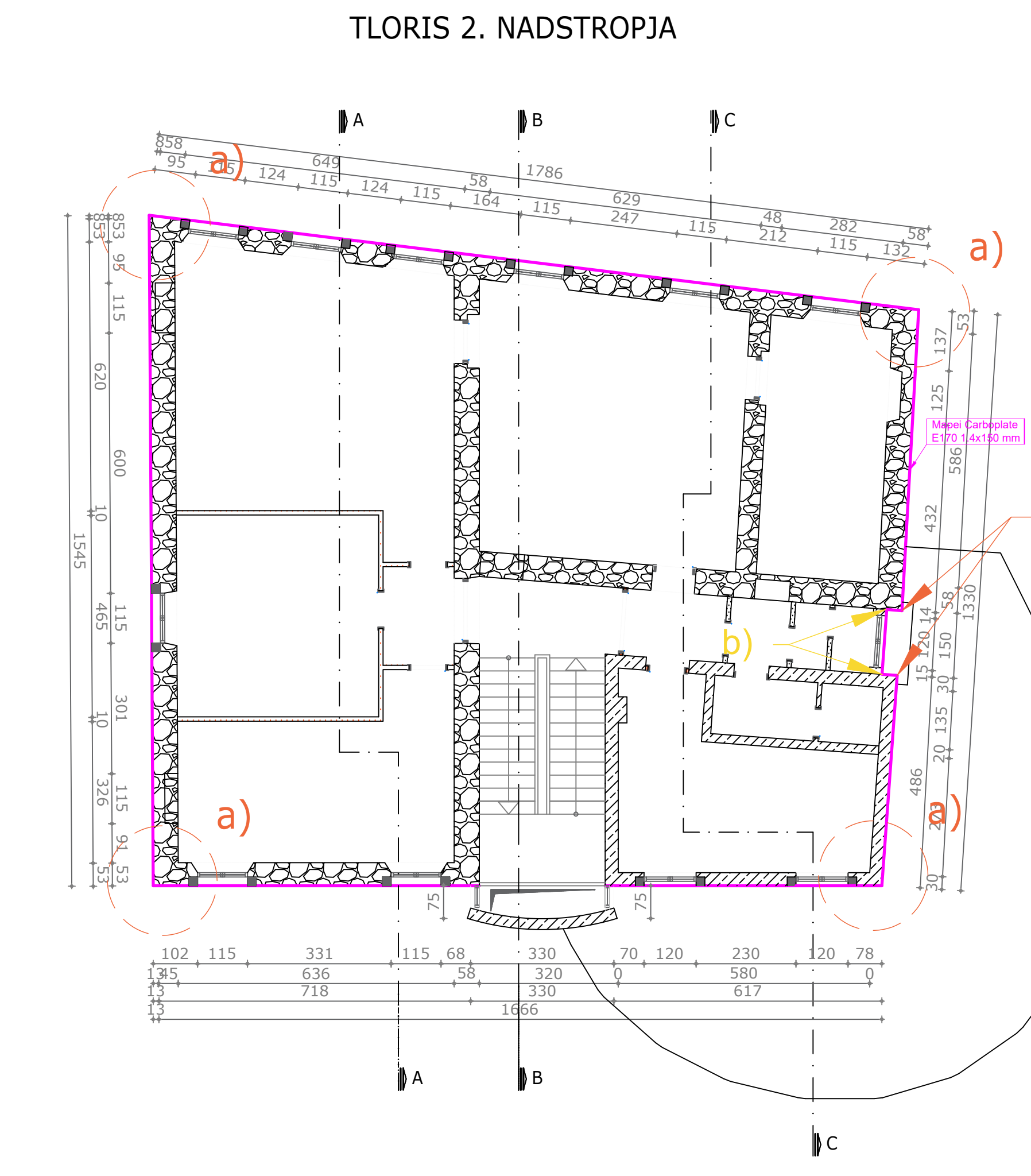
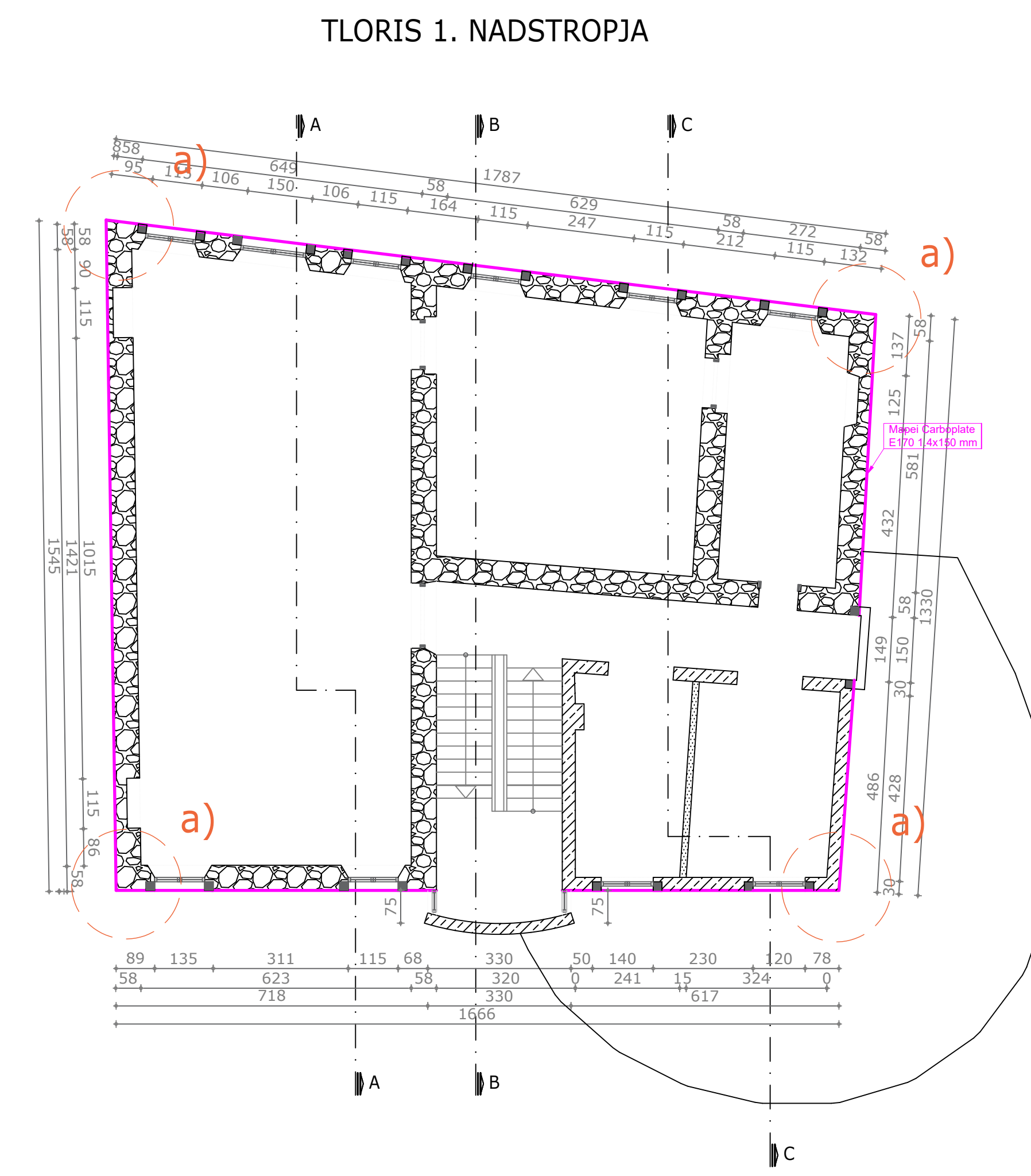
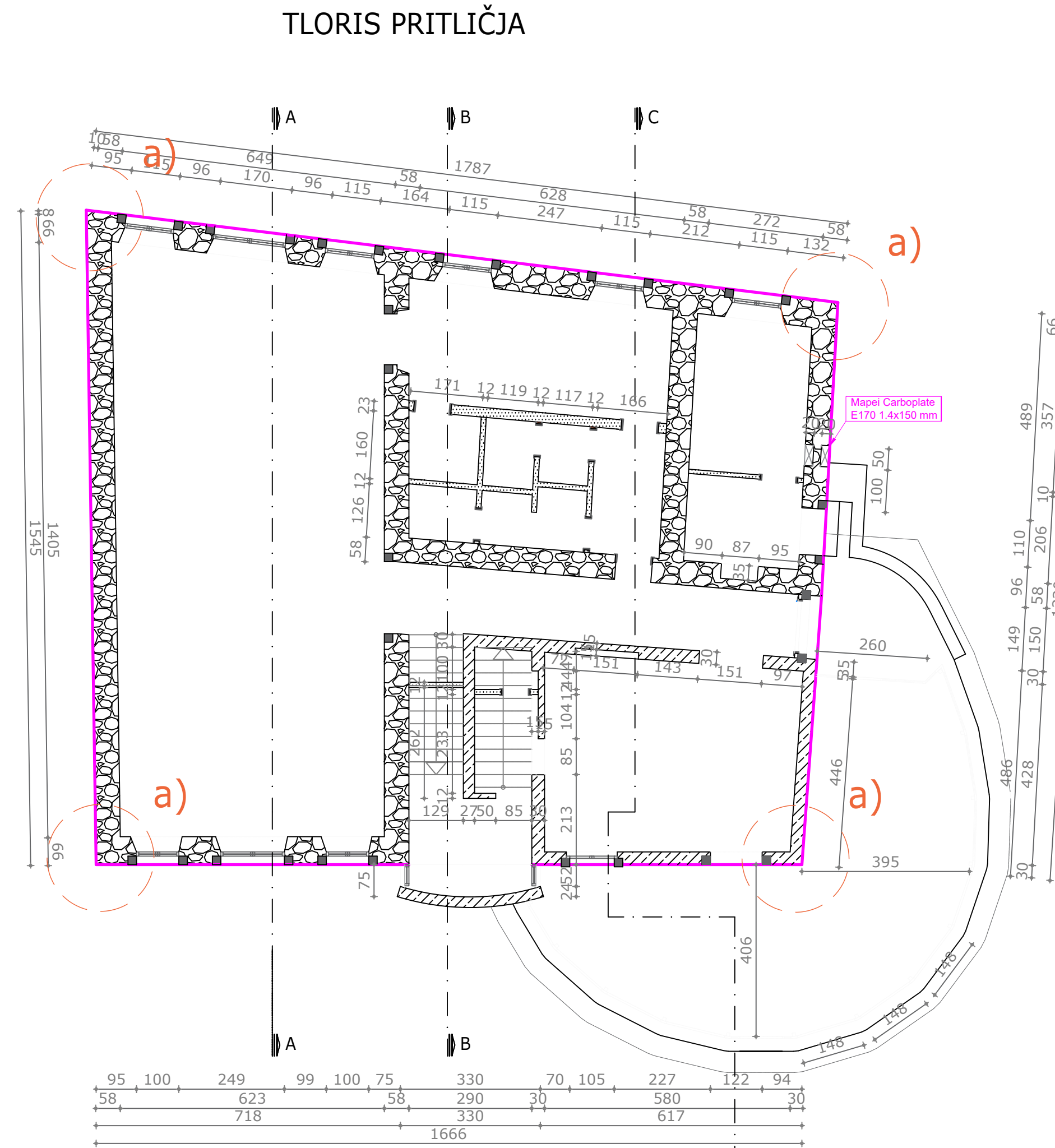
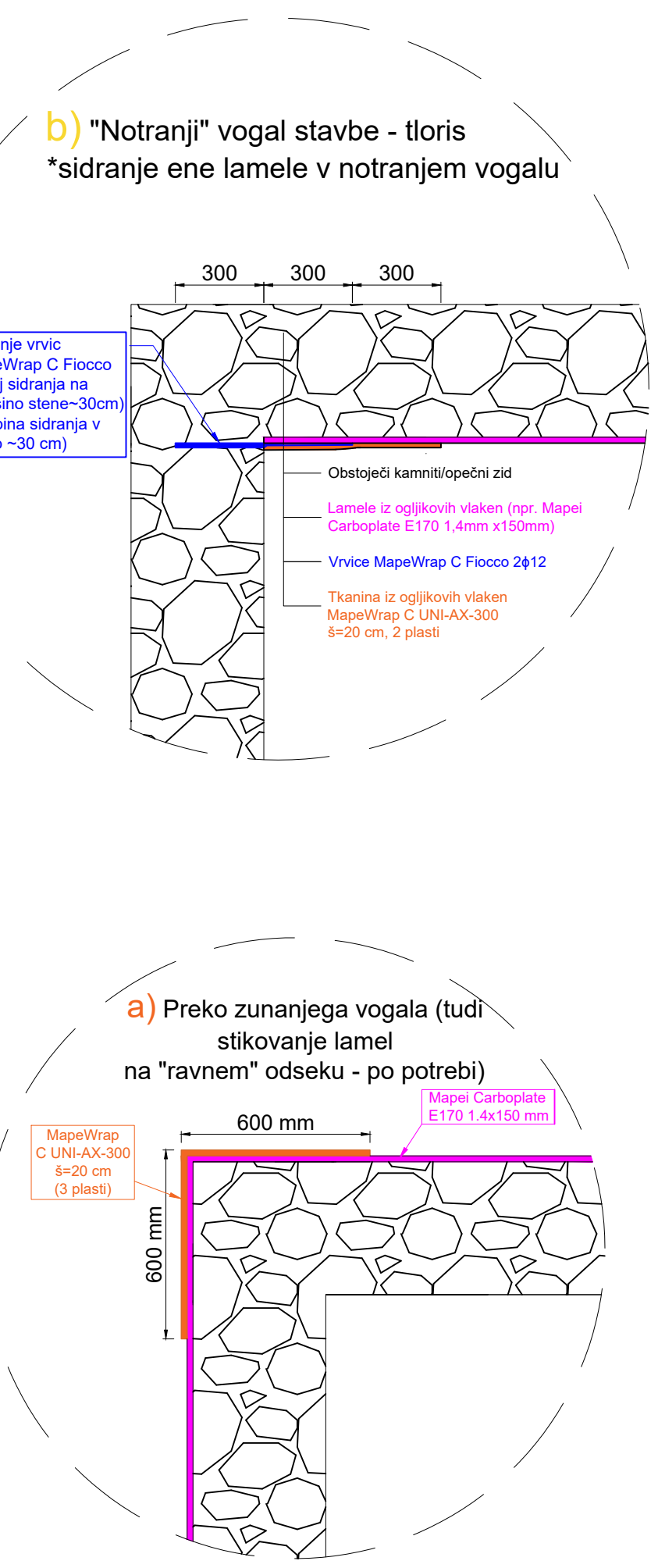
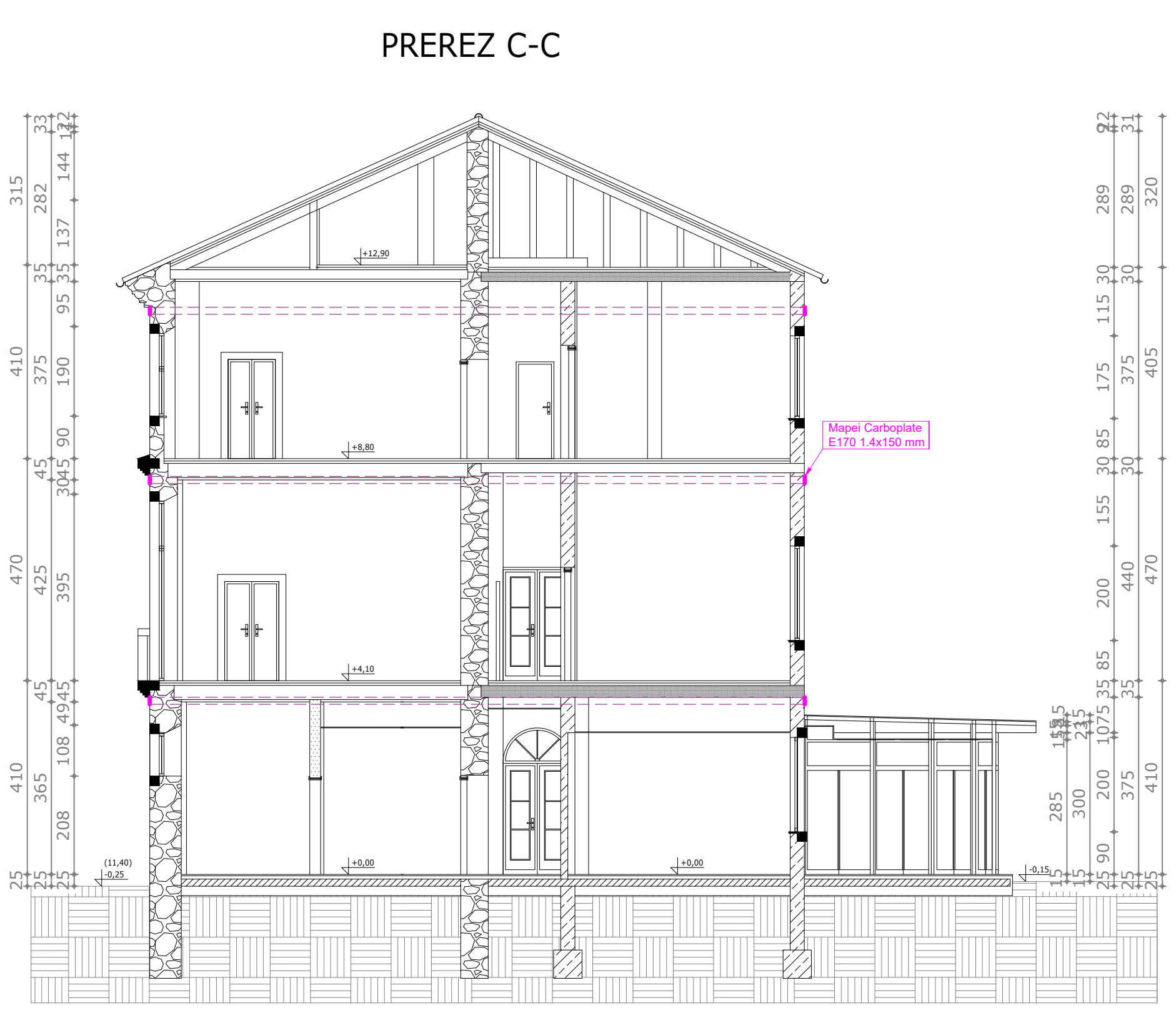
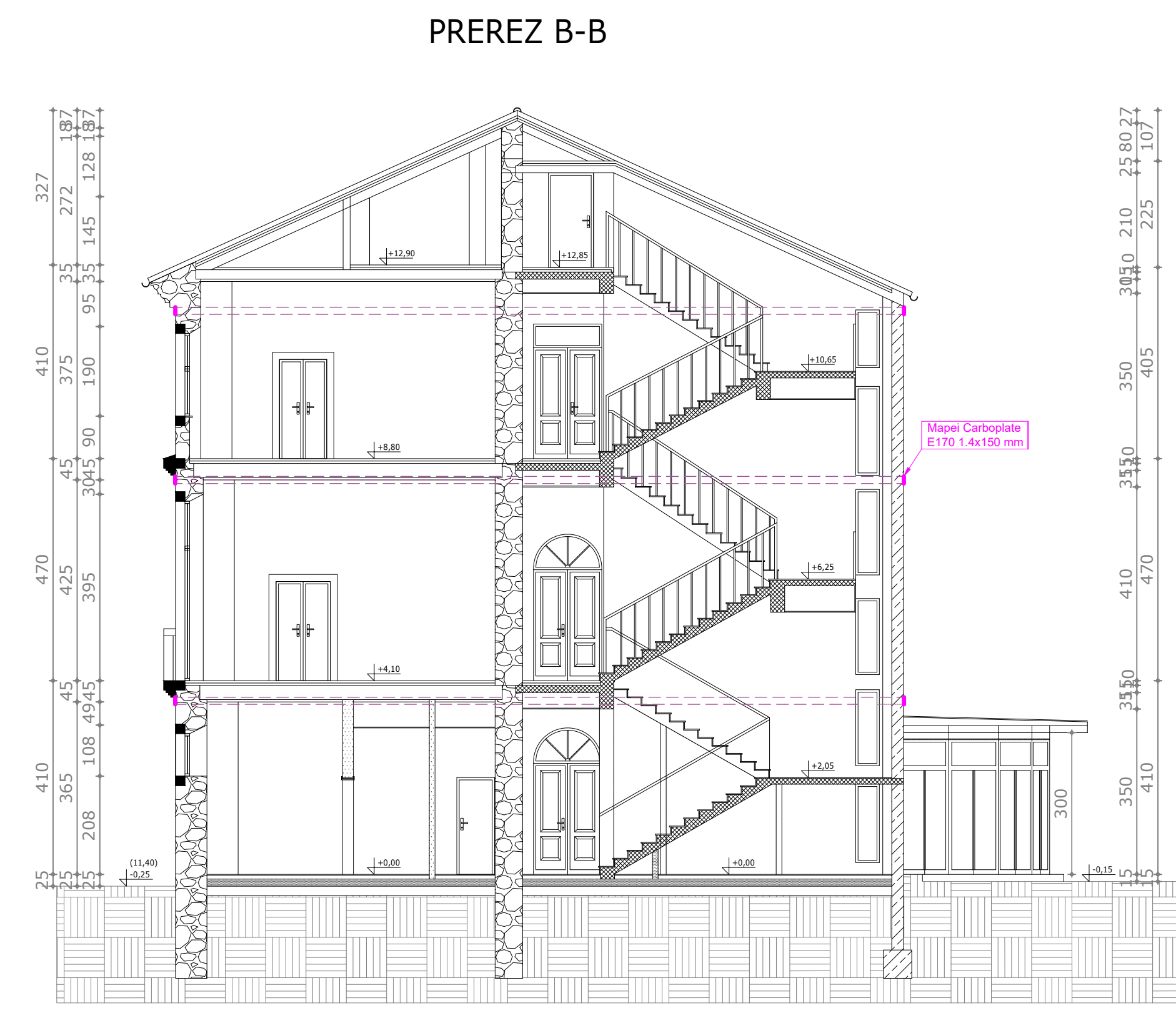
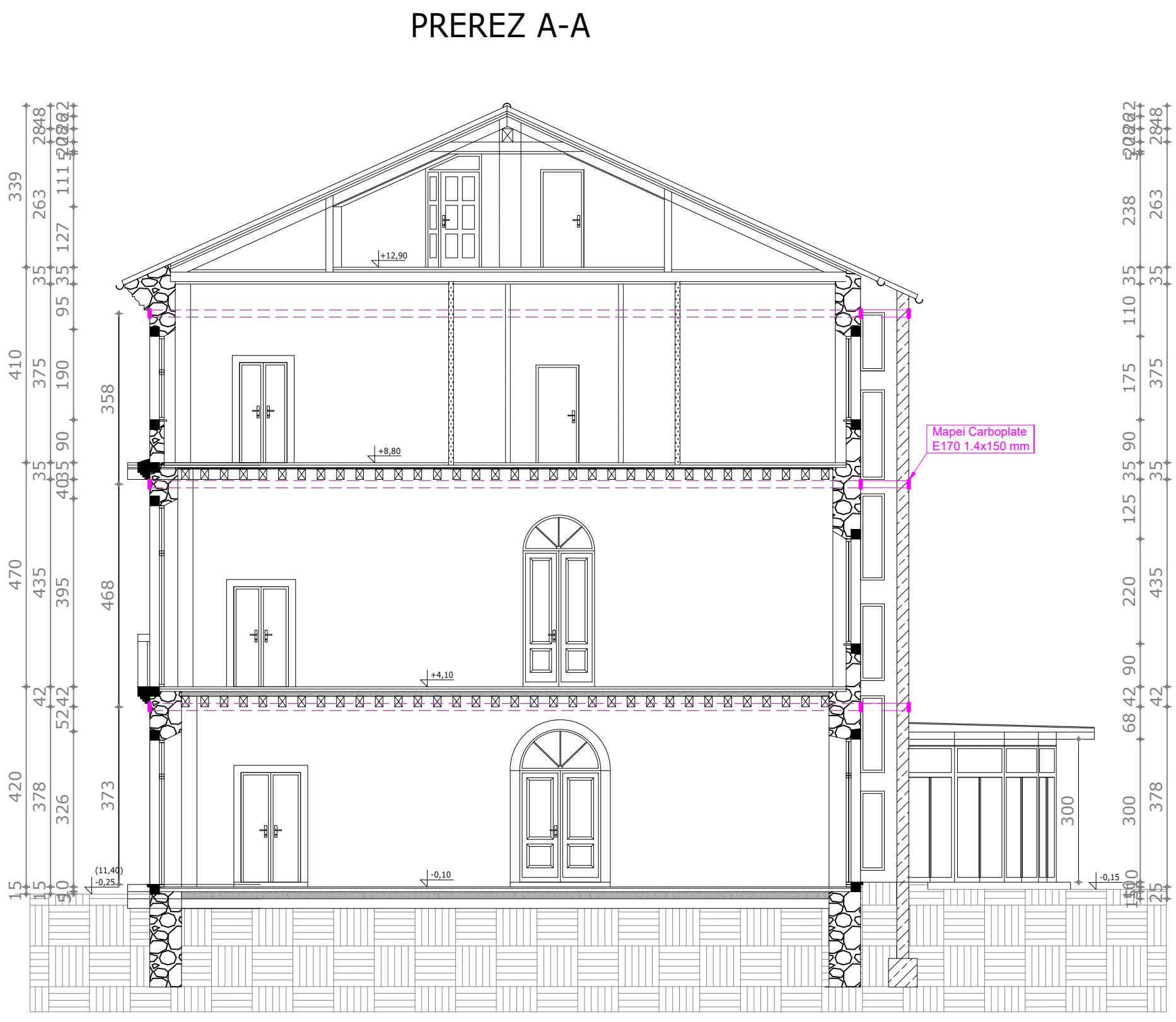
Mapei FRCM sistem,
mreža Mapegrid G220 (preklop 15 cm),
malta Planitop HDM Restauro,
sidra: 2-3 kom/m²,
detajli stikovanj/vogali Mapewrap
C Fiocco Φ12

LEGENDA UPORABLJENIH MATERIALOV

Materijali proizvajalca kot npr. Mapei - VGRADNJA PO NAVODILIH PROIZVAJALCA:
 - mreža Mapegrid G 220 (preklop 15 cm)
 - sidra Mapewrap C Fiocco Ø10 mm - sidrane, kjer je mogoče na oben stranah zidu, minimalen premer radijalno razporejenih/vzpostavljenih vlekar (paljčajev) na površini zidu je 400 mm.
 - malta Planitop HDM Restauro, d= 10-20 mm.

*Ustrezenost premora in razporeda vider preveri izvajalec pred izvedbo.
 *Na kritičnih mestih - večje poskodbe/razpoke, slaba sprijemnost itd. se prav tako vgradi obnavljana sidra.

Spr.	Opis sprememb	Datum	Podpis
Izvajalec	Kladezna ul. 20, Ljubljana tel./fax: 01-283-20-30 / 01-283-20-31 email: info@valide.si		
IZS 0537			
Naročnik	SAMOUPRAVNA SKUPNOST ITALIJANSKE NARODNOSTI KOPER Palaca Gravisi - Butorac, Ulica Osvobodilne fronte 10, 6000 Koper		
Objekt/lokacija			
Vrsta načrtova	načrt s področja gradbeništva		
IDZ			
Vsebina/naslov risbe	Ojačitev sten s sistemom Mapei FRCM		
OVP	Ime: Miran Mrak, u.d.i.a.	Id. št.: ZAPS A-0435	
OP	Opis: Alan Sodnik u.d.i.g.	G-0941	
Sodelavec			
Kontroliral			
št. projekta	2-p-77/24	Datum	Merilo
št. načrta	2-p-77/24	Merilo	št. lista
		november 2024	150,120
			2



Natančna pozicija horizontalnih vezi bo določena na podlagi posnetka stanja fasad, ogleda na lokaciji in v sodelovanju s projektantom arhitekture ter predstavnikom ZVKD.

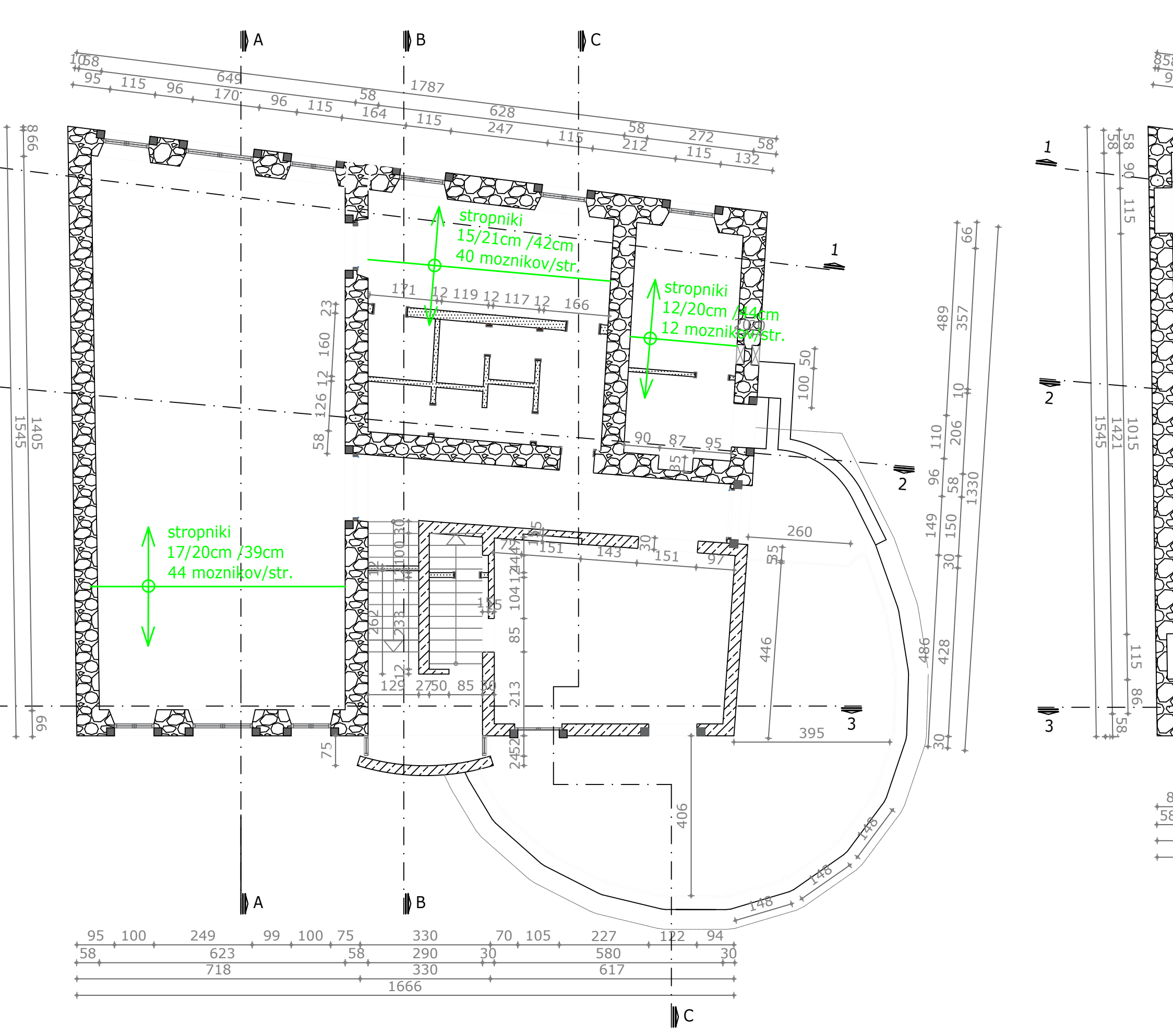
LEGENDA UPORABLJENIH MATERIALOV

- Lamel iz ogljikovih vlaken, npr. Mapel Carboplate E170 1.4x150 mm.
- Tkanina iz ogljikovih vlaken, npr. MapeWrap C UNI-AX-300 za preklop lamel in povezavo preko vogala.
- Vrvice, npr. MapeWrap C Ficco φ12 (+ ikana), za namen sidranja v "notranjem vogalu" in na ravni (2 kosa/dolžina fasade cca. 10 m)

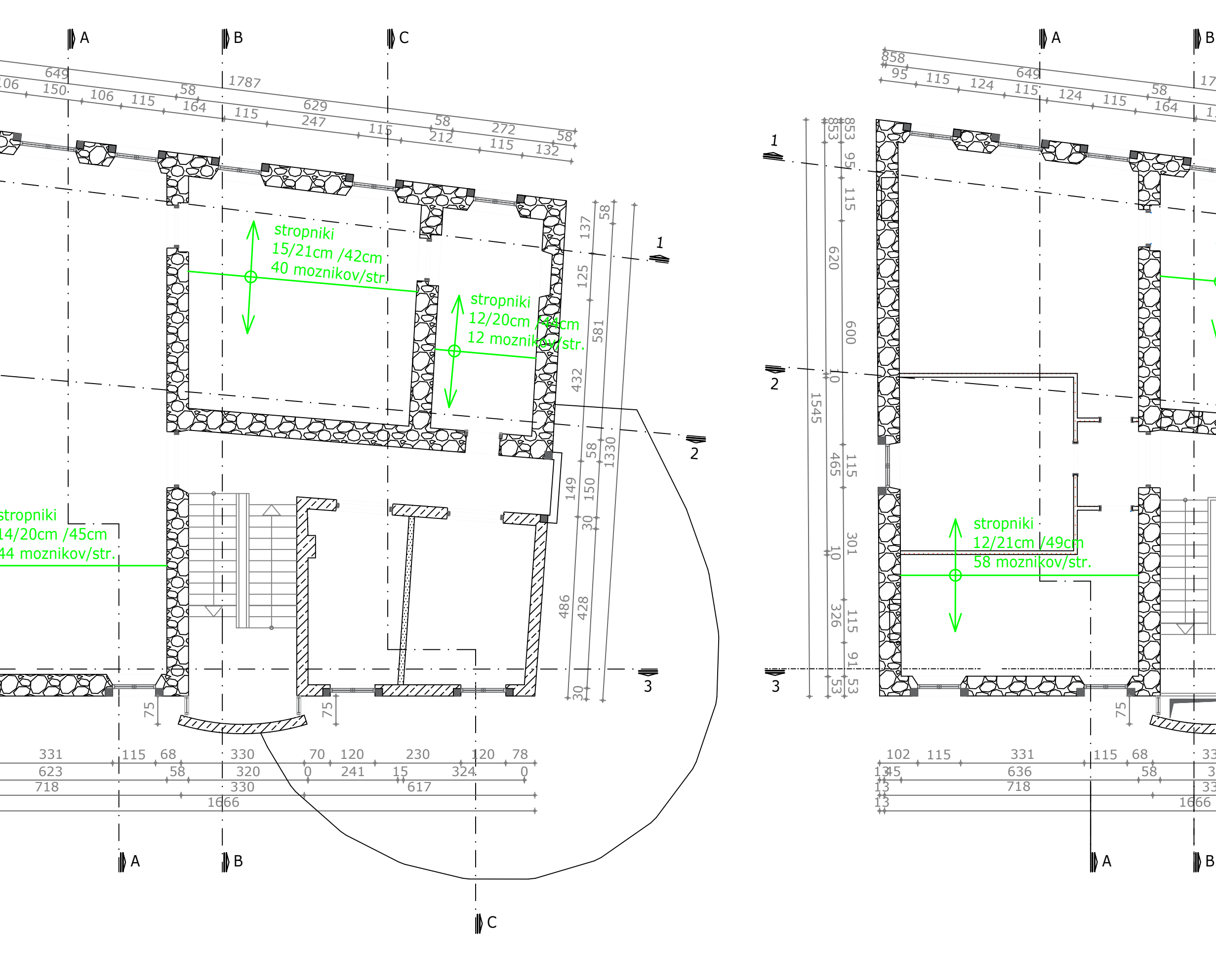
Izvajalec	Kladezna ul. 20, Ljubljana tel./fax: 01-283-20-30 / 01-283-20-31 email: info@valide.si
Izs 0537	SAMOUPRAVNA SKUPNOST ITALIJANSKE NARODNOSTI KOPER Palaca Gravisi - Buttarai, Ulica Osvobodilne fronte 10, 6000 Koper
Naročnik	Vrsta načrta Vrsta dokumentacije
Objekt/lokacija	načrt s področja gradbeništva
Vrsta načrta	IDZ
Vrsta dokumentacije	Vsebina/naslov risbe
	Shematski prikaz horizontalnih vezi na nivoju etaž
OVP	Ime
DP	Id. st.
Sodelavec	Miran Mrak, u.d.i.a.
Kontroliral	ZAPS A - 0435 Alan Sodnik u.d.i.g.
št. projekta	G-0941
št. načrta	<i>Sig</i>
Datum	2-P-77/24
Merilo	november 2024
št. lista	1:50, 1:20
	3

merilo 1:50

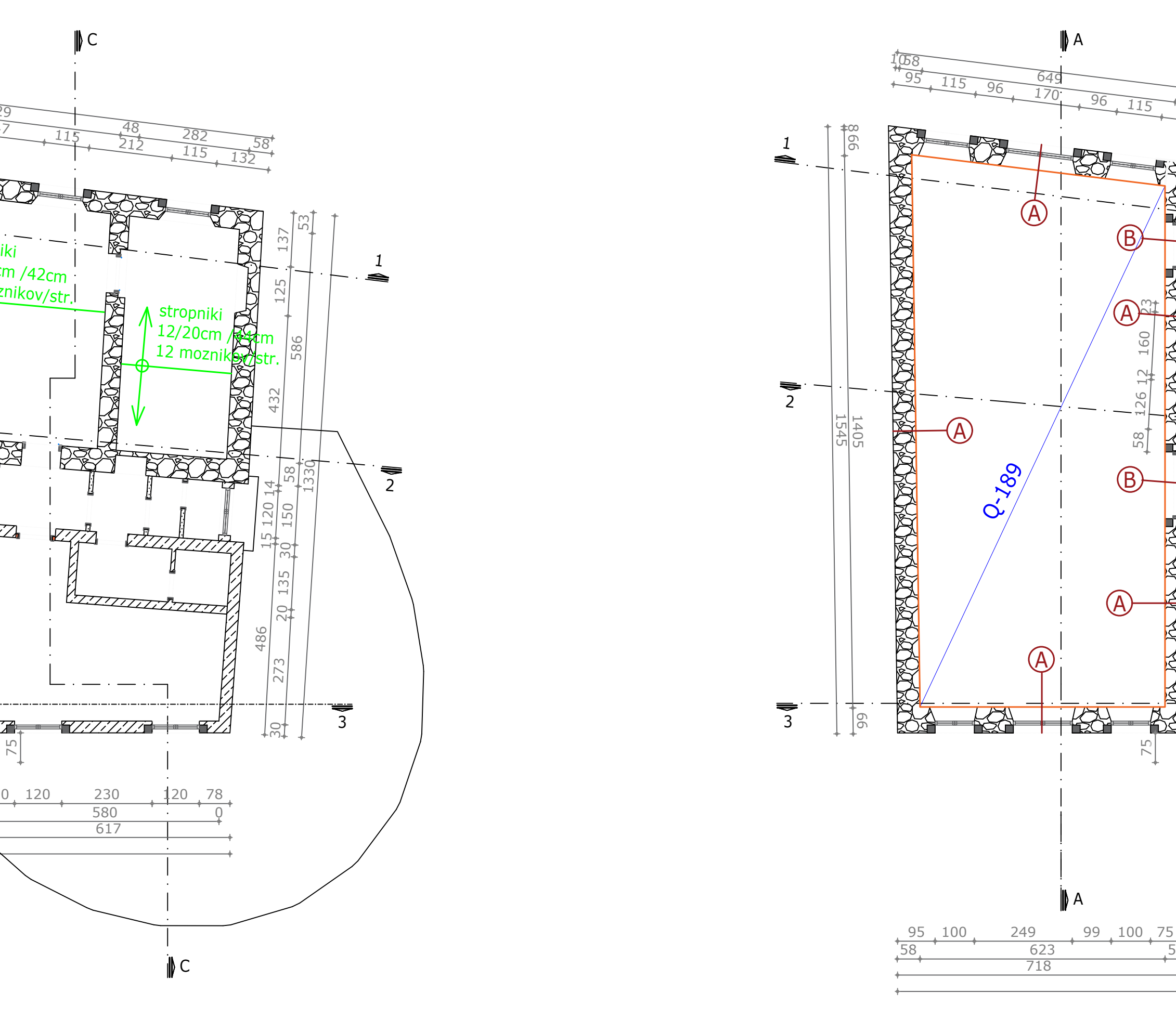
STROP NAD PRITLIČJEM



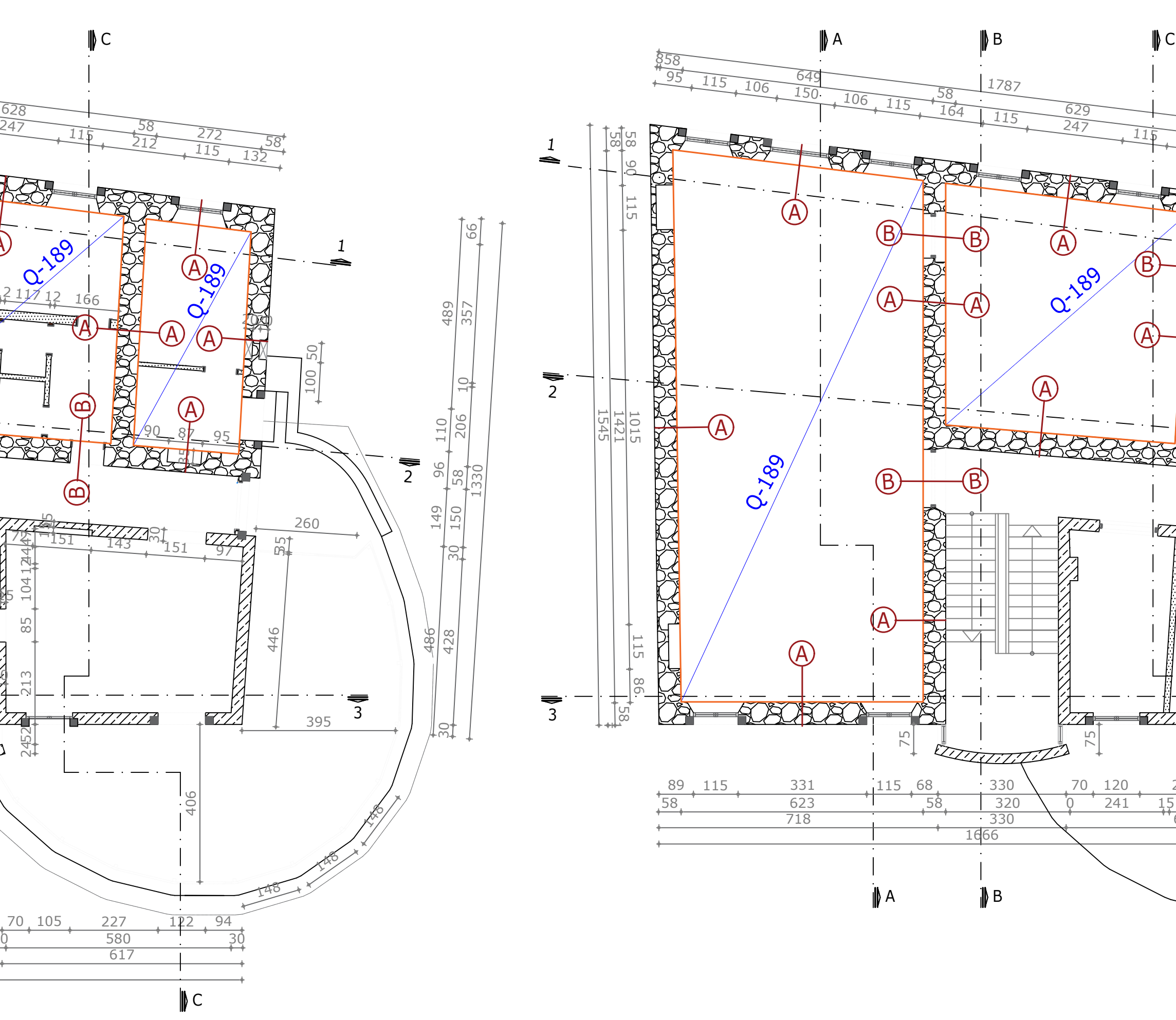
STROP NAD 1. NADSRTOPJEM



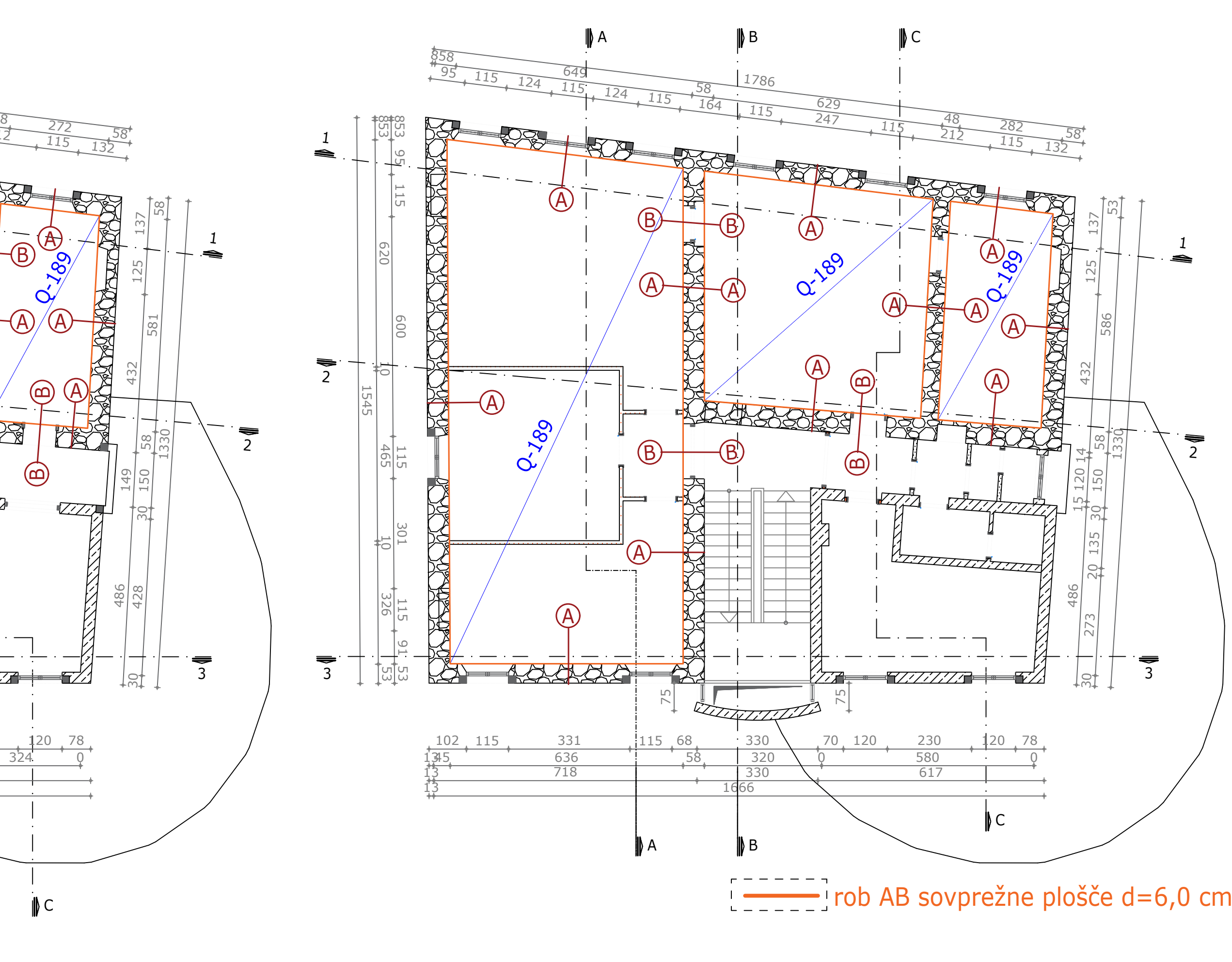
STROP NAD 2. NADSRTOPJEM



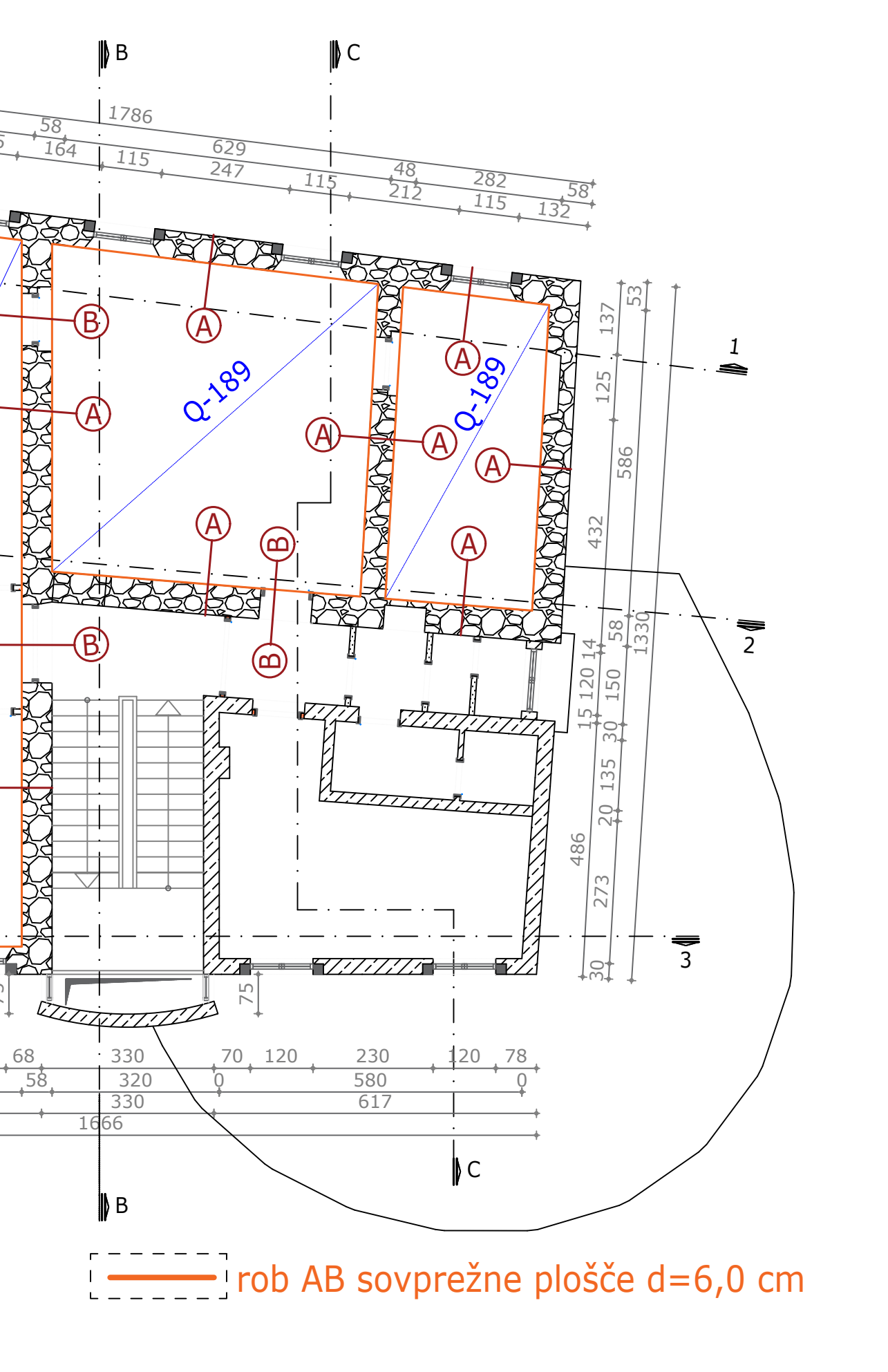
STROP NAD PRITLIČJEM



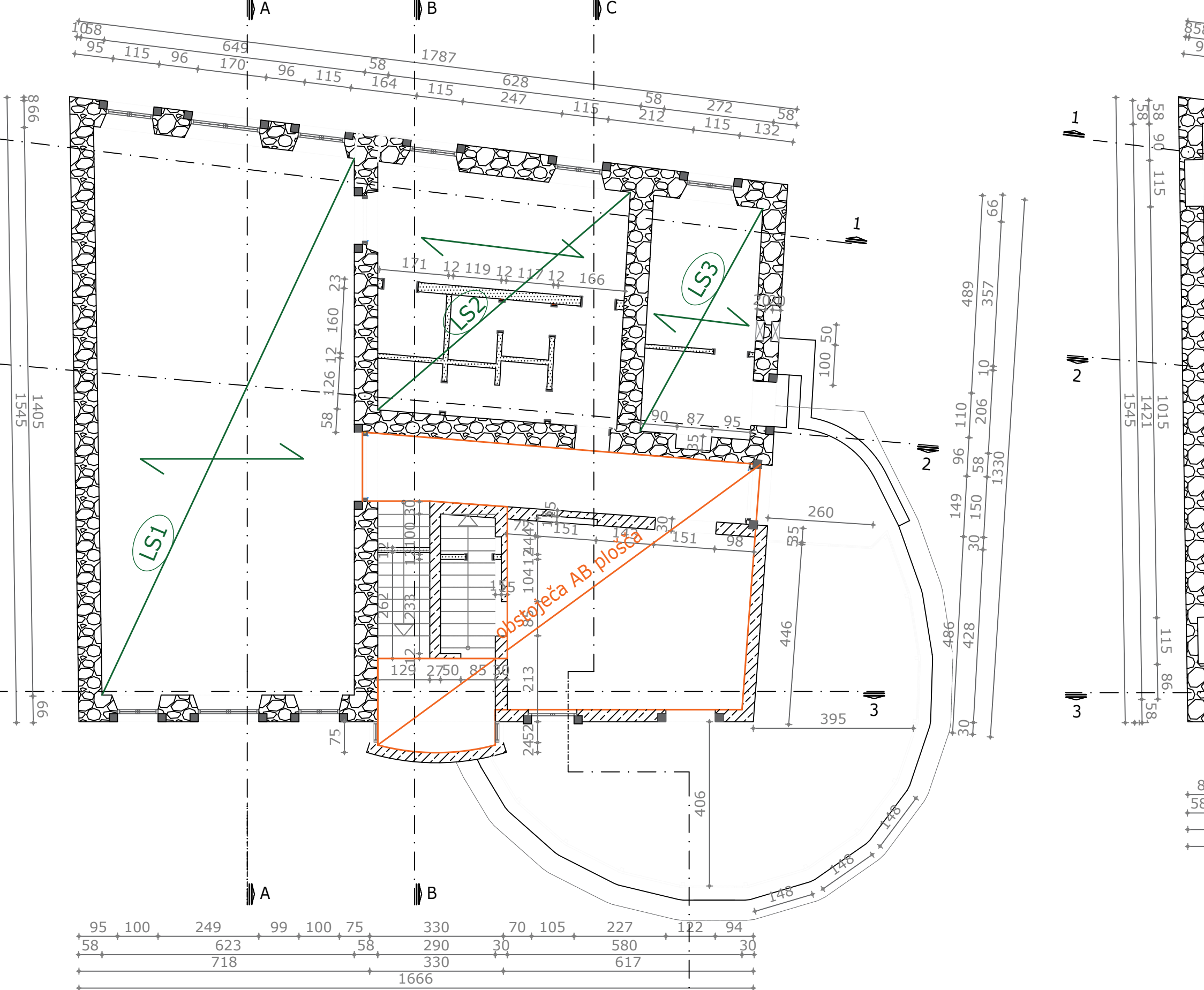
STROP NAD 1. NADSRTOPJEM



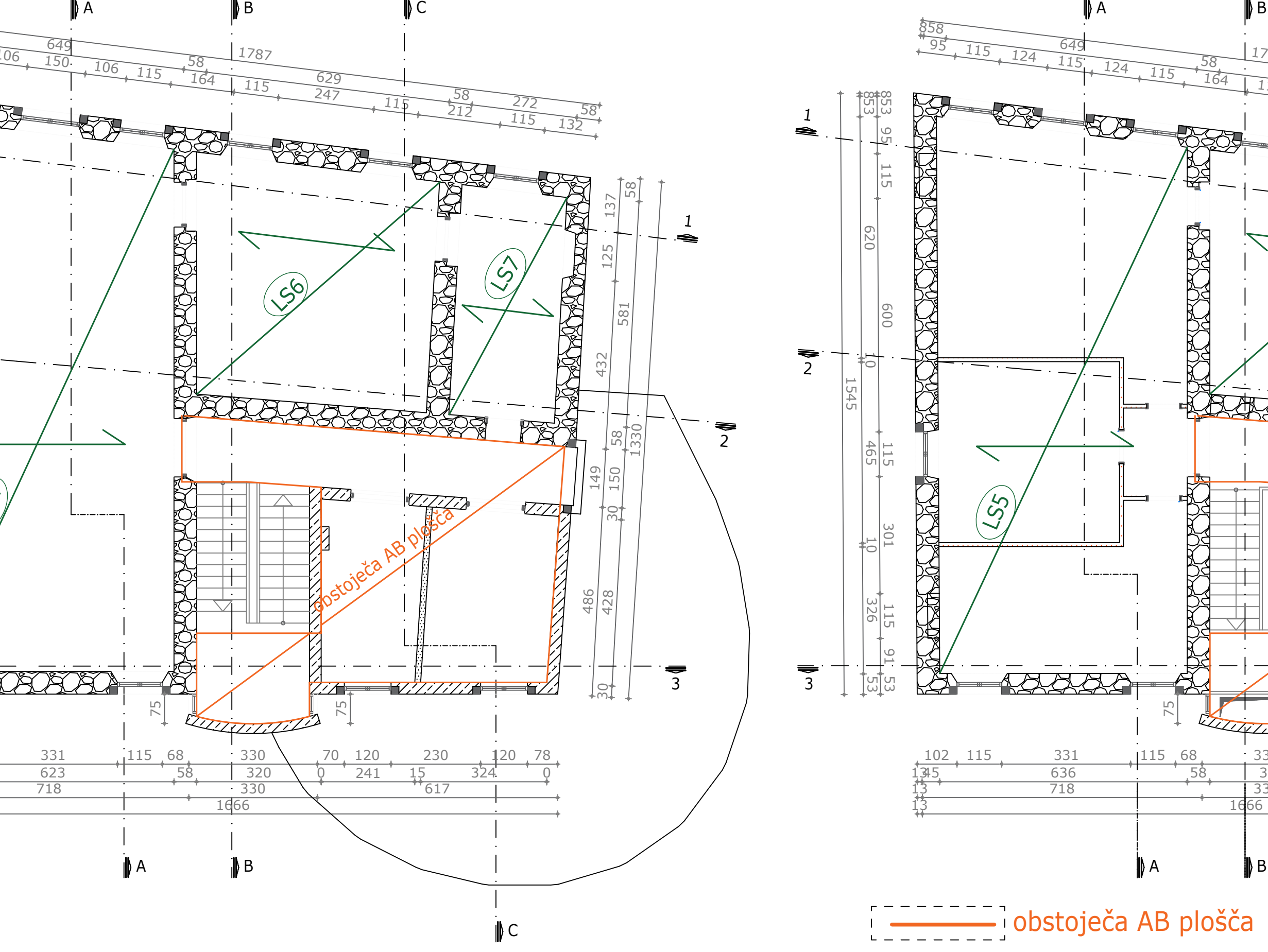
STROP NAD 2. NADSRTOPJEM



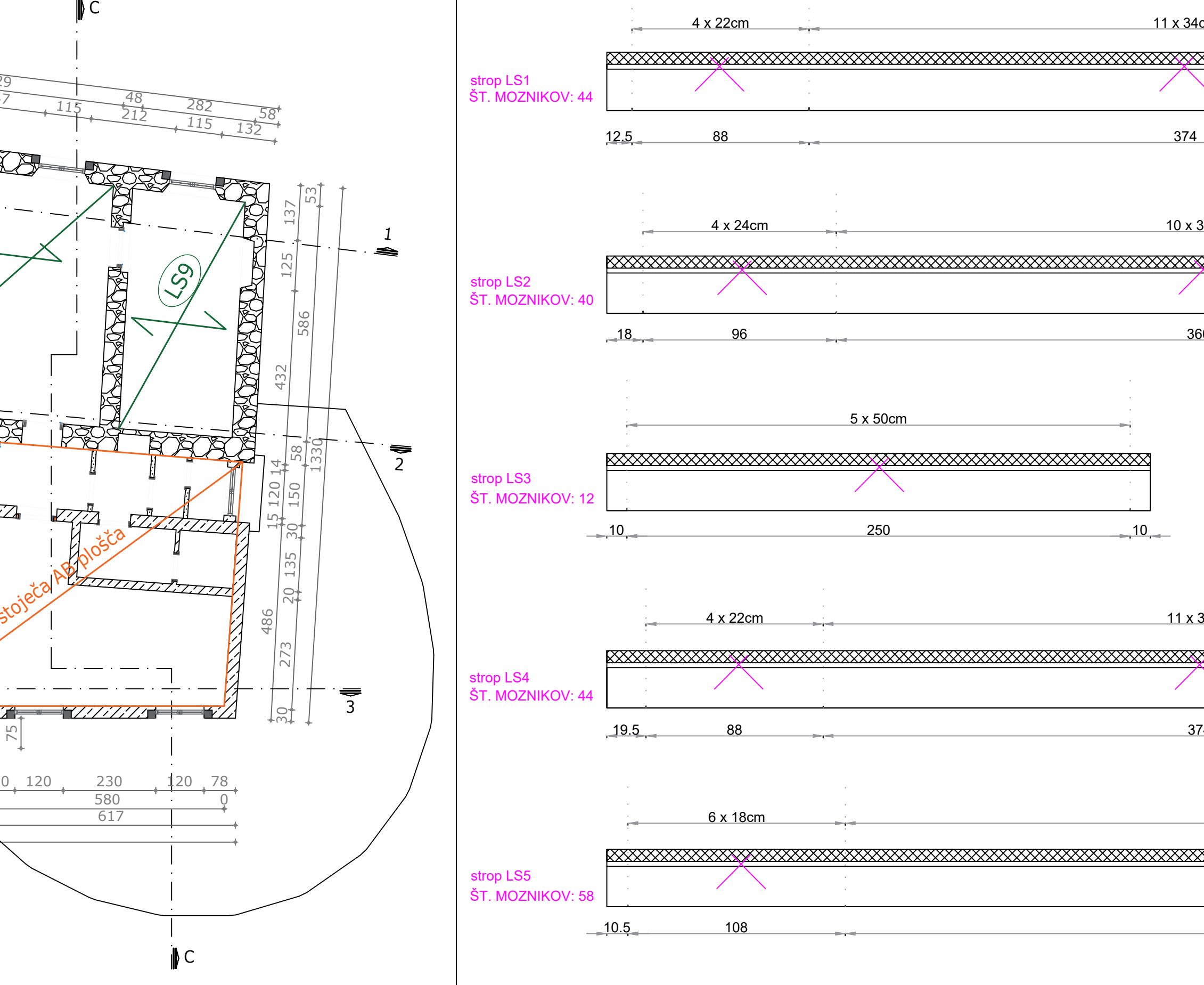
OBOSTOJEČE - STROP NAD PRITLIČJEM



STROP NAD 1. NADSRTOPJEM



STROP NAD 2. NADSRTOPJEM



DETALJI:

